

Минобрнауки России
Федеральное государственное бюджетное
образовательное учреждение высшего профессионального образования
Тульский государственный университет

Институт горного дела и строительства
Кафедра охраны труда и окружающей среды

Утверждено на заседании кафедры
«Охрана труда и окружающей среды»
«24» января 2022 г., протокол №6

Заведующий кафедрой

B.M. Панарин

**МЕТОДИЧЕСКИЕ УКАЗАНИЯ
К ПРАКТИЧЕСКИМ ЗАНЯТИЯМ
ПО ДИСЦИПЛИНЕ (МОДУЛЮ)
«Проектирование систем обеспечения безопасности»**

**основной профессиональной образовательной программы
высшего образования – программы магистратуры**

по направлению подготовки
20.04.01 Техносферная безопасность

с направленностью (профилем)
Производственная безопасность

Формы обучения: очная, заочная

Идентификационный номер образовательной программы: 200401-01-22

Тула 2022 год

Разработчик методических указаний

Маслова А.А., проф., докт.техн.наук, доцент
(ФИО, должность, ученая степень, ученое звание)

Маслова
(подпись)

Развитие промышленности требует создания высокоэффективных, надежных и безопасных в эксплуатации технологических процессов, машин, механизмов и аппаратов.

Воздействие на человека в процессе труда химически и физически опасных и вредных производственных факторов, обуславливает необходимость детальной проработки вопросов, выбора средств защиты обслуживающего персонала. Существующие специфические требования безопасности труда рассредоточены по большому количеству документов различного уровня. Это затрудняет принятие решения при проектировании аппаратов, что, в конечном итоге, отрицательно влияет на уровень безопасности разрабатываемого оборудования.

Общие методические указания по выполнению практических работ

Практические работы рассчитаны на 2-4 часовые занятия в аудитории подготовленных магистрантов. Каждый магистрант выполняет индивидуальное задание по условиям, приведенным в работе. Номер задания, выполняемого магистрантом соответствует номеру, под которым он записан в журнале. При необходимости преподаватель может изменить объем и содержание работ или предложить выполнить работы по отдельным частям задания либо их части.

По каждой выполненной расчетной работе оформляется отчет по ниже приведенной форме.

Отчет

по практической работе

1. Цель и задачи работы
2. Краткое описание сущности методики и принципов расчетов.
3. Расчеты.
4. Графики.
5. Выводы по работе

Работу выполнил

магистрант группы

Ф. И. О.

Проверил

Ф. И. О

При оформлении расчетной работы необходимо указать определяемую величину, привести общую расчетную формулу с последующей расшифровкой всех составляющих формулы и указанием их количественных значений, размерности, подставить значения составляющих и произвести расчет. Недостающие данные принимаются по таблицам, приведенным в методических указаниях или самостоятельно. Выводы по работе должны содержать основные расчетные значения определяемых величин.

Полностью подготовленный отчет предоставляется преподавателю на проверку и защиту выполненной работы. Защита работ производится в установленные преподавателем сроки.

Практическая работа №1

РАСЧЕТ ПРЕДОХРАНИТЕЛЬНЫХ УСТРОЙСТВ

Цель работы: освоить методики расчета предохранительных устройств.

Основные положения

Технологическое оборудование, в котором возможно аварийное повышение давления, представляет серьезную опасность при эксплуатации из-за разрушения под действием давления газов. Поэтому во всех случаях, когда в аппарате может быть превыshено предельно допустимое давление, определяемое его прочностью, аппарат должен быть надежно защищен от разрушения с помощью различных предохранительных устройств (ПУ), работающих по принципу сброса из аппарата излишнего количества среды. Источниками аварийного роста давления в аппаратах могут являться внезапные, не предусмотренные рабочим процессом случаи:

- а) приток в аппарат газа, пара или жидкости при закрытом выходе из него;
- б) обогрев или нарушение охлаждения аппарата, в результате чего происходит нагрев газа или пара, испарение жидкости в нем или интенсификация химической реакции;
- в) взрыв среды в аппарате.

Причинами аварийного повышения давления могут являться:

- а) ошибки обслуживающего персонала;
- б) отказ запорно-регулирующей арматуры;
- в) нарушение функционирования системы автоматического управления;
- г) внезапное разрушение внутренних устройств аппарата: труб, змеевиков, рубашек и др.;
- д) замерзание охлаждающей воды;
- е) выход из-под контроля химических реакций;
- ж) интенсивный нагрев поверхности аппарата от внешнего источника, например в результате пожара, солнечной радиации и т. п.

Для выбора предохранительного устройства необходимо знать величину аварийного притока среды и характер его изменения в зависимости от источника повышения давления.

Наиболее опасной аварийной ситуацией является та, при которой в аппарат поступает наибольшее количество среды или давление растет с максимальной скоростью. Выбор ПУ следует выполнять именно на такие экстремальные условия.

Под аварийным расходом m_a понимают массовый расход среды через ПУ при давлении, превышающем рабочее давление в аппарате на величину, определяемую Правилами Росгортехнадзора России.

Аварийный расход среды m_a , кг/с, в различных случаях определяют следующим образом. При постоянной подаче рабочей среды в аппарат

поршневыми компрессором и насосом в случае перекрытия выхода среды из аппарата аварийный расход равен массовой подаче компрессора (m_k) или насоса (m_h)

$$m_a = m_k; m_a = m_h \quad (1)$$

При внезапном разрушении элементов внутренних устройств с выходом среды из них в корпус аппарата, имеющего давление ниже, чем в разрушенных элементах, аварийный расход определяют как максимально возможный расход среды через максимально возможную площадь сечения разрушенного элемента (элементов). Он зависит от площади сечения разрушения F_a , давления P_{1a} и температуры t_{1a} в разрушенном элементе, рабочего давления в корпусе аппарата P_{2a} физико-химических свойств среды в разрушенном элементе (показателя адиабаты k_a , удельной газовой постоянной R_a , молярной массы (M) и коэффициента расхода через отверстие разрушения α_a). При отказе запорной арматуры и перетекании среды из полости более высокого давления в полость более низкого давления аварийный расход определяют аналогично предыдущему случаю, но при площади сечения и коэффициенте расхода полностью открытой арматуры. Расчетные формулы для определения аварийного расхода в этом случае те же, что и при определении пропускной способности ПУ.

При пожаре вблизи аппарата, заполненного жидкостью и имеющего закрытый выход, аварийный расход определяют по формуле

$$m_a = k F_{ap} \frac{(t_r - t_{jk})}{r}, \quad (2)$$

где F_{ap} – площадь наружной поверхности аппарата, m^2 ; t_r – температура азово воздушной смеси, омывающей при пожаре наружную поверхность аппарата, (принимают $t_r = 600-700 ^\circ C$); t_{jk} – температура кипения жидкости при давлении внутри аппарата; r – теплота испарения жидкости при температуре t_{jk} , Дж/кг; k – общий коэффициент теплопередачи от окружающей газовоздушной смеси через стенку аппарата к содержащейся в нем жидкости, Вт/(м²·К); для неизолированных неохлаждаемых аппаратов принимают $k = 25$ Вт/(м²·К); для изолированных и охлаждаемых аппаратов k определяют в зависимости от степени охлаждения, толщины и коэффициента теплопроводности изоляции.

Для аппаратов, имеющих специальное водное оросительное устройство, в числителе формулы (2) вводят понижающий коэффициент 0,5. Избыточное давление для системы определенного объема зависит от интенсивности тепловыделения и теплового обогрева, а аварийный расход, т. е. количество рабочей среды, подлежащей сбросу в аварийном режиме, может быть различным в каждом конкретном случае. Например, в аппаратах, где химические реакции протекают с выделением тепла и недостаточном его

отводе вследствие нарушения системы охлаждения, а также при непредусмотренном технологическим процессом обогреве.

Для определения величины аварийного притока среды в случае выхода из-под контроля химических реакций или прорыва легкокипящих жидкостей необходимо знать динамику развития процессов. Во многих случаях наиболее опасной аварийной ситуацией является взрыв технологической среды внутри аппарата.

Основной характеристикой динамики развития взрыва является скорость роста давления dp/dt , которая зависит от физико-химических свойств взрывоопасной среды, степени ее турбулизации в аппарате, от объема и формы аппарата и других факторов. Аварийный расход в этом случае связан с соответствующей ему скоростью нарастания давления уравнением состояния

$$m_a = \frac{MV}{R_y T_m} \frac{dp}{d\tau}, \quad (3)$$

где M – молярная масса технологической среды в аппарате, кг/кмоль; V – емкость аппарата, м³; R_y – универсальная газовая постоянная ($R_y = 8314$ Дж/(кмоль·К)); T_m – средняя абсолютная температура продуктов взрыва, К; p – абсолютное давление, Па; $dp/d\tau$ – скорость роста давления в аппарате при взрыве, Па/с. Максимальную скорость роста давления в аппарате определяют по следующей формуле

$$\frac{dp}{d\tau} = K_t \left(\frac{dp_0}{d\tau_0} \right) \frac{p_p + 0,1}{0,1} \sqrt{\frac{V_0}{V}}, \quad (4)$$

где K_t – коэффициент турбулизации фронта пламени; $(dp_0/d\tau_0)$ – максимальная скорость роста давления в экспериментальной бомбе емкостью $V_0 = 0,01$ м³ при взрыве смеси технологической среды с воздухом, имеющей оптимальную концентрацию и содержащейся без начального избыточного давления при температуре 300 К; P_p – рабочее давление технологической среды в аппарате до возникновения взрыва, МПа.

Расчет предохранительных устройств

В соответствии с требованиями Росгортехнадзора РФ для аппаратов, работающих под давлением пара или газа, число предохранительных устройств (ПУ), их размеры и пропускную способность выбирают таким образом, чтобы избыточное давление в аппарате p_1 при действии ПУ не превышало следующих допустимых значений:

p_p , МПа	$\leq 0,3$	от $> 0,3$ до $\leq 0,6$	$> 0,6$
p_1 , МПа	$p_p + 0,05$	$1,15 p_p$	$1,1 p_p$

В обоснованных случаях, например при резких колебаниях давления рабочей среды в защищаемой системе, допускается во время действия ПУ

повышение давления в аппарате до 25 % от рабочего при условии, что это превышение давления предусмотрено проектом и отражено в паспорте аппарата.

Для аппаратов, работающих под давлением жидкости, превышение давления над избыточным рабочим при работе ПУ допускается не более чем на 0,1 МПа для рабочих давлений до 0,4 МПа включительно и на 25 % от p_p для более высоких рабочих давлений. Кроме того, следует учитывать, что при допущении повышения давления в аппарате во время действия ПУ более чем на 10 % от p_p этот аппарат необходимо рассчитывать на прочность по давлению, равному 90 % от давления при полном открытии ПУ, но не менее, чем рабочее давление.

Рабочее давление (p_p) – наибольшее избыточное давление в аппарате при нормальном протекании технологического процесса без учета допустимого кратковременного повышения давления во время действия ПУ.

Расчетное давление (p_R) – наименьшее избыточное давление, принятое при расчете на прочность элементов аппарата, работающего под давлением, равное рабочему давлению или превышающее его.

Максимально допустимое давление в аппарате (pI) – максимальное избыточное давление в защищаемом ПУ аппарате, допускаемое официальными нормами при сбросе среды через ПУ.

Давление настройки (p_n) предохранительного клапана (ПК) – наибольшее избыточное давление на входе в ПК, при котором обеспечивается заданная герметичность в затворе. Давление p_n равно рабочему или превышает его, но не более чем на 25 % .

Давление потери герметичности ПК ($p_{n.e}$) – избыточное давление на входе в ПК, при котором начинается протечка, превышающая допустимую; значение $p_{n.e}$ несколько выше p_n .

Давление начала открытия ПК ($p_{n.o}$) – избыточное давление на входе в ПК, при котором сила, направленная на открытие клапана, уравновешена силами,держивающими золотник на седле. При этом давлении заданная герметичность в затворе нарушена и начинается подъем золотника

$$p_{n.o} \geq 1,05 p_p$$

Давление полного открытия ПК ($p_{p.o}$) – наименьшее избыточное давление на входе в ПК, при котором золотник клапана поднят на расчетную высоту, обеспечивающую заданную пропускную способность ПК.

Давление закрытия ПК (p_z) – избыточное давление на входе в ПК, при котором после сброса технологической среды происходит посадка золотника на седло с обеспечением заданной герметичности.

Давление срабатывания ПМ (p_1) – избыточное давление в аппарате на входе в ПМ, при котором происходит разрушение мембранны. Назначают минимальное и максимальное значения p_1 в зависимости от p_p и p_R в защищаемом аппарате. При этом минимальное значение $p_{1 min}$ принимают не

менее чем $1,05 p_p$ для исключения возможности ложных срабатываний ПМ, а максимальное $p_{1\ max}$ должно быть не больше $1,1 p_R$.

Противодавление (p_2) – максимальное избыточное давление за ПУ, равное статическому давлению в закрытой емкости, куда сбрасывается среда из ПУ, или атмосферному давлению при сбросе среды на свечу.

В зависимости от давления перед ПУ и размеров сбросной системы в ней при работе ПУ может образоваться динамическое противодавление, которое прибавляется к статическому давлению p_2 .

Предохранительные устройства (ПУ) – вид арматуры, используемой для автоматического выпуска рабочей среды из аппарата при чрезмерном повышении давления в нем.

По кратности использования ПУ подразделяют на две основные группы:

а) многократно используемые устройства – предохранительные клапаны с самодействующим замыкающим элементом;

б) устройства одноразового действия – предохранительные мембранны – специально ослабленные элементы с точно рассчитанным порогом разрушения по давлению.

Примеры расчета предохранительных устройств

При расчете предохранительных устройств (ПУ) может стоять одна из двух задач:

а) рассчитать размеры ПУ для заданных условий работы, выбрать его по каталогу, стандарту или другой документации;

б) рассчитать пропускную способность ПУ заданного типоразмера и определить его пригодность для работы в заданных условиях.

Порядок расчета при определении размеров и выборе предохранительного устройства следующий.

1. Определить характер и величину аварийного расхода.

2. Определить допускаемое превышение давления в аппарате при работе ПУ.

3. Определить характеристику среды перед и за ПУ.

4. Рассчитать характеристики размера ПУ.

5. Выбрать соответствующий тип ПУ.

6. Выбрать ПУ по каталогу, стандарту или чертежам с гарантированными значениями α и F_R так, чтобы расчетные значения отвечали условиям:

$$(\alpha F)_R \leq \alpha F$$

Порядок расчета при определении пропускной способности заданного ПУ следующий.

1. Определить характер и величину аварийного расхода

2. Определить допускаемое превышение давления в аппарате при работе ПУ.

3. Определить характеристику среды перед и за ПУ.

4. Рассчитать пропускную способность предохранительного устройства.
5. Сопоставить расчетную пропускную способность m_R с аварийным расходом m_a . Устройство пригодно для заданных условий работы, когда $m_R \geq m_a$.

Пример 1. Рассчитать и выбрать ПУ для защиты аппарата, в который поршневой компрессор подает воздух в количестве $m_k = 7200$ кг/ч. Избыточное рабочее давление в аппарате $p_p = 0,8$ МПа, температура $T_p = 420$ К. Воздух из ПУ сбрасывается в атмосферу. Максимальный аварийный приток воздухам может появиться при ошибочном перекрытии запорного вентиля за аппаратом. В этом случае $m_a = m_k = 7200$ кг/ч.

Решение.

Максимально допустимое давление в аппарате при срабатывании ПУ, согласно Правилам Росгортехнадзора, составляет:

$p_1 = 1,15p_p = 1,15 \cdot 0,8 = 0,92$ МПа. Давление сброса $p_2 = 0$; молярная масса воздуха $M = 28,96$ кг/кмоль; показатель изоэнтропы при нормальных условиях $k_n = 1,4$; параметры критической точки: $p_{kp} = 3,77$ МПа; $T_{kp} = 132,5$ К (см. таблицу 1).

Температура T_1 при давлении p_1 несколько выше, чем при рабочем давлении p_p , и может быть определена по формуле:

$$T_1 = T_p((p_1 + 0,1)/(p_p + 0,1))^{(k_n - 1)/k_n}$$

При этом следует учитывать, что определять температуру в зависимости от давлений следует не по k , а по k_n . При расчете по Тр пропускная способность ПУ завышается.

Температура воздуха при давлении p_1

$$T_1 = 420 [(0,92 + 0,1)/(0,8 + 0,1)](1,4 - 1)/1,4 = 435 \text{ К.}$$

Приведенные параметры: $\pi_1 = (0,92 + 0,1)/3,77 = 0,27$; $\tau_1 = 435/132,5 = 3,28$.

Так как $\pi_1/\tau^1 = 0,27/3,28 = 0,082 < 0,5$, то, следовательно, $k_1 = k_n = 1,4$; $k_2 = k_n = 1,4$ и $k = k_n = 1,4$. Критическое отношение давлений $\beta^* = 0,528$ К (см. таблицу 1); коэффициент сжимаемости при p_1 и T_1 имеет значение $z_1 = 1,0$. Отношение давлений за и перед ПУ

$$\beta = (0 + 0,1)/(0,92 + 0,1) = 0,098,$$

что меньше значений $\beta^* = 0,528$ и $p_{kl}^* = 0,3$. Следовательно, $B_2 = 1$.

При $k = 1,4$ $B_3 = 0,484$ и $B_1(z=1) = 0,68$. Тогда $B_1 = 0,68 / \sqrt{1} = 0,68$.

При $m = m_a$ расчетная величина

$$(\alpha_1 F)_R = \frac{7200}{10 \cdot 0,68 \cdot 1 \cdot (0,92 + 0,1)} = 1035 \text{ мм}^2.$$

В соответствии с рекомендациями выбираем в качестве ПУ пружинный полноподъемный предохранительный клапан с $\alpha_1 = 0,6$

Площадь узкого сечения седла ПК

$$(F_c)_R = \frac{(\alpha_1 F)_R}{\alpha_1} = \frac{1035}{0,6} = 1727 \text{ мм}^2$$

Диаметр узкого сечения седла

$$(d_c)_R = \sqrt{\frac{(F_c)_R}{0,785}} = 47 \text{ мм}^2$$

Выбираем клапан пружинный полноподъемный фланцевый типа СПК4Р-16 (17с17нж) для неагрессивных сред с температурой до 450 °C, имеющий следующие параметры: $p_y = 1,6 \text{ МПа}$ ($>p_p = 0,8 \text{ МПа}$); $d_c = 50 \text{ мм}$ ($>(d_c)_R = 47,0 \text{ мм}$); $\alpha_1 = (\alpha_1)_R = 0,6$; пружина № 123 на давление открытия $p_h = 0,35-0,95 \text{ МПа}$

$$D_y = 100 \text{ мм}; D_{y1} = 125 \text{ мм}.$$

Применение ПК с проходным сечением $(\alpha_1 F)_D$, большим расчетной величины $(\alpha_1 F)_R$, вызовет снижение давления в защищаемом аппарате при полностью открытом клапане. Это давление (в данном случае при $\beta \leq \beta_{\text{кл}}^*$ и $B_2 = q = 1$) находят по формуле: $(p_1)_D = (p_1 + 0,1)(\alpha_1 F)_R / (\alpha_1 F)_R - 0,1$;

Таблица 1

Характеристика газов и паров

Газ	Химическая формула	k_h	β	M, кг/кмоль	Параметры критической точки	
		При 0 °C и избыточном давлении 0,101 МПа			$p_{\text{кр.т}} \text{ (абс.), МПа}$	$T_{\text{кр.т}, \text{ К}}$
Азот	N ₂	1,40	0,528	28,02	3,35	126,0
Аммиак	NH ₃	1,32	0,543	17,03	11,30	405,4
Аргон	Ar	1,67	0,488	39,94	4,80	150,6
Ацетилен	C ₂ H ₂	1,23	0,559	26,04	6,24	308,5
Бутан	C ₄ H ₁₀	1,10	0,585	58,12	3,89	425,0
Водород	H ₂	1,41	0,527	2,02	1,28	32,8
Воздух	-	1,40	0,528	28,96	3,77	132,5
Двуокись углерода	CO ₂	1,31	0,546	44,01	7,53	304,4
Дифтордихлорметан	CF ₂ Cl ₂	1,14	0,576	120,92	3,96	384,7
Кислород	O ₂	1,40	0,528	32,00	5,01	154,6
Метан	CH ₄	1,30	0,546	16,04	4,64	190,5
Окись углерода	CO	1,40	0,528	28,01	3,45	133,0
Пропан	C ₃ H ₈	1,14	0,576	44,09	4,27	369,8
Сероводород	H ₂ S	1,30	0,546	34,08	9,00	373,4
Хлор	Cl ₂	1,34	0,540	70,91	7,61	417,0
Этан	C ₂ H ₆	1,22	0,560	30,07	4,86	305,3
Этилен	C ₂ H ₄	1,24	0,557	28,05	5,03	282,9

так как $(\alpha_1)_R = (\alpha_1)_D$, то в аппарате устанавливается давление:

$$(p_1)_D = (p_1 + 0,1)(d_c)_R^2 / (d_c)_D^2 - 0,1 = (0,92 + 0,1)47^2 / 50^2 - 0,1 = 0,805 \text{ МПа}$$

Если бы при тех же условиях было $m_k = 500 \text{ кг/ч}$, то

$$(\alpha_1 F)_R = \frac{500}{10 \cdot 0,68 \cdot 1(0,92 + 0,1)} = 72,1 \text{ мм}^2;$$

$$(F_c)_R = \frac{72,1}{0,6} = 121 \text{ мм}^2;$$

$$(d_c)_R = \sqrt{\frac{121}{0,785}} = 12,4 \text{ мм.}$$

Так как по табл. наименьший диаметр ПК $d_c = 30$ мм, то при использовании такого клапана проходное сечение по сравнению с расчетным было бы завышено в $(30/12,4)^2$ раз, что неэкономично с точки зрения металлоемкости ПК и неблагоприятно с точки зрения динамики его работы. При полном открытии ПК давление в защищаемом аппарате резко упадет, вследствие чего клапан начнет закрываться.

При продолжении действия источника аварийного повышения давления это приведет к повторным открытиям ПК, т. е. к вибрации золотника и ударам его по седлу и ограничителю.

В данном случае целесообразнее применить специальный ПК в соответствии, имеющий $F_s = 95 \text{ мм}^2 > (\alpha_1 F)_R = 72,1 \text{ мм}^2$ при $d_c = 12 \text{ мм}$ и $\alpha_1 \approx 0,8$. Тогда при открытом ПК в аппарате установится давление $(p_1)_d = (0,92 + 0,1)72,1^2 / 95^2 - 0,1 = 0,635 \text{ МПа}$.

Пример 2. Рассчитать пропускную способность предохранительной мембранны диаметром $d = 25$ мм, $\alpha_1 = 0,8$ и определить ее пригодность для защиты от повышения давления вследствие пожара вблизи аппарата, содержащего жидкий пропан при давлении 0,7 МПа и температуре 20 °C. Диаметр аппарата $D = 2$ м, длина $L = 4$ м. Аппарат без теплоизоляции и без специального охлаждения.

Решение.

Площадь наружной поверхности аппарата:

$$F = \pi D L = 3,14 \cdot 2 \cdot 4 = 25,12 \text{ м}^2.$$

Максимальный аварийный расход жидкого пропана по формуле (2) при $k = 25 \text{ Вт}/(\text{м}^2 \cdot \text{K})$; $t_r = 700 \text{ }^\circ\text{C}$; $t_{ж} = 20 \text{ }^\circ\text{C}$; $r = 350 \cdot 10^3 \text{ Дж/кг}$

$$m_a = \frac{25 \cdot 25,12 \cdot (700 - 200)}{350 \cdot 10^3} = 1,22 \frac{\text{кг}}{\text{с}} \text{ или } 4400 \text{ кг/ч.}$$

Определим пропускную способность мембранны при условиях:

$p_1 = 1,15 \cdot 0,7 = 0,805 \text{ МПа}$; $p_2 = 0$; $T_1 = 293 \text{ К}$. Для пропана К (см. таблицу 1) $p_{kp} = 4,27 \text{ МПа}$; $T_{kp} = 369,8 \text{ К}$; $M = 44,09 \text{ кг/кмоль}$; $k_h = 1,14$. Тогда

$$\pi = \frac{0,805+0,1}{4,27} = 0,212; \tau_1 = \frac{293}{369,8} = 0,795; \frac{\pi_1}{\tau_1} = \frac{0,212}{0,795} = 0,366 < 0,5.$$

Принимаем $k = k_h = 1,14$; $\beta^* = 0,576$; $z_1 = 0,84$. Вычисляем β :

$$\beta = \frac{p_2 + 0,1}{p_1 + 0,1} = \frac{0 + 0,1}{0,805 + 0,1} = 0,11 < \beta^* = 0,576.$$

Так как $\beta < \beta^*$ и $\beta < \beta_{\text{кл}}^* = 0,57$, то принимаем $B_2 = 1$.

При $t = 20^\circ\text{C}$ для пропана $B_{1(z=1)} = 0,93$, тогда

$$B_1 = \frac{0,93}{\sqrt{0,84}} = 1,01.$$

Откуда находим

$$m = 10 \cdot 1,01 \cdot 1 \cdot 0,8 \cdot 0,785 \cdot 252 \cdot (0,805 + 0,1) = 3570 < m_a = 4400 \text{ кг/ч.}$$

Следовательно, мембрана диаметром 25 мм не обеспечивает защиту аппарата при заданных условиях.

Задание на расчет

Задача 1. Рассчитать и выбрать ПУ для защиты аппарата, в который поршневой компрессор подает воздух в количестве m_k , кг/ч. Избыточное рабочее давление в аппарате p_p , МПа, температура T_p , К. Воздух из ПУ сбрасывается в атмосферу. Максимальный аварийный приток воздухам может появиться при ошибочном перекрытии запорного вентиля за аппаратом. В этом случае $m_a = m_k$

№ варианта	1	2	3	4	5	6	7	8	9	10	11	12
Подаваемый воздух m_k , кг/ч.	7250	7300	7400	7350	7250	7300	8000	7250	7300	7400	7350	7250
Избыточное рабочее давление в аппарате p_p , МПа	0,8	0,9	0,8	0,9	0,9	1,0	0,9	1,0	0,7	0,9	1,0	0,9
Температура T_p , ${}^\circ\text{C}$	350	380	420	430	420	380	390	420	380	450	390	450

Задача 2. Рассчитать пропускную способность предохранительной мембранны диаметром $d = 25$ мм, $a_1 = 0,8$ и определить ее пригодность для защиты от повышения давления вследствие пожара вблизи аппарата, содержащего жидкий пропан при давлении 0,7 МПа и температуре 20°C . Диаметр аппарата $D = 2$ м, длина $L = 4$ м. Аппарат без теплоизоляции и без специального охлаждения.

Практическая работа №2

ОПРЕДЕЛЕНИЕ ОГНЕСТОЙКОСТИ ЗДАНИЙ И СООРУЖЕНИЙ

Цель работы: освоить методики оценки огнестойкости конструкции, зданий и сооружений.

Общие положения

Пожарная безопасность - это состояние защищенности личности, имущества, общества и государства от пожаров.

Все здания и сооружения представляют собой объекты, которые имеют ту или иную степень пожарной опасности. Это значит, что здания и сооружения в подавляющем своем большинстве содержат горючие вещества в количествах, достаточных для нанесения ущерба, окислитель (кислород воздуха) и возможные источники зажигания, т.е. совокупность условий, способствующих возникновению пожара и определяющих его возможные масштабы и последствия.

Основной проблемой пожарной безопасности зданий является приведение изначально пожароопасных объектов в такое состояние, при котором исключается возможность пожара на объекте, а в случае возникновения пожара обеспечивается защита людей и материальных ценностей от опасных факторов пожара.

Пожарная безопасность объекта и его составных частей должна обеспечиваться на всех этапах их существования, как при строительстве, эксплуатации, так и в случаях реконструкции, ремонта или аварийной ситуации.

Согласно ГОСТ 12.1.004-85 пожарная безопасность объекта обеспечивается:

- системой предотвращения пожара;
- системой противопожарной защиты;
- организационно-техническими мероприятиями.

В основу противопожарного нормирования заложено обязательное требование о выполнении общего условия пожарной безопасности зданий и сооружений.

Общее условие обеспечения пожарной безопасности объекта можно сформулировать следующим образом: пожарная безопасность объекта будет обеспечена, если фактическая совокупность мер по обеспечению пожарной безопасности объекта $\sum M^\phi$ будет соответствовать (равняться или превышать) совокупность этих мер ($\sum M^{mp}$), требуемую специальными нормами и правилами, утвержденными в установленном порядке, т.е.

$$\sum M^\phi \geq \sum M^{mp} \quad (1)$$

$$\text{где } \sum M^\phi = \sum M_{\text{пр.п}} + \sum M_{\text{заш.п}} + \sum M_{\text{опр.техн}}, \quad (2)$$

где $\sum M_{\text{пр.п}} + \sum M_{\text{заш.п}} + \sum M_{\text{опр.техн}}$ - соответственно сумма мер по

предотвращению пожара, защите от пожара, организационно-техническим мероприятиям.

Основные требования к системе предотвращения пожара и организационно-техническим мероприятиям по обеспечению пожарной безопасности изложены в ГОСТ 12.1.004-85.

Так как основной объем инженерных решений по обеспечению пожарной безопасности строительных объектов, осуществляемых на стадии проектирования, относится к разработке системы мер по противопожарной защите помещений, зданий и других строительных сооружений, то ниже более подробно будет рассмотрен вопрос о том, из каких основных элементов состоит система противопожарной защиты зданий.

Элементы системы противопожарной защиты зданий по способу реализации своих защитных функций при возникновении пожара, делятся на две группы:

1. Элементы пассивной защиты помещений и зданий от пожара, реализующие свои защитные функции «пассивно», не воздействуя непосредственно на очаг пожара.

2. Элементы активной защиты помещений и зданий от пожара, реализующие свои защитные функции «активно», путем прямого воздействия на очаг пожара или подачи сигнала о его возникновении.

Пассивная защита помещений и зданий включает следующие основные элементы:

- применение основных строительных конструкций объектов с регламентируемыми пределами огнестойкости;

- применение противопожарных преград, обеспечивающих ограничение распространения пожара из одной части здания в другую;

- организация своевременной эвакуации людей из помещений и зданий до наступления предельно допустимых значений опасных факторов пожара, путем установления требуемого количества, размеров и соответствующего конструктивного исполнения эвакуационных путей, выходов;

- применение систем противодымной защиты обеспечивающих нездымление, снижение температуры и удаление продуктов горения на путях эвакуации в течение времени, достаточного для эвакуации людей;

- обеспечение необходимых разрывов между зданиями и сооружениями для ограничения распространения пожара от одного здания к другому, возможности использования противопожарной техники и доступа в любое помещение с ее помощью;

- применение технических решений по взрывозащите зданий, имеющих взрывоопасные помещения, назначение которых состоит в снижении избыточного давления при возможном взрыве в помещении до величин, безопасных для основных несущих конструкций здания.

Активная защита помещений и зданий включает следующие элементы:

- применение установок пожарной сигнализации;

- применение средств пожаротушения, в том числе автоматического действия.

Оценка огнестойкости строительных конструкций и зданий

Понятие об огнестойкости конструкций

Различные строительные материалы, элементы конструкций, здания в целом по-разному ведут себя в условиях воздействия пожара. В связи с этим, при разработке системы мер по противопожарной защите помещений и зданий, возникла необходимость в специальном показателе, с помощью которого можно было бы сравнивать способность объектов сопротивляться воздействию пожара.

В качестве такого показателя было принято понятие об огнестойкости объектов.

Огнестойкость является международной пожарно-технической характеристикой, регламентируемой строительными нормами и правилами, и характеризует способность конструкций и зданий сопротивляться воздействию пожара.

Количественной характеристикой огнестойкости конструкций является «предел огнестойкости».

Предел огнестойкости - это промежуток времени (в минутах) от начала огневого испытания конструкции при стандартном температурном режиме до наступления одного или последовательно нескольких, нормируемых для данной конструкции, признаков предельных состояний:

1) потеря несущей способности - обрушение или недопустимый прогиб (обозначение - «R»);

2) потеря целостности - образование в конструкциях или стыках сквозных трещин или сквозных отверстий (обозначение в нормах - «E»);

3) потеря теплоизолирующей способности - повышение температуры на необогреваемой поверхности конструкции в среднем больше чем на 160°C или в любой точке этой поверхности более чем до 190°C по сравнению с температурой конструкции до нагрева или более чем до 220°C независимо от температуры конструкции до нагрева («I»).

С учетом этих обозначений, значение предела огнестойкости в современных нормах и технической документации включает в себя обозначение предельного состояния (буквы R, E, I) и цифру, соответствующую пределу огнестойкости конструкции (в мин.) при достижении того или иного предельного состояния.

Например, в строительных нормах и правилах указывается, что предел огнестойкости конструкции равен R 120. Это значит, что конструкция должна иметь предел огнестойкости не менее 120 минут по признаку «R» - потеря несущей способности. Или предел огнестойкости конструкции равен REI 30. Это значит, что предел огнестойкости конструкции равен 30 минутам, независимо от того, какое из трех предельных состояний (R, E или I) наступило первым.

Экспериментальные методы и средства оценки огнестойкости включают в себя: натурные наблюдения пожаров, огневые испытания фрагментов зданий, огневые стандартные и нестандартные испытания элементов конструкций в натуральную величину, огневые испытания модельных конструкций.

Однако организация и проведение натурных испытаний конструкций на огнестойкость требует значительных материальных затрат и времени. В ряде случаев это не позволяет достаточно быстро находить приемлемые решения в области оценки огнестойкости конструкций на стадии проектирования зданий и сооружений, затрудняет качественную оценку влияния различных факторов на поведение конструкций в условиях пожара.

Указанные обстоятельства привели к необходимости наряду с натурными испытаниями разрабатывать более оперативные и экономичные методы оценки огнестойкости. Особенно большое внимание в последние годы уделяется разработке методов и средств расчетной оценки огнестойкости строительных конструкций.

Огнестойкость зданий и общий подход к ее оценке

Огнестойкость зданий характеризует способность зданий в целом сопротивляться воздействию пожара. В качестве характеристики огнестойкости зданий используется понятие о «степени огнестойкости» здания.

Здания и пожарные отсеки подразделяются на пять степеней огнестойкости: I, II, III, IV, V.

Для установления соответствия огнестойкости зданий требованиям пожарной безопасности используется понятие о «фактической степени огнестойкости» здания и «требуемой степени огнестойкости» здания.

Фактическая степень огнестойкости здания $D_{f,r}^{\phi}$ определяется фактическими пределами огнестойкости его основных конструкций $\tau_{f,r}^{\phi}$.

Требуемая степень огнестойкости $D_{f,r}^{mp}$ характеризует такую степень огнестойкости здания, которую требуют строительные нормы и правила для удовлетворения условиям пожарной безопасности объекта.

Показатели требуемой степени огнестойкости для зданий различного назначения приведены в СНиПах и СП 2.13130.2009 для проектирования соответствующих зданий и определяются в зависимости от класса, категории здания по взрывопожарной и пожарной опасности, площади этажа или пожарного отсека, числа этажей, класса конструктивной пожарной опасности здания (см. табл. 1)

Таблица 1

Требуемая степень огнестойкости производственных зданий в зависимости от категории зданий, их высоты, класса конструктивной пожарной опасности и площади этажа

Категория зданий или пожарных отсеков	Высота здания*, м	Степень огнестойкости здания	Класс конструктивной пожарной опасности здания	Площадь этажа, м ² , в пределах пожарного отсека здания		
				одноэтажных	в два этажа	в три этажа и более
A, Б	36	I	CO	Неogr.	5200	
A	36	II	CO	Неogr.	5200	3500
	24	III	CO	7800	3500	2600
	-	IV	CO	3500	-	-
Б	36	II	CO	Неogr.	10400	7800
	24	III	CO	7800	3500	2600
	-	IV	CO	3500	-	-
B	48	I, II	CO	Неogr.	25000 7800**	10400 5200**
	24	III	CO	25000	10400 5200	— 3600**
	18	IV	C0,C1	25000	10400	-
	18	IV	C2,C3	2600	2000	—
	12	V	Не норм.	1200	600**	--
	54	I, II	CO	Не ограничивается		
Г	36	III	CO	Неogr.	25000	10400
	30	III	C1	Тоже	10400	7800
	24	IV	CO	«	10400	5200
	18	IV	C1	6500	5200	-
	54	I, II	CO	Не ограничивается		
Д	36	III	CO	Неogr.	50000	15000
	30	III	C1	Тоже	25000	10400
	24	IV	C0,C1	«	25000	7800
	18	IV	C2,C3	10400	7800	-
	12	V	Не норм.	2600	1500	-

*Высота здания в данной таблице измеряется от пола 1-го этажа до потолка верхнего этажа, включая технический; при переменной высоте потолка принимается средняя высота этажа.

Высота одноэтажных зданий класса пожарной опасности CO и C1 не нормируется.

**Для деревообрабатывающих производств.

***Для лесопильных цехов с числом рам до четырех, деревообрабатывающих цехов первичной обработки древесины и рубильных станций дробления древесины.

Условие противопожарной защиты здания по показателю огнестойкости, с учетом вышеизложенного, формулируется следующим образом: если значения фактических пределов огнестойкости основных конструкций здания превышают или равны требуемым нормами значениям пределов огнестойкости этих конструкций, то фактическая степень огнестойкости здания $D_{f.r}^{\phi}$ соответствует требуемой $D_{f.r}^{mp}$, т.е.:

если ($\tau_{f.r}^{\phi} \geq \tau_{f.r}^{mp}$) осн.конструкции, то $D_{f.r}^{\phi}$ соответствует $D_{f.r}^{mp}$,. (3)

Общий подход к оценке огнестойкости зданий предполагает решение следующих задач:

- определение требуемой степени огнестойкости здания по СНиП СП для соответствующего типа здания, в зависимости от его категории взрывопожарной опасности класса, площади этажа или пожарного отсека, числа этажей, класса конструктивной пожарной опасности здания;

- определение требуемых значений пределов огнестойкости основных конструкций здания в зависимости от полученного значения $D_{f.r}^{mp}$.

по СНиП «Пожарная безопасность зданий и сооружений»;

- определение фактических значений пределов огнестойкости основных конструкций здания по соответствующим справочным пособиям или с помощью расчета;

- проверка условия противопожарной защиты здания по показателю огнестойкости.

Расчет пределов огнестойкости бетонных и железобетонных конструкций

Пределы огнестойкости бетонных и железобетонных конструкций могут быть определены путем расчета для двух предельных состояний: потеря несущей способности (R) и потеря теплоизолирующей способности (I).

В общем случае для расчета пределов огнестойкости рассматриваемых конструкций необходимо решение 2-х задач:

теплотехнической: расчет температур прогрева сечений бетонных и железобетонных конструкций при воздействии "стандартного" пожара;

прочностной: расчет изменения несущей способности конструкций в результате их прогрева при пожаре и определение момента времени, когда несущая способность конструкций снизится до уровня рабочих нагрузок.

Температуру бетона и арматуры конструкций при одной обогреваемой поверхности определяют по формуле

$$T(x, \tau) = 20 + 1200(1-r)^2, \quad (4)$$

$$\text{где } r = x^*/l \leq 1,0 \quad (5)$$

где l - толщина начавшего прогреваться слоя бетона, м;

$$l = \sqrt{12\alpha_{red}\tau} \quad (6)$$

α_{red} - значения приведенного коэффициента температуропроводности бетона ($\text{м}^2/\text{ч}$), которые определяются по таблице 6; τ - время воздействия пожара, ч; x^* - параметр, который определяется из выражения: при определении температуры прогрева бетона –

$$x^* = \varphi_1 \sqrt{\alpha_{red}} \quad (7)$$

при определении температуры прогрева арматуры –

$$x^* = x + \varphi_1 \sqrt{\alpha_{red}} + \varphi_2 * d_s \quad (8)$$

где x^* - расстояние от обогреваемой поверхности конструкции до рассматриваемого сечения бетона (в формуле (7)), или до ближайшего края арматуры (в формуле 8)), м; φ_1, φ_2 - коэффициенты, зависящие от плотности бетона и определяемые по табл. 7; d_s - диаметр рабочей арматуры, м.

Для плоских изгибаемых конструкций, подвергаемых при пожаре одностороннему высокотемпературному воздействию, значения предела огнестойкости может быть определено из выражения:

$$\tau_{f.r} = 1/12 * \alpha_{red} * \left((x + \varphi_1 \sqrt{\alpha_{red}} + \varphi_2 * d_s) / 1 - \sqrt{(T_s^{cr} - 20) / 1200} \right)^2 \quad (9)$$

где T_s^{cr} - критическая температура прогрева рабочей арматуры изгибаемой плоской железобетонной конструкции, при которой, в условиях пожара, наступает ее предел огнестойкости $\tau_{f.r}$, по потере несущей способности (R).

Значения критических температур прогрева для различных арматурных сталей, при значении коэффициента условий работы арматуры при пожаре $\gamma_{st} = 0.5$, приведены в табл. 8.

Таблица 2
Фактические пределы огнестойкости свободноопертых железобетонных плит

Минимальная толщина плиты t и	Пределы огнестойкости, мин.

		расстояние до оси арматуры a, мм							
			15	30	60	90	120	150	180
	Толщина плиты	t	30	50	80	100	120	140	155
Тяжелый	Опирание по двум сторонам или по контуру при $l_y/l_x \geq 1,5$	a	10	15	25	35	45	60	70
	Опирание по контуру $l_y/l_x < 1,5$	a	10	10	10	15	20	30	40
	Толщина плиты	t	30	40	60	75	90	105	120
Легкий $\gamma_b = 1,2$ t/m^3	Опирание по двум сторонам или по контуру при $l_y/l_x \geq 1,5$	a	10	10	20	30	40	50	55
	Опирание по контуру $l_y/l_x < 1,5$	a	10	10	10	10	15	25	30

Примечания:

- 1). Минимальная толщина плиты t обеспечивает значение предела огнестойкости признаку «I», а расстояние до оси арматуры - значение предела огнестойкости по признаку «R».
- 2). Пределы огнестойкости многопустотных и ребристых с ребрами вверх панелей и настилов следует принимать по таблице, умножая их на коэффициент 0,9.
- 3). Пределы огнестойкости статически неопределеных конструкций больше, чем пределы огнестойкости статически определимых на 25%, если отношение площади арматуры над опорой к площади арматуры в пролете равно 0,5, и на 50%, если это отношение равно 1,0.
- 4). Эффективная толщина многопустотной плиты для оценки предела огнестойкости определяется делением площади поперечного сечения плиты, за вычетом площади пустот, на ее ширину.

Таблица 3.

Фактические пределы огнестойкости статически определимых свободно опертых балок из тяжелого бетона, нагреваемых с 3-х сторон.

Пределы огнестойкости балок из тяжелого бетона, мин	Ширина балки b и расстояние до оси арматуры a	Минимальные размеры железобетонных балок, мм					Минимальная ширина ребра b_w , мм
30	b a	80 25	120 15	160 10	200 10		80
60	b a	120 40	160 35	200 30	300 25		100

90	b a	150 55	200 45	280 40	400 35	100
120	b a	200 65	240 55	300 50	500 45	120
150	b a	240 80	300 70	400 65	600 60	140
180	b a	280 90	350 80	500 75	700 70	160

Таблица 4

Фактические пределы огнестойкости железобетонных колонн

Вид бетона	Воздействие огня	Ширина b колонны и расстояние до оси арматуры a	Минимальные размеры, мм железобетонных колонн с пределами огнестойкости, мин					
			30	60	90	120	150	180
тяжелый	Со всех сторон	b a	150 10	200 25	240 35	300 40	400 50	450 50
легкий ($\gamma_b=1,2 \text{ т/м}^3$)	Со всех сторон	b a	150 10	160 25	190 35	240 40	320 40	360 40

Примечания: 1). Для колонн сплошного сечения в качестве размера b следует принимать их диаметр.

2). Данные таблицы применимы для армирования колонн не менее 3% от поперечного сечения бетона.

Таблица 5

Фактические пределы огнестойкости некоторых конструкций стен и перегородок

№ п/п	Краткая характеристика конструкций	Размер a, см	Предел огнестойкости
1	Стены и перегородки из сплошных и щетотельных керамических и силикатных кирпича и камня, толщиной a	6,5 12,0 $\geq 2,5$	REI45 REI 150 \geq REI 330
2	Кирпичные колонны и столбы	25x25 $>25 \times 38$	R150 R180
3	Стены из трехслойных панелей, состоящие из двух ребристых железобетонных плит и утеплителей из несгораемых или трудносгораемых минераловатных или фибролитовых плит при общей толщине сечения a	25	>REI 180

4	Стены наружные из двухслойных панелей, состоящие из ограждающего слоя, толщиной не менее 24 см из крупнозернистого керамзитобетона класса В2-В4 ($\rho = 0.6\text{-}0.9 \text{ кг}/\text{м}^3$), и несущего слоя, толщиной не менее 10 см	--	>REI 180
---	---	----	----------

Таблица 6

Значение коэффициента температуропроводности различных бетонов

Тип бетона	Плотность бетона $\rho \text{ кг}/\text{м}^3$	Приведенный коэффициент температуропроводности $\alpha_{\text{ред}} \text{ м}^2/\text{ч}$
Тяжелый бетон с заполнителем из силикатных пород	2350	0,00133
Тяжелый бетон с заполнителем из карбонатных пород	2350	0,00116
Легкий бетон с крупным заполнителем из керамзита	1600	0,000734
Керамзитоперлитобетон	1200	0,000722

Таблица 7

Значение коэффициентов φ_1, φ_2 в зависимости от плотности бетона

P	500	1000	1500	2000	2350	2450
$\varphi_1, \varphi_{1/2}$	0,46	0,55	0,58	0,60	0,62	0,65
φ_2	1,0	0,85	0,65	0,50	0,5	0,5

Таблица 8

Значение критической температуры прогрева при пожаре различных арматурных сталей при значении коэффициента условий работы арматуры при пожаре $\gamma_{st} = 0,5$

Класс стержневой арматуры	$T_s^{cr} \text{ } ^\circ\text{C}$, при $\gamma_{st} = 0,5$
A-I	550
A-II	550
A-IIв	525
A-III	575
A-IIIв	525
A-IV	550
A-V	525
Ат-IV; Ат-V	500
B-I; Bp-I	450
B-II; Bp-II; K-7	420
A-VI	475

Пример оценки огнестойкости жилого здания

Дано: Проектируемое жилое здание. Число этажей - 16.

Основные конструкции:

Наружные стены - двухслойные панели, ограждающий слой - керамзитобетон, толщиной 0,30м; несущий слой - тяжелый бетон, толщиной 0,10м.

Стены лестничных клеток - кирпичные, толщиной 0,51м.

Плиты перекрытий - железобетонные многопустотные, толщиной 0,16м, защитный слой бетона до оси арматуры - 0,026м.

Колонны - железобетонные, сечением 0,4x0,4м, расстояние до оси арматуры 45мм.

Балки - железобетонные, шириной 0,16м, толщина защитного слоя бетона до оси арматуры 0,035м.

Решение:

1. Определяем требуемую степень огнестойкости проектируемого здания.

Согласно (п.1.11 СНиП 2.08.01-89* «Жилые здания» и таблицы 6.8 СП 2.13130.2009) принимаем $D_{f.r}^{mp} = I$, т.к. здание имеет число этажей больше 10.

3. Определяем значение требуемых пределов огнестойкости основных конструкций здания согласно таблицы 9.

Таблица 9

Соответствие степени огнестойкости и предела огнестойкости строительных конструкций зданий, сооружений, строений и пожарных отсеков

Степень огнестойкости здания, сооружений, строений и пожарных отсеков	Предел огнестойкости строительных конструкций, не менее						
	Несущие стены, колонны и другие несущие элементы	Наружные ненесущие стены	Перекрытия междуэтажные (в т. ч. чердачные и над подвалами)	Строительные конструкции бесчердачных покрытий	Строительные конструкции лестничных клеток		
I	R 120	E 30	REI 60	RE 30	R 30	REI 120	R 60
II	R 90	E 15	REI 45	RE 15	R 15	REI 90	R 60
III	R 45	E 15	REI 45	RE 15	R 15	REI 60	R 45
IV	R 15	E 15	REI 15	RE 15	R 15	REI 45	R 15
V	не нормируется						

Примечание. Порядок отнесения строительных конструкций к несущим элементам здания сооружения и строения устанавливается нормативными документами по пожарной безопасности.

Требуемые пределы огнестойкости

Требуемая степень огнестойкости здания $D_{f.r}^{mp}$	Требуемые пределы огнестойкости τ_{cr}^{mp} конструкций
---	--

	Несущие элементы	Наружные ненесущие стены	Перекрытия	Стены лестничных клеток
I	R120	E30	REI60	REI 120

3. Определяем значение фактических пределов огнестойкости основных конструкций здания.

3.1. Стены наружные - двухслойные панели: согласно табл. 5

$$\tau_{f.r}^{\phi} = \text{REI } 180$$

3.2. Стены лестничных клеток: кирпичные, толщиной 0,51м. Согласно таблицы 5 имеем:

$$\tau_{f.r}^{\phi} = \text{REI } 330$$

3.3. Плиты перекрытий: железобетонные, многопустотные, $h = 0,16\text{м}$; $a = 0,026\text{м}$.

Согласно табл. 2 имеем:

$$\tau_{f.r}^{\phi} = \text{REI } 54$$

3.4. Колонны железобетонные, сечением 0,4 x 0,4м, толщина защитного слоя бетона до оси арматуры $a = 45\text{мм}$.

Согласно табл. 4, раздела 2.4. при $b = 400\text{мм}$ и $a = 45\text{мм}$ имеем:

$$\tau_{f.r}^{\phi} = \text{REI } 135$$

3.5. Балки: железобетонные, шириной 0,16м, толщина защитного слоя бетона до оси арматуры 35мм.

Согласно табл. 3, при $b = 160\text{мм}$ и $a = 35\text{мм}$, имеем:

$$\tau_{f.r}^{\phi} = \text{REI } 60$$

4. Проверяем соответствие запроектированных конструкций здания требованиям СП 2.13130.2009 по показателю их огнестойкости (см. таблицу):

Наименование конструкций здания	Требуется по СП $\tau_{f.r}^{\phi}$	Принято по проекту $\tau_{f.r}^{\phi}$	Соответствие требованиям норм
Стены наружные	E30	REI 180	соответствует
Стены лестничных клеток	REI 120	REI 330	соответствует
Плиты перекрытий	REI 60	REI 54	не соответствует
Колонны	R 120	R 135	соответствует
Балки	R 120	R 60	не соответствует

Таким образом, две из запроектированных конструкций (плиты перекрытия и балки) не соответствуют требованиям СП по показателю огнестойкости. Необходимо разработать меры по повышению предела огнестойкости этих конструкций.

5. Разработка мер по повышению огнестойкости конструкций огнестойкость которых не удовлетворяет требованиям норм.

5.1. Повышение огнестойкости железобетонных плит перекрытий - увеличиваем толщину защитного слоя бетона до оси рабочей арматуры на 1см. Тогда значение $a=0,036\text{м}$.

Определяем значение фактического предела огнестойкости плит перекрытий при $a = 0,036 \text{ м}$. Согласно табл. 2, при $a = 0,036$ имеем:

$$\tau_{f.r}^{\phi} = 0,9-90 = R 60$$

5.2. Повышение предела огнестойкости железобетонных балок - чтобы увеличить предел огнестойкости железобетонных балок до $R 120$, необходимо (см. табл. 3,) увеличить ширину b до 200мм, а толщину защитного слоя бетона до оси арматуры увеличить до 65мм.

6. Проверяем соответствие требованиям СП (СНиП) по показателям огнестойкости конструкций, для которых разрабатывались меры по повышению огнестойкости (см. таблицу):

Наименование конструкций здания	Требуется по СНиП $\tau_{f.r}^{\phi}$	Принято по проекту $\tau_{f.r}^{\phi}$	Соответствие требованиям норм
Плиты перекрытий	REI 60	REI 81	соответствует
Балки	R 120	R 120	соответствует

Общий вывод: Так как все основные конструкции рассматриваемого проектируемого здания соответствуют требованиям норм по показателю огнестойкости, то фактическая степень огнестойкости $D_{f.r}^{\phi}$ рассматриваемого здания также соответствует требуемой степени огнестойкости $D_{f.r}^{mp}=I$.

Порядок выполнения работы

1. Рассчитать огнестойкость жилого здания с числом этажей - 24.

Основные конструкции:

Наружные стены - двухслойные панели, ограждающий слой - керамзитобетон, толщиной 0,36м; несущий слой - тяжелый бетон, толщиной 0,14м.

Стены лестничных клеток - кирпичные, толщиной 0,51м.

Плиты перекрытий - железобетонные многопустотные, толщиной 0,16м, защитный слой бетона до оси арматуры - 0,026м.

Колонны - кирпичные, сечением 0,25x0,25м, расстояние до оси арматуры 20мм.

Балки - железобетонные, шириной 0,18м, толщина защитного слоя бетона до оси арматуры 0,030м. Недостающие данные принять самостоятельно.

2. Ознакомиться с порядком определения огнестойкости конструкции.

3. Провести оценку степени огнестойкости здания. Результаты представить в виде таблицы.

Практическая работа № 3

РАСЧЕТ ЗАЩИТНОГО ЗАЗЕМЛЕНИЯ

Цель работы: Изучить принцип действия защитного заземления и методики расчета сопротивления заземляющих устройств

Основные понятия

Назначение и принцип устройства защитного заземления. При обслуживании производственного оборудования, использующего электроэнергию, работающие прикасаются к его нетоковедущим металлическим частям. Такой контакт обычно является нормальной операцией. В процессе эксплуатации может происходить повреждение изоляции электрооборудования. Повреждение изоляции, как правило, сопровождается замыканием на корпус электроустановки, т.е. случайным соединением токоведущих частей с металлическими нетоковедущими частями электроустановки. В результате чего корпус электроустановки, а через него все оборудование и обслуживающий персонал могут оказаться под напряжением, что приводит к поражению электротоком.

Для защиты людей от поражения электрическим током при повреждении изоляции и замыкании на корпус «Правилами устройства электроустановок» предусматривается ряд защитных мер, одним из них является применение защитного заземления.

Задача заземления - преднамеренное электрическое соединение с землей или ее эквивалентом металлических нетоковедущих частей, которые могут оказаться под напряжением вследствие замыкания на корпус и по другим причинам (индуктивное влияние соседних токоведущих частей, вынос потенциалов, разряд молнии, наведение статического электричества и др.).

Принцип действия защитного заземления можно рассмотреть на примере схемы питания электроустановки (рис. 1). Человек, с сопротивлением тела $R_{чел}$ касаясь корпуса электроустановки, на которой произошел пробой изоляции, оказывается под защитой сопротивления заземления r_3 , которое включено параллельно $R_{чел}$. Так как $R_{чел} \gg r_3$, то ток короткого замыкания, протекает по пути наименьшего сопротивления, т. е. через заземлитель и ток $I_{чел} \ll I_{заз}$.

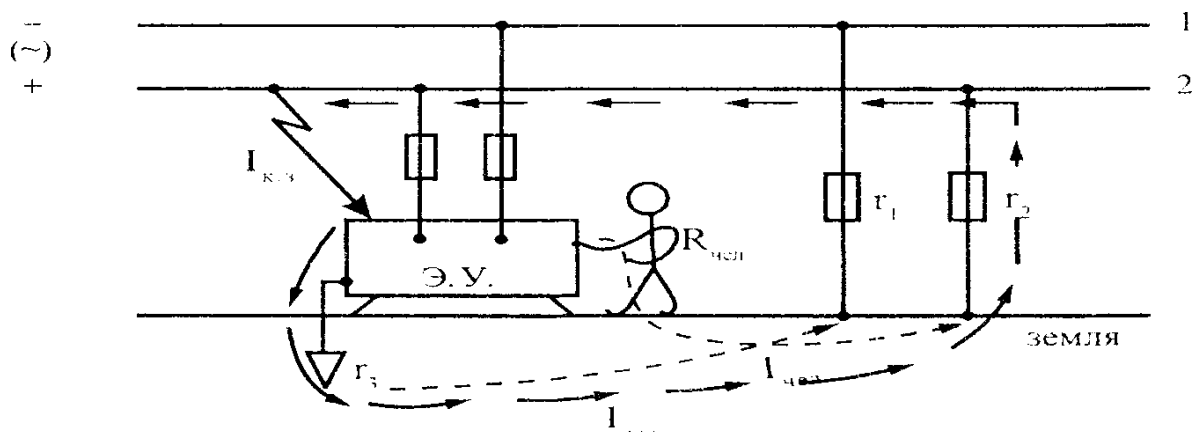


Рис.1. Принцип действия защитного заземления

R_u – электрическое сопротивление человека; r_3 – сопротивление заземлителя; r_1 и r_2 – сопротивление изоляции проводов 1 и 2, соответственно; I_{k3} – ток короткого замыкания; $I_{заз}$ – ток, протекающий через заземлитель; $I_{чел}$ – ток, протекающий через тело человека $I_{k3} = I_{заз} + I_{чел}$.

При замыкании одной фазы на корпус электроустановки, корпус окажется под напряжением, в случае отсутствия соединения корпуса с землей, прикосновение к нему также опасно, как и прикосновение к фазе.

Защитное заземление, как мера защиты людей от поражения электрическим током, при возникновении напряжения на нетоковедущих частях электроустановок в результате повреждения изоляции и замыканий на корпус заключается в электрическом соединении корпусов электроустановок с заземляющим устройством. Защитное действие заземления состоит в снижении до безопасных значений напряжения прикосновения и тока протекающего через человека, обусловленных замыканием на корпус.

Эффективность заземления зависит от его сопротивления, чем меньше сопротивление, тем выше его защитная эффективность.

Область применения защитного заземления:

- В трехфазных трехпроводных сетях напряжения до 1000В переменного тока с изолированной нейтралью или изолированным выводом источника однофазного тока, а также в сетях постоянного тока с изолированной средней точкой обмоток источника тока;
- В сетях напряжения выше 1000В переменного и постоянного тока с любым режимом нейтрали или средней точки.

В соответствии с требованиями «Правил устройства электроустановок» заземлению подлежат:

- все электроустановки при напряжении 380В и выше переменного тока и 440В и выше постоянного тока при эксплуатации в любых помещениях;
- наружные электроустановки напряжением 42В и выше переменного тока и 110В и выше постоянного тока, работающих в условиях с повышенной опасностью и в особо опасных условиях;
- электроустановки любого напряжения, работающие во взрывоопасных помещениях.

В заземляющее устройство входит заземлитель (металлический проводник или группа проводников, находящихся в непосредственном соприкосновении с грунтом) и заземляющие проводники, соединяющие заземляемые части электроустановки с заземлителем.

Заземлителем называется металлический проводник или совокупность металлических соединенных между собой проводников, находящихся в соприкосновении с землей.

В зависимости от расположения заземлителей по отношению к заземляемому оборудованию заземления бывают выносные

(сосредоточенные) и контурные (рис.2). Заземлители выносных заземлений располагают сосредоточенно на расстоянии свыше 20 м от заземляемого оборудования, т. е. вне зоны растекания тока замыкания на землю. Заземлители контурного заземления располагают по периметру и внутри площадки, на которой установлено заземляемое оборудование. Все эти заземлители электрически соединены друг с другом.

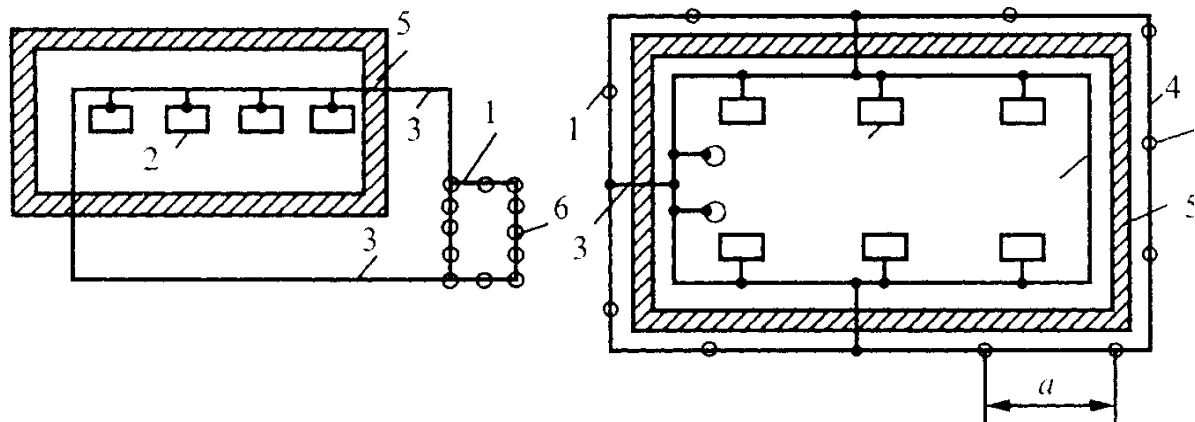


Рис. 2. Схема защитного заземления

1 – заземлители; 2 – электроустановки;
3 – заземляющие проводники
(внутренний контур); 4 – внешний
контур заземления; 5 –
электропомещение или площадка с
размещенным электрооборудованием;
6 – заземлители.

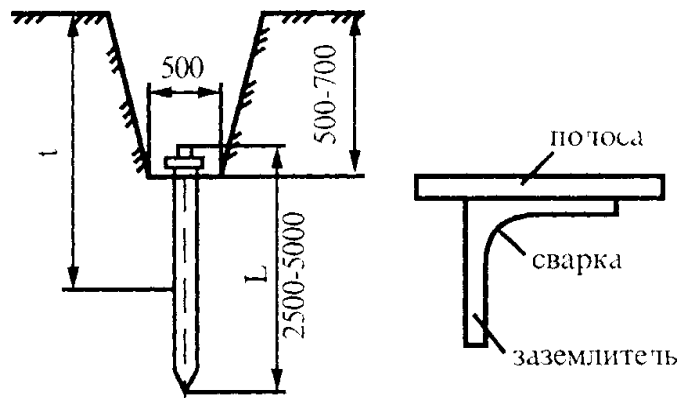


Рис. 3. Заземлители

Заземлители могут быть естественными и искусственными. Искусственные заземлители выполняются в виде электродов. По расположению в грунте и по формам электродов заземлители делятся на углубленные, состоящие из полос или круглой стали, укладываемых глубоко на дно котлована горизонтально по периметру фундаментов, вертикальные, состоящие из электродов, верхний конец которых заглубляется на 0,5-0,7 м от поверхности земли; в качестве их используют стальные вертикальные заложенные стержни диаметром 10-16 мм, (или отрезки стальных труб, различного диаметра), длиной 3-5 м, а также уголковая сталь длиной 2,5-3м (рис.3); горизонтальные (протяженные), состоящие из электродов, применяемых для связи между собой вертикальных заземлителей, соединяемых сваркой. В качестве таких заземлений используется круглая сталь диаметром не менее 10 мм или стальные полосы толщиной не менее 4 мм, сечением 48 мм².

В качестве заземляющих проводников-ответвлений к оборудованию, где по условиям работы не требуются гибкие проводники, применяются медные или алюминиевые проводники. В качестве заземляющих проводников, образующих заземляющую магистраль, применяется полосовая или круглая сталь, сечением порядка 48 мм².

Таблица 1

Минимальные размеры стальных заземлителей и заземляющих проводников, мм

Заземлитель	Место расположения		
	в зданиях	в наружных установках	в земле
Круглые, диаметром, мм	5	6	10
Прямоугольные, сечением, мм ²	24	48	48
Прямоугольные, толщиной, мм ²	3	4	4
Угловая сталь с толщиной полос, мм	2	2,5	4
Стальные водо- газопроводные (некондиционные) трубы с толщиной стенок, мм	2,5	2,5	3,5

Таблица 2

Наименьшие сечения медных и алюминиевых заземляющих проводников в электроустановках напряжением до 1000 В

Проводники	Сечением, мм	
	медь	алюминий
Без изоляции при открытой прокладке	4	6
Изолированные	1,5	2,5
Заземляющие жилы кабелей или многожильных проводов, водящихся в общей защитной оболочке с средними жилами	1	1,5

Заземляющий проводник присоединяется к заземлению сваркой внахлестку не менее чем в двух местах. Длина нахлестки должна быть равна двойной ширине проводника при прямоугольном сечении или круглом шести диаметрам. Болты (винты, шпильки) для крепления заземляющего проводника должны изготавляться из стойкого в отношении коррозии металла. Диаметр болта (винта, шпильки), зависит от номинального тока потребителя: при токе потребителя до 16 А, диаметр болта 4 мм потребителя 250-300 А диаметр болта 10 мм. Нельзя применять для выполнения заземления крепежные детали машин, оборудования.

Таблица 3

Наибольшие допустимые значения сопротивлений заземляющих устройств электроустановок

Характеристика объекта	Сопротивление, Ом
Электроустановки напряжением 110 кВ и выше сетей с эффективным заземлением нейтрали, выполненные по нормам на сопротивление	0,5 0,002·0,5ρ

Электроустановки 3-35 кВ сетей с изолированной нейтралью	250/ I_p^* , но не более 10 Ом 0,002ρ·250/ I_p
Электроустановки сетей напряжением до 1000 В с глухозаземленной нейтралью напряжением: 660/380 В 380/220 В 220/127 В	15** (15·0,01ρ) 30** (30·0,01ρ) 60** (60·0,01ρ)
Электроустановки сетей напряжением до 1000 В с изолированной нейтралью при мощности источника питания: более 100 кВА до 100 кВА	50/ I_p^* , но не более 4 Ом 50/ I_p^* , но не более 10 Ом

* I_p - расчетный ток замыкания на землю, в качестве которого принимается:

в сетях без компенсации емкостного тока замыкания на землю – ток замыкания на землю;

в сетях с компенсацией емкостного тока замыкания на землю:

- для электроустановок, к которым присоединены компенсирующие аппараты, - ток, равный 125% номинального тока наиболее мощного из этих аппаратов;

- для электроустановок, к которым не присоединены компенсирующие аппараты, - ток замыкания на землю, проходящий в данной сети при отключении наиболее мощного из компенсирующих аппаратов.

** - сопротивление заземляющего устройства с учетом повторных заземлений нулевого провода должно быть не более 2, 4 и 8 Ом при линейных напряжениях соответственно 660, 380 и 220 В источника трехфазного тока и напряжениях 380, 220 и 127 В источника однофазного тока.

Таблица 4

Наибольшие допустимые сопротивления заземляющих устройств

Грунт, вода	Удельное сопротивление, Ом·м	Грунт, вода	Удельное сопротивление, Ом·м
Торф	20	Гравий, щебень	2000
Чернозем	30	Каменистый грунт	4000
Садовая земля	50	Скалистый грунт	10^4 - 10^7
Глина	60	Вода морская	0,2-1
Суглинок	100	Вода речная	10-100
Лесс	250	Вода прудовая	40-50
Супесь	300	Вода грунтовая	20-70
Песок	500	Каменный уголь	100-150

Таблица 5

Значение сезонных повышающих коэффициентов K

Данные, характеризующие климатические зоны и тип применяемых электродов	Климатические зоны			
	1	2	3	4
<i>1. Климатические признаки зон</i>				
Средняя температура января	-20...-15	-14...-10	-14...0	0...+5
Средняя температура июля	16-18	18-22	22-24	24-26

Продолжительность замерзания воды, дней	170-190	150	100	0
<i>2. Значения коэффициента K</i>				
При применении вертикальных электродов длиной 3 м и глубиной заложения $t=0,7-0,8$ м	1,65	1,45	1,3	1,1
То же при длине электродов 5 м.	1,35	1,25	1,15	1,1
То же при применении горизонтальных электродов длиной 20 м и $t=0,7-0,8$ м	5,5	3,5	2,5	1,5
То же при длине 50 м.	4,5	3,0	2,0	1,4

Алгоритм расчета заземления

Расчет производится в следующей последовательности:

1. Ознакомиться с рекомендациями по использованию заземляющих устройств и составить эскиз заземляющего устройства.
2. Определить допустимое сопротивление заземляющего устройства - R_3 по таблице 3 или правилам устройства электроустановок
3. Определяется расчетное удельное сопротивление грунта, в котором предполагается размещать электроды заземления, по данным таблиц 4 и 5

$$\rho_{расч} = \rho \cdot k \quad (1)$$

4. В случае возможности использования естественных заземлителей определяется сопротивление току растекания этих заземлителей R_e путем измерения или расчетным путем.

5. Определяется предварительно конфигурация заземлителя (в ряд, прямоугольник и т. п.) с учетом возможности размещения его на отведенной территории, участке.

6. Выбирается тип и размеры заземлителей - вертикальных электродов и соединительной полосы или протяженных заземлителей или других.

7. Определяется сопротивление растеканию тока с одного заземлителя $R_1=R_b$ по соответствующим формулам таблицы 6 (в формулу подставляется $\rho_{расч}$ вместо ρ).

8. Определяется требуемое сопротивление искусственного заземляющего устройства по формуле

9.

$$R_{ump} = \frac{R_e \cdot R_3}{R_e - R_3} \quad (2)$$

10. Определим, предварительно, необходимое количество вертикальных заземлителей по формуле

$$n = \frac{L_r}{a} \quad (3)$$

где L_r – длина горизонтального электрода, м; a – расстояние между вертикальными заземлителями, которое может быть равно одной, двум или трем длинам вертикальных заземлителей $a = (1 \div 3)L_B$ (рис.2).

Таблица 6

Формулы для вычисления сопротивления единичных заземлителей

Тип заземлителя	Схема	Формула	Условия применения
1	2	3	4
1. Полушаровой у поверхности земли		$R = \frac{\rho}{\pi \cdot d}$	-
2. Шаровой в земле		$R = \frac{\rho}{2\pi \cdot d} \left(1 + \frac{D}{4t} \right)$	$2 \cdot t > > d$
3. Трубчатый или стержневой у поверхности земли		$R = \frac{\rho}{2\pi L} \ln \frac{4L}{d}$	$L >> d$ Для уголка с шириной b $d=0,95 \cdot b$
4. То же в земле		$R = \frac{\rho}{2\pi L} \left(\ln \frac{2L}{d} + \frac{1}{2} \ln \frac{4t+L}{4t-L} \right)$ или приближенно $R = \frac{\rho}{2\pi L} \ln \frac{4L}{d}$	$L >> d, t \geq 0,5 \text{ м}$ Для уголка с шириной b $d=0,95 \cdot b$
5. Протяженный на поверхности земли (труба, стержень, кабель)		$R = \frac{\rho}{\pi L} \ln \frac{2L}{d}$	$L >> d$ Для колонны: $d=0,5 \cdot b$ b – ширина полосы
6. Протяженный в земле (труба, стержень, кабель)		$R = \frac{\rho}{2\pi L} \ln \frac{2L^2}{dt}$	$L >> d$ $L >> 4t$ Для колонны $d=0,5 \cdot b$

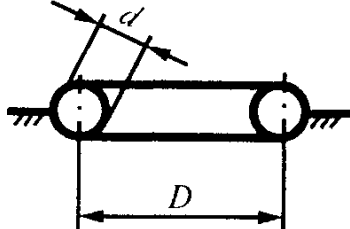
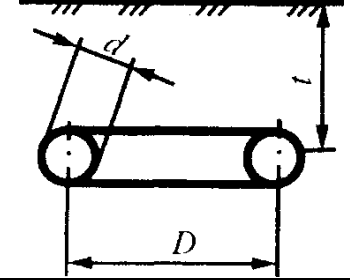
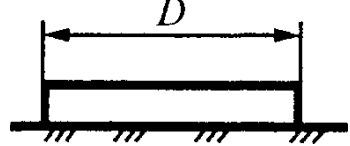
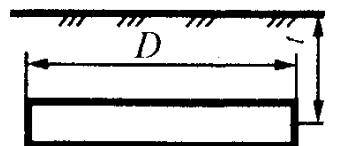
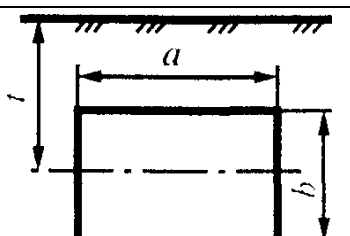
7. Кольцевой круглого сечения на поверхности земли		$R = \frac{\rho}{2\pi^2 D} \ln \frac{8D}{d}$	Для полосы шириной b : $d=0,5 \cdot b$ $D \gg d$
8. Кольцевой круглого сечения в земле		$R = \frac{\rho}{2\pi^2 D} \ln \frac{4\pi D^2}{dt}$ или приближенно $R = \frac{\rho}{2\pi^2 D} \ln \frac{8D}{d}$	$D \gg d$ $D \gg 2t$ Для полосы шириной b : $d=0,5 \cdot b$
9. Круглая пластина на поверхности земли		$R = \frac{\rho}{2D}$	$2t \gg d$
10. То же в земле		Приближенно (погрешность 30%): $R = \frac{\rho}{2D}$	-
11. Пластинчатый в земле (пластина поставлена на ребро)		Приближенно: $R = \frac{\rho}{4\sqrt{a \cdot b}}$	$t = \sqrt{\frac{a \cdot b}{\pi}}$
Примечание: В формулах ρ – удельное сопротивление грунта, Ом·м.			

Таблица 7

Коэффициенты использования η_ε вертикальных электродов группового заземления (труб, уголков и т. п.) без учета влияния полосы связи

Число заземлителей n	Отношение расстояний между электродами к их длине					
	1	2	3	1	2	3
	электроды размещены в ряд (рис.4а)			электроды размещены по контуру (рис.4б)		
9	0,85	0,91	0,94	-	-	-
4	0,73	0,83	0,89	0,69	0,78	0,85
6	0,65	0,77	0,85	0,61	0,73	0,80
10	0,59	0,74	0,81	0,56	0,68	0,76
20	0,48	0,67	0,76	0,47	0,63	0,71
40	-	-	-	0,41	0,58	0,66
60	-	-	-	0,39	0,55	0,64
100	-	-	-	0,36	0,52	0,62

Таблица 8

Коэффициенты использования η_z вертикальных электродов группового

заземления (труб, уголков и т. п.) без учета влияния полосы связи

Отношение расстояний между вертикальными электродами к их длине	Число вертикальных электродов							
	2	4	6	10	20	40	60	100
<i>Вертикальные электроды размещены в ряд (рис.4а)</i>								
1	0,85	0,77	0,72	0,62	0,42	-	-	-
2	0,94	0,80	0,84	0,75	0,56	-	-	-
3	0,96	0,92	0,88	0,82	0,68	-	-	-
<i>Вертикальные электроды размещены по контуру (рис.4б)</i>								
1	-	0,45	0,40	0,34	0,27	0,22	0,20	0,19
2	-	0,55	0,48	0,40	0,32	0,29	0,27	0,23
3	-	0,70	0,64	0,56	0,45	0,39	0,36	0,33

Таблица 9

Коэффициенты использования $\eta_{z.p.}$ параллельно уложенных горизонтальных полосовых электродов группового заземлителя (ширина полосы $b=20\text{ч}40\text{мм}$, глубина заложения $t_0=0,3\text{-}0,8\text{м}$) (рис.4в)

Длина каждой полосы, м	Число параллельных полос	Расстояние между параллельными полосами, м				
		1	2,5	5	10	15
1	2	3	4	5	6	7
15	2	0,63	0,75	0,83	0,92	0,96
	5	0,37	0,49	0,60	0,73	0,79
	10	0,25	0,37	0,49	0,64	0,72
	20	0,16	0,27	0,39	0,57	0,64
25	5	0,35	0,45	0,55	0,66	0,73
	10	0,23	0,31	0,43	0,57	0,66
	20	0,14	0,23	0,33	0,47	0,57
50	2	0,60	0,69	0,78	0,88	0,93
	5	0,33	0,40	0,48	0,58	0,65
	10	0,20	0,27	0,35	0,46	0,53
	20	0,12	0,19	0,25	0,36	0,44

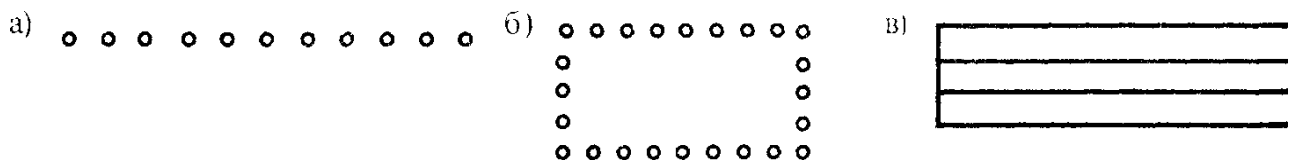


Рис.4. Способы размещения электродов группового заземлителя (вид в плане) а – вертикальные электроды размещены в ряд; б – вертикальные электроды размещены по контуру; в – горизонтальные электроды уложены параллельно друг другу на одинаковой глубине

11. Определяется сопротивление $R_2=R_g$ растеканию тока горизонтального электрода по соответствующей формуле табл. 6 (в формулу подставляется вместо ρ вместо $\rho_{расч}$).

12. Определяется сопротивление растеканию тока искусственных заземлителей:

$$R_u' = \frac{R_e \cdot R_e}{R_e \cdot \eta_e + R_e \cdot \eta_e \cdot n} \quad (5)$$

где η_e – коэффициент использования горизонтального электрода с учетом вертикальных электродов, определяется по табл.8; η_e – коэффициент использования вертикальных электродов (по табл. 7); n – число вертикальных электродов.

Полученное сопротивление искусственных электродов не должно превышать требуемое сопротивление

$$R_u' < R_{ump} \quad (6)$$

Если это условие не удовлетворяется, то необходимо выбрать другие параметры заземлителей или изменить их количество и провести перерасчет.

13. При отсутствии естественных заземлителей R_e пункты 3 и 7 опускаются и условие (6) принимает вид

$$R_u' < R_{don} = R_h \quad (7)$$

14. Сопротивление заземления состоит из суммы сопротивления заземлителей растеканию тока и сопротивления заземляющих проводников:

$$R_s = R_s' + R_{np} \quad (8)$$

Сопротивление проводников R_{np} учитывается при большой протяженности проводников (несколько десятков метров).

Сопротивление заземления не должно превышать допустимого значения

$$R_s < R_h = R_{don} \quad (9)$$

В противном случае требуется изменить параметры заземлителей и провести перерасчет.

В заключение расчета приводится схема размещения заземлителей, например, как это показано на рис.5.

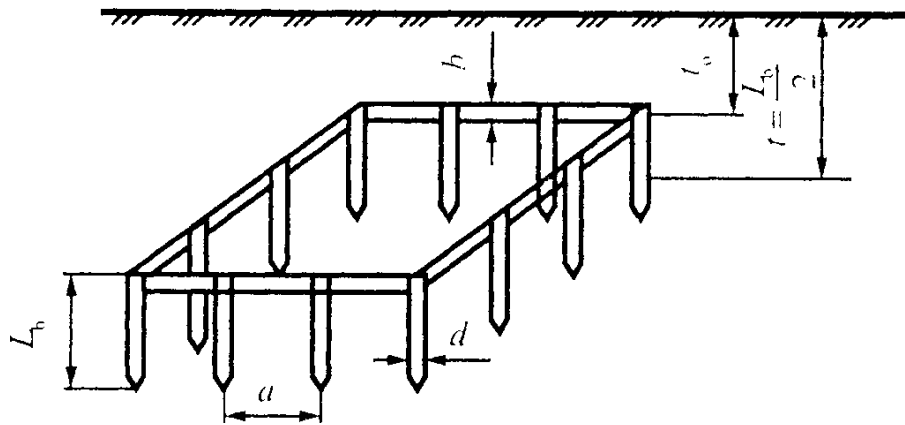


Рис.5. Пример схемы размещения заземлителей при контурном заземлении

Пример расчета

Задание: Рассчитать сопротивление защитного заземления для электропитающей установки мощностью 35кВт, распределяющей энергию напряжением 380/220В. Электропитающая установка размещена на первом этаже производственного здания, имеющего металлические конструкции, имеющего хороший контакт с землей. Желательно, чтобы заземляющее устройство включало в себя естественные заземлители, сопротивление растеканию тока, которых $R_e=20\Omega$. Здание имеет периметр 70 м. Грунт - суглинок. Производственное здание размещено во второй климатической зоне.

Решение: 1. Требуемое сопротивление защитного заземления в соответствии с таблицей 3 не должно превышать $R_s=R_h=4 \Omega$.

2. Определяем расчетное удельное сопротивление грунта в соответствии с данными таблиц 4 и 5: $\rho_{расч} = \rho \cdot k = 100 \cdot 1,45 = 145 \Omega \cdot \text{м}$.

3. Принимаем сопротивление естественных заземлителей равным $R_e = 20\Omega$.

4. Определяем предварительно конфигурацию заземлителя (в ряд. прямоугольник, и т. п. в соответствии с рис.4) с учетом возможности размещения его на отведенной территории участка. Выбираем контурное размещение заземлителей. Контурный заземлитель размещается по периметру здания, длина которого $L_p=70 \text{ м}$.

5. В качестве искусственных вертикальных заземлителей выбираем стальные стержни длиной $L=2,5\text{м}$, диаметром $d = 12\text{мм}$, верхние концы которых соединяются стальной полосой сечением $20 \times 4 \text{мм}^2$, уложенной в грунт (суглинок), при глубине заложения $t_0=0,5 \text{ м}$.

6. Определяем сопротивление растеканию тока с одного заземлителя R_1 по соответствующей формуле, приведенной в табл. 6.:

$$R_1 = \frac{\rho_{расч}}{2\pi L} \left(\ln \frac{2L}{d} + \frac{1}{2} \ln \frac{4t + L}{4t - L} \right) = \frac{145}{2 \cdot 314} \left(\ln \frac{2 \cdot 2,5}{0,012} + \frac{1}{2} \ln \frac{4 \cdot 1,75 + 2,5}{4 \cdot 1,75 - 2,5} \right) = 55 \Omega.$$

7. Определяем требуемое сопротивление искусственного заземляющего устройства: $R_{ump} = \frac{R_e \cdot R_3}{R_e - R_3} = \frac{20 \cdot 4}{20 - 4} = 5 \text{ Ом.}$

8. Определим предварительно необходимое количество вертикальных заземлителей n , приняв расстояние между ними $\alpha = 2L = 2 \cdot 2,5 = 5 \text{ м}$, $n = \frac{L_e}{\alpha} = \frac{70}{5} = 14 \text{ штук.}$

$$\alpha = 5$$

9. Определяем сопротивление растеканию тока с горизонтального заземлителя по формуле, приведенной в табл. 6:

$$R_e = \frac{\rho_{pac}}{2\pi L_e} \ln \frac{2L_e^2}{0,5b \cdot t_0} = \frac{140}{2 \cdot 3,14 \cdot 70} \ln \frac{2 \cdot 70^2}{0,5 \cdot 0,0004 \cdot 0,5} = 6 \text{ Ом}$$

10. Коэффициент использования вертикальных и горизонтальных электродов определяем по табл. 7 и 8, соответственно с учетом интерполяции $\eta_e = 0,66$ и $\eta_g = 0,36$.

11. Сопротивление растеканию группового искусственного заземлителя определяем по формуле $R_u' = \frac{R_e \cdot R_g}{R_e \cdot \eta_e + R_g \cdot \eta_g \cdot n} = \frac{55 \cdot 6}{55 \cdot 0,36 + 6 \cdot 0,66 \cdot 14} = 4,4 \text{ Ом.}$

12. Общее сопротивление (действительное) заземляющего устройства $R_{3y} = \frac{R_e \cdot R_u'}{R_e + R_u'} = \frac{20 \cdot 4,4}{20 + 4,4} = 3,66 \text{ Ом}$, что меньше требуемого по ГОСТ 12.1.030-81*.

Порядок выполнения работы

1. Получить задание преподавателя и необходимые исходные данные для расчета. Недостающие исходные данные принять самостоятельно.
2. Познакомиться с принципом действия, порядком расчета защитного заземления.
3. Выполнить расчет защитного заземления.
4. Привести схему размещения заземлителей.
5. Оформить отчет.
6. Ответить на контрольные вопросы.

Варианты заданий

Задача 1. Используя алгоритм расчета защитного заземления рассчитать сопротивление защитного заземления для электропитающей установки мощностью 10кВт, распределяющей энергию напряжением 380/220В. Электропитающая установка размещена в одноэтажном производственном здании, имеющем металлические конструкции и хороший контакт с землей. Заземляющее устройство включает в себя естественные заземлители, сопротивление растеканию тока которых $R_e=30\text{Ом}$. Здание имеет периметр 100

м. Вид грунта и климатическая зона принимаются для расчета по вариантам табл.10.

Задача 2. Определить сопротивление естественного заземлителя, используемого для сооружения заземляющего устройства электроустановки мощностью 100кВ·А и напряжением 1кВ. В качестве заземлителя используется горизонтальный трубопровод длиной 100м, диаметром 245мм, пролегающий на глубине 0,5м от поверхности земли. Заземлитель расположен в однородном грунте (вид грунта и климатическая зона принимаются по табл.10). Сравнить сопротивление естественного заземлителя (R_e) с наибольшим допустимым сопротивлением заземляющего устройства (R_h) по условию $R_e \leq R_h$. Сделать вывод о эффективности применения данного заземлителя.

Задача 3. Определить сопротивление естественного заземлителя, используемого для сооружения заземляющего устройства электроустановки мощностью 100кВ·А и напряжением 1кВ. В качестве заземлителя используется вертикальный трубопровод, расположенный в земле, длиной 30 м, диаметром 325 мм. Расстояние от поверхности земли до верхнего края трубопровода 0,4м. Заземлитель расположен в однородном грунте (вид грунта и климатическая зона принимаются по табл.10). Сравнить сопротивление естественного заземлителя (R_e) с наибольшим допустимым сопротивлением заземляющего устройства (R_h) по условию $R_e \leq R_h$. Сделать вывод о эффективности применения данного заземлителя.

Задача 4. Определить сопротивление естественного заземлителя, используемого для сооружения заземляющего устройства электроустановки мощностью 100кВ·А и напряжением 1кВ. В качестве заземлителя используется железобетонная плита на поверхности земли размером 3,5x5м. Сравнить сопротивление естественного заземлителя (R_e) с наибольшим допустимым сопротивлением заземляющего устройства (R_h) по условию $R_e \leq R_h$. Сделать вывод о эффективности применения данного заземлителя.

Задача 5. Определить сопротивление естественного заземлителя, используемого для сооружения заземляющего устройства электроустановки мощностью 100кВ·А и напряжением 1кВ. В качестве естественного заземлителя используется железобетонная свая. Глубина залегания в землю 1,5м. Свая прямоугольного сечения с размерами сторон 300x400мм. Сравнить сопротивление естественного заземлителя (R_e) с наибольшим допустимым сопротивлением заземляющего устройства (R_h) по условию $R_e \leq R_h$. Сделать вывод о эффективности применения данного заземлителя.

Задача 6. Используя алгоритм расчета защитного заземления рассчитать сопротивление защитного заземления для электропитающей установки мощностью 35кВт, распределяющей энергию напряжением 380/220В. Электропитающая установка размещена в одноэтажном производственном здании, имеющем металлические конструкции и хороший контакт с землей. Естественные заземлители отсутствуют. Здание имеет периметр 200 м. Вид грунта и климатическая зона принимаются для расчета по вариантам табл.10.

Таблица 10**Исходные данные для расчета защитного заземления**

<i>Вариант</i>	<i>Вид грунта</i>	<i>Климатическая зона</i>
1.	Чернозем	IV
2.	Садовая земля	II
3.	Глина пластинчатая	III
4.	Суглинок полутвердый	I
5.	Песок	II
6.	Гравий	II
7.	Щебень	I
8.	Почва	II
9.	Глина полутвердая	I
10.	Супесь	II
11.	Песок	I
12.	Каменистый грунт	III
13.	Скалистый грунт	IV
14.	Торф	I
15.	Лесс	II
16.	Гравий	III
17.	Щебень	IV
18.	Песок	III
19.	Чернозем	III
20.	Каменистый грунт	I
21.	Песок	IV
22.	Гравий	I
23.	Каменный уголь	II
24.	Почва	III
25.	Глина пластинчатая	I

Контрольные вопросы

1. Что такое защитное заземление?
2. Назначение, область применения защитного заземления.
3. Принцип действия защитного заземления.
4. Что собой представляет заземляющее устройство?
5. Перечислите типы заземляющих устройств.
6. Каков порядок расчета защитного заземления?
7. В каком случае заземление является эффективным?

Практическая работа № 4 ЗАЩИТНОЕ ЗАНУЛЕНИЕ

Цель работы: Изучить принцип действия и методику расчета защитного зануления.

Основные понятия

Защитное зануление – преднамеренное электрическое соединение с нулевым поводом металлических нетоковедущих частей, которые могут оказаться под напряжением, в случае пробоя электрической изоляции.

Принцип действия зануления – это превращение замыкания на корпус токоведущих частей на корпус электроустановки в однофазное короткое замыкание (т.е. между фазным и нулевым защитным проводниками) с целью вызвать большой ток, способный обеспечить срабатывание защиты, и тем самым отключить поврежденную электроустановку от питающей сети (рис.1).

Область применения – трехфазные четырехпроводные сети до 1000 В с заземленной нейтралью. Зануление применяется в однофазных сетях переменного тока с заземленным нулевым проводом.

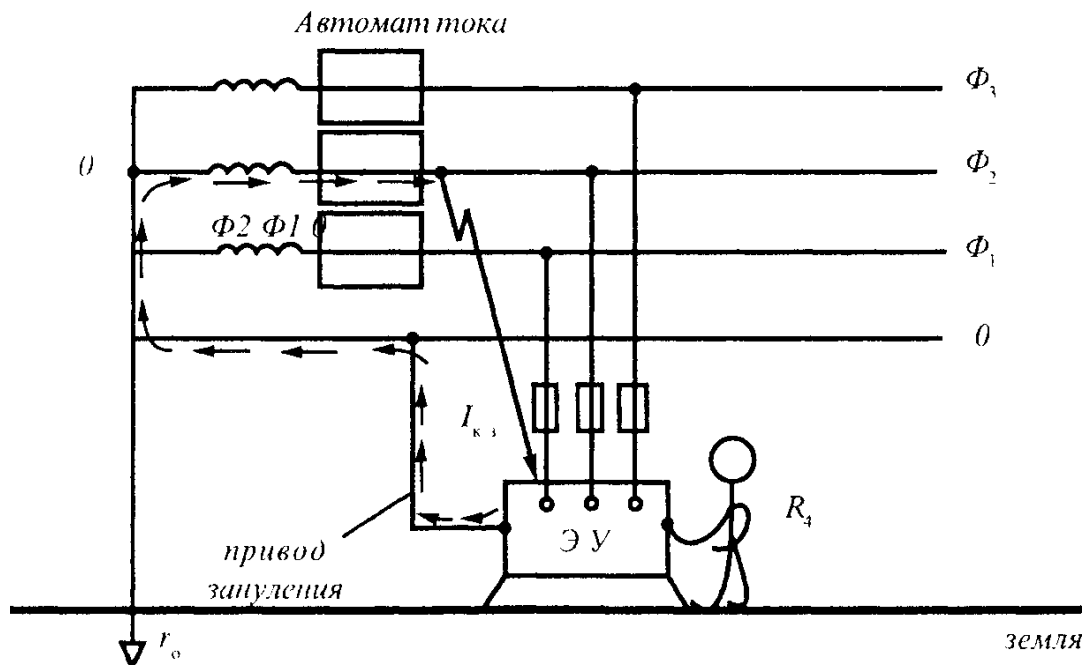


Рис.1. Принцип действия защитного зануления

В случае аварии ток короткого замыкания проходит по "петле": фазный провод "2" – металлический корпус электроустановки – провод зануления – нулевой провод – нейтральная точка трансформатора "0" – вторичная обмотка трансформатора – фазный провод 2.

Ток короткого замыкания определяется по формуле

$$I_{k3} = \left(\frac{U_\phi}{Z_T + Z_\phi + Z_{h,3} + jx_n} \right) \quad (1)$$

где $Z_T, Z_\phi, Z_{h,3}$ – комплексы полных сопротивлений трансформатора, фазного и пулевого защитного проводника, соответственно, Ом; jx_n – индуктивное сопротивление проводников петли фазы–нуль, Ом.

Полное сопротивление петли фазы–нуль не более 1Ом, тогда I_{k3} будет порядка 400А и при таких токах токовая защита срабатывает мгновенно, так как срабатывают автоматы тока и отключают поврежденный участок.

На рис. 2 показана схема устройства защитного зануления.

Алгоритм расчета зануления

Расчет производится на отключающую способность защитного зануления. При замыкании фазы на зануленный корпус электроустановка автоматически отключается, если значение тока однофазного короткого замыкания удовлетворяет условию:

$$I_{k3o} \geq kI_{nom} \quad (2)$$

где I_{nom} – номинальный ток плавкой вставки предохранителя или ток срабатывания автоматического выключателя, А;

k – коэффициент кратности тока, определяется по табл. 1.

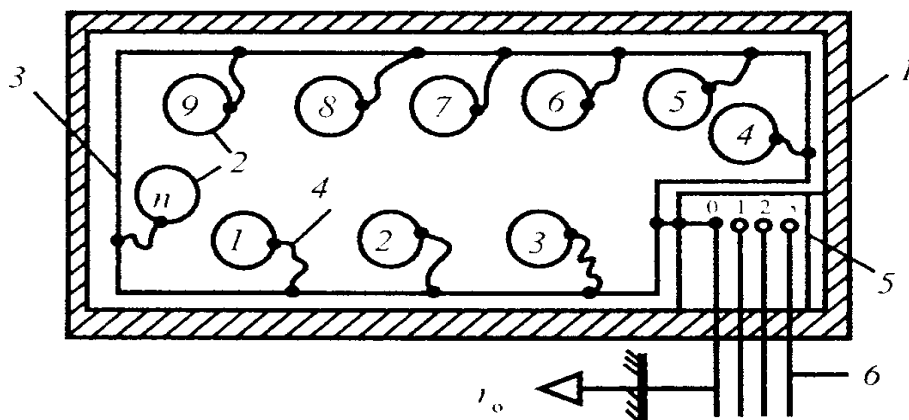


Рис. 2. Схема устройства защитного зануления

1 – производственное помещение; 2 – электроустановки; 3 – внутренний контур (магистраль зануления) из стали; 4 – гибкие медные проводники; 5 – силовой щит (распределительный щит); 6 – силовой кабель.

Таблица 1

Значение коэффициента k

Тип защиты электроустановки	k
Автоматический выключатель, имеющий только электромагнитный расцепитель, то есть который срабатывает без выдержки времени.	1,25-1,4
Плавкий предохранитель.	>3
Плавкий предохранитель (во взрывоопасных помещениях).	>4
Автоматический выключатель с обратно зависимой от тока характеристикой (как предохранитель).	>3
Автоматический выключатель с обратно зависимой от тока характеристикой (во взрывоопасных помещениях).	>6

Номинальный ток плавкой вставки $I_{ном} = I_{пл.вст.}^h$ (табл.2) должен соответствовать условию

$$I_{пл.вст.}^h < I_{ном} = I_{ном.mp.} \quad (3)$$

где I – номинальный ток трансформатора, определяемый по формуле

$$I_{ном.mp.} = \frac{P_{ном}}{3 \cdot U_{\phi}} \quad (4)$$

где $P_{ном}$ – номинальная мощность трансформатора, кВА; U_{ϕ} – фазное напряжение, В.

Таблица 2

Значения $I_{пл.вст.}^h$ стандартных предохранителей для сетей напряжением 220 и 380 В

Тип предохранителя	Номинальный ток плавкой вставки $I_{пл.вст.}^h$, А
НПИ 15	6; 10; 15
НПН 60М	20; 25; 35; 45; 60
ПН-2-100	30; 40; 50; 60; 80; 100
ПН-2-250	80; 100; 120; 150; 200; 250
ПН-2-400	200; 250; 300; 350; 400
ПН-2-600	300; 400; 500; 600
ПН-2-1000	500; 600; 750; 800; 1000

Значение тока короткого замыкания $I_{кз}$ зависит от U_{ϕ} , и сопротивления цепи и определяется по формуле (1) и (2).

Расчетная формула вытекает из выражений (1) и (2) и имеет вид:

$$\kappa \cdot I_{ном} = \frac{U_{\phi}}{\left(\frac{Z_T}{3} + \sqrt{(R_{\phi} + R_{h.n.})^2 + (X_{\phi} + X_{h.n.} + X_n)^2} \right)} \quad (5)$$

где $R_\phi + R_{n.n.}$ – активные сопротивления фазного и н н проводников соответственно, Ом; $X_\phi + X_{n.n.}$ – внутренние индуктивные сопротивления проводников, соответственно, Ом; X_n – внешнее индуктивное сопротивление петли фаза-нуль.

Сечение нулевого защитного проводника и его материал принимаются заранее из условия:

$$Z_{n.n.} < 2Z_\phi \quad (6)$$

Согласно ПУЭ

$$I_{k3} > k \cdot I_{nom} \quad (7)$$

В качестве нулевых защитных проводников ПУЭ рекомендуют применять голые или изолированные проводники, металлические конструкции зданий и сооружений, трубы электропроводок, трубопроводы.

Значения Z_T , Ом, зависят от мощности трансформатора, напряжения принимаются по табл. 3 или табл. 4.

Таблица 3
Приближенные расчетные полные сопротивления Z_T , Ом,
масляных трансформаторов

Мощность трансформатора, кВ·А	Номинальное напряжение обмоток высшего напряжения, кВ	Z_T, Ом при схеме соединения обмоток	
		У/У_н	Д/У_н и У/З_н
25	6-10	3,110	0,906
40	6-10	1,949	0,562
63	6-10	11,237	0,360
	20-35	1,136	0,407
100	6-10	0,799	0,226
	20-35	0,764	0,327
160	6-10	0,487	0,141
	20-35	0,478	0,203
250	6-10	0,312	0,090
	20-35	0,305	0,130
400	6-10	0,195	0,056
	20-35	0,191	-
630	6-10	0,129	0,042
	20-35	0,121	-
1000	6-10	0,081	0,027
	20-35	0,077	0,032
1600	6-10	0,054	0,017
	20-35	0,051	0,020

Примечание. Данные таблицы относятся к трансформаторам с обмотками низшего напряжения 400/230 В. При низшем напряжении 230/127 В значения сопротивлений, приведенные в таблице, необходимо уменьшить в 3 раза.

Таблица 4
**Условные расчетные сопротивления трансформаторов,
 приведенных к напряжению 400В**

<i>Мощность трансформатора, кВ·А</i>	<i>20</i>	<i>30</i>	<i>50</i>	<i>100</i>	<i>180</i>	<i>320</i>	<i>560</i>
$Z_T /_3, \Omega$	1,44	1,11	0,682	0,358	0,203	0,117	0,067

Значения $R_\phi + R_{uz}$ (Ом) определяются по известным данным – сечению, длине, материалу проводника. При этом для проводников из цветных металлов:

$$R = (\rho \cdot L) / S \quad (8)$$

где ρ – удельное сопротивление проводника, Ом·мм²/м (для меди $\rho = 0,018$ Ом·мм²/м, для алюминия $\rho = 0,028$ Ом·мм²/м); L – длина проводника, м; S – сечение проводника, мм².

Активное сопротивление стальных проводников определяется по табл. 5, в Ом/км.

Для этого необходимо знать профиль и сечение проводника, его длину, ожидаемое значение тока короткого замыкания I_{kzo} , который будет проходить по этому проводнику в аварийный период, а также плотность тока, которая определяется по формуле (9).

$$\delta = I_{kzo} / S \quad (9)$$

где δ – плотность тока, А/мм²; I_{kzo} – ожидаемый ток короткого замыкания, А; $I_{kzo} S$ – сечение проводника, мм².

Для определения значений активного и индуктивного сопротивлений проводников необходимо провести вычисления по формулам (10) и (11)

$$R = r_\omega \cdot L_n \quad (10)$$

$$R = X_\omega / L_n \quad (11)$$

где r_ω и X_ω – сопротивления стальных проводников, определенных по табл. 5; L_n – длина проводника, км.

В приближенных расчетах индуктивное сопротивление петли фаза-нуль X_n принимают равным 0,3Ом/км для внутренней проводки и 0,6Ом/км для воздушной линии. При короткой линии или малом расстоянии между проводами, или если проводка выполнена кабелем или в стальных трубах, индуктивным сопротивлением пренебрегать из-за его малости.

Таблица 5
Активные r и индуктивные X сопротивления стальных проводников
при переменном токе (50 Гц), Ом/км

Размер или диаметр сечения, мм	Сечение e , $S \text{мм}^2$	Плотность тока 5, А/мм ²							
		0,5		1,0		1,5		2,0	
		r_ω	X_ω	r_ω	X_ω	r_ω	X_ω	r_ω	X_ω
<i>Полосы прямоугольного сечения</i>									
20x4	80	5,24	3,14	4,20	2,52	3,48	2,09	2,97	1,78
30x4	120	3,66	2,20	2,91	1,75	2,38	1,43	2,04	1,22
30x5	150	3,38	2,03	2,56	1,54	2,08	1,25	-	-
40x4	160	2,80	1,68	2,24	1,34	1,81	1,09	1,54	0,92
50x4	200	2,28	1,37	1,79	1,07	1,15	0,87	1,24	0,74
50x5	250	2,10	1,26	1,60	0,96	1,28	0,77	-	-
60x5	300	1,77	1,06	1,34	0,80	1,08	0,63	-	-
<i>Проводники круглого сечения</i>									
5	19,63	17,0	10,2	14,4	8,65	12,4	7,45	10,7	6,4
6	20,27	13,7	8,20	11,2	6,70	9,4	5,65	8,0	4,8
8	50,27	9,60	5,75	7,5	4,50	6,4	3,84	5,3	3,2
10	78,54	7,20	4,32	5,4	3,24	4,2	2,52	-	-
12	113,1	5,60	3,36	4,0	2,40	-	-	-	-
14	150,9	4,55	2,73	3,2	1,92	-	-	-	-
16	201,1	3,72	2,23	2,7	1,60	-	-	-	-

Значения X_ϕ и $X_{n.p.}$ для медных и алюминиевых проводников сравнительно мало (около 0,0156 Ом/км), поэтому ими, как правило, можно пренебречь.

Значение $R_\phi + R_{n.p.}$, Ом, для провода круглого сечения диаметром D , м и длиной $L=1$ км, проложенной в воздушной среде, определяется по формуле (12)

$$X_n = 0,1256 \ln \frac{2D}{d} \quad (12)$$

где D – расстояние между проводами, м; d – диаметр провода, м.

При малых значениях D , соизмеримых с диаметром проводов, сопротивление $X_n < 0,1$ Ом/км можно пренебречь.

Алгоритм расчета зануления

- Вычисляем номинальный ток I_{nom} по формуле (4).
- Определяем коэффициент кратности тока k по табл. 1.

3. Если не задан номинальный ток плавкой вставки $I_{пл.вст.}^h$, то выбираем его значение по табл.2 таким образом, чтобы выполнялось неравенство (3).
4. Определяем ожидаемый ток короткого замыкания I_{k3} по формуле (2).
5. Определяем полное сопротивление трансформатора Z_T по табл.3 и 4.
6. Определяем проводник (магистраль), зануление и его длину, профиль, материал, если это не дано в условиях задачи.
7. Вычисляем значение активного сопротивления фазных проводников R_ϕ по формуле (8).
8. Вычисляем значение активного сопротивления нулевого проводника $R_{n.n.}$ по табл.5 и формуле (10).
9. Вычисляем значение индуктивного сопротивления фазных проводов X_ϕ по табл.5 и формуле (11), если они стальные. Если фазные проводники медные или алюминиевые, то принимаем $X_\phi = 0$.
10. Вычисление значения индуктивного сопротивления нулевого проводника $X_{n.n.}$ по табл.5 и формуле (11).
11. Вычисляем значение индуктивного сопротивления "петли фаза-нуль" X_n по формуле (12).
12. Проверяем, выполняется ли неравенство (5), если оно выполняется, то плавкая вставка или автомат тока сработают и отключат поврежденный участок, в противном случае необходимо произвести перерасчет.
13. Выбираем тип предохранителя по табл. 2 (если он не задан).

Пример расчета

Задание. Проверить отключающую способность зануления электропитающей установки механического цеха, которая получает электроэнергию от трансформатора D/Y_u ($\Delta/\lambda.$) напряжением 10/0,4 кВ, мощностью $P=25\text{kV}\cdot\text{A}$. Расстояние от трансформатора до места расположения потребителей энергии $L=250\text{м}$ (0,25км). Потребитель энергии защищен плавкими вставками.

В качестве фазных проводов используется кабель с медными жилами диаметром $d=3,56\text{мм}$ и сечением 10мм^2 . Нулевой провод выполнен из стальной шины сечением $S_{n.n.}=20\times 4 \text{ мм}^2$ и проложен на расстоянии $D=50\text{см}$ от кабеля.

Решение. 1. Вычисляем номинальный ток $I_{ном}$ по формуле (4)

$$I_{ном.тр.} = \frac{P_{ном}}{3 \cdot U_\phi} = \frac{25000}{660} = 37,8\text{А}$$

2. Определяем коэффициент кратности тока k по табл.1. $k=3$.

1. Выбираем номинальный ток плавкой вставки по табл.2 с учетом выражений (3) и (4): $I_{пл.вст.}^h < I_{ном} = I_{ном.тр.}$.

В нашем случае подходит номинальный ток плавкой вставки $I_{пл.вст.}^h = 35$

A.

2. Определяем ожидаемый ток короткого замыкания
 $I_{k3o} \geq kI_{nom} = 3 \cdot 37,8 \text{ A} = 113,4 \text{ A}$.

3. Определяем полное сопротивление трансформатора Z_T по табл.3
 $Z_T = 0,906 \text{ Ом}$.

4. Определяем проводник (магистраль), зануление и его длину. В нашем случае это стальная шина сечением $S_{cm} = 20 \times 4 \text{ мм}^2$ и длиной $L_n = 250 \text{ м}$ ($0,25 \text{ км}$).

5. Вычисляем значение активного сопротивления фазных проводников R_ϕ по формуле (8)

$$R_\phi = \frac{(\rho \cdot L_n)}{S} = \frac{(0,018 \cdot 250)}{10} = 0,45 \text{ Ом}$$

6. Вычисляем значение активного сопротивления нулевого проводника $R_{n.n.}$. Для этого предварительно определяем плотность тока короткого замыкания S по формуле (9):

$$\delta = \frac{I_{k3o}}{S} = \frac{113,4}{80} = 1,42 \text{ A/мм}^2$$

По этой плотности тока по табл.5 находим $r_\omega = 3,53 \text{ Ом/км}$.

По формуле (10) вычисляем значение $R_{n.n.} = r_\omega \cdot L_n = 3,48 \cdot 0,25 = 0,87 \text{ Ом}$.

7. Вычисляем значение индуктивного сопротивления фазного проводника. Так как фазные проводники сделаны из меди, то их индуктивное сопротивление мало и им можно пренебречь. $X_\phi = 0$.

8. Вычисляем значение индуктивного сопротивления нулевого проводника X_{nn} , аналогично вычислению $R_{n.n.}$

$$X_\omega = 2,09 \text{ Ом/км}; X_{n.n.} = X_\omega \cdot L_n = 2,09 \cdot 0,25 = 0,52 \text{ Ом}.$$

9. Вычисляем значение индуктивного сопротивления "петли фаза-нуль" X_n по формуле (12)

$$X_n = \frac{0,1256 \ln 2D}{L} = 0,1256 \ln((2 \cdot 50 \cdot 100)/3,56) = 0,66 \text{ Ом/км};$$

$$X_n = L_n \cdot X_n = 0,66 \cdot 0,25 = 0,16 \text{ Ом}.$$

10. Проверяем, выполняется ли неравенство (2) или (3)

$$\begin{aligned} \kappa I_{nom} < I_{k3.} &= \frac{U_\phi}{\left(\frac{Z_T}{3} + \sqrt{\left(R_\phi + R_{n.n.} \right)^2} \right) \left(X_\phi + X_{n.n.} + X_n \right)^2} = \\ &= \frac{200}{\left(\frac{0,906}{3} + \sqrt{\left(0,45 + 0,88 \right)^2} \right) \left(0 + 0,53 + 0,16 \right)^2} = 120 \text{ А.} \end{aligned}$$

Действительные значения токов короткого замыкания больше ожидаемого тока короткого замыкания, т.е. $I_{k3} > 3I_{nom}$ ($120 \text{ А} > 113 \text{ А}$). Отключающая способность системы обеспечена.

11. Тип предохранителя подбираем по табл.2. Выбираем предохранитель типа НПН-60М на номинальный ток плавкой вставки $I_{пл.вст.}^h = 35 \text{ А}$.

Порядок выполнения работы

1. Получить задание преподавателя и необходимые исходные данные для расчета. Недостающие исходные данные принять самостоятельно.
2. Познакомиться с принципом действия, порядком расчета зануления.
3. Проверить отключающую способность зануления электропитающей установки деревообрабатывающего цеха, которая получает электроэнергию от трансформатора $D/Y_u (\Delta/\lambda)$ напряжением 10/0,4кВ, мощностью P . Расстояние от трансформатора до места расположения потребителей энергии L . Потребитель энергии защищен плавкими вставками.
В качестве фазных проводов используется кабель с алюминиевыми жилами диаметром d и сечением 12мм^2 . Нулевой провод выполнен из стальной шины сечением $S_{n,n} = 30 \times 4 \text{ мм}^2$ и проложен на расстоянии $D=50\text{см}$ от кабеля.
4. Оформить отчет.
5. Ответить на контрольные вопросы.

Таблица 6

Исходные данные для расчета защитного зануления

Вариант	1	2	3	4	5	6	7	8	9	10	11	12	13	14	15
$P, \text{kV}\cdot\text{A}$	25	40	63	100	25	40	63	100	25	40	63	100	160	160	160
$L, \text{м}$	150	200	250	300	300	250	200	150	80	75	70	100	150	200	260
$d, \text{мм}$	3,0	3,5	4,0	3,2	3,4	3,6	3,0	3,5	4,0	3,2	3,4	3,6	3,8	4,0	4,2

Контрольные вопросы

1. Что такое защитное зануление?
2. Назначение, область применения защитного зануления.
3. Принцип действия защитного зануления.
4. Каков порядок расчета защитного зануления?
5. В каком случае зануление является эффективным средством защиты?

Практическая работа № 5

РАСЧЕТ УСТРОЙСТВ МОЛНИЕЗАЩИТЫ ЗДАНИЙ И СООРУЖЕНИЙ

Цель работы: познакомиться с устройством молниезащиты, типами молниеотводов, принципом выбора молниеотводов. Освоить методику расчета устройств молниезащиты.

Основные понятия

Молния представляет собой электрический разряд длиной в несколько километров, развивающийся между грозовым облаком и землей или каким-либо наземным сооружением.

Воздействия молнии принято подразделять на две основные группы:

- первичные, вызванные прямым ударом молнии;
- вторичные, индуцированные близкими ее разрядами или занесенные в объект протяженными металлическими коммуникациями.

Опасность прямого удара и вторичных воздействий молнии для зданий и сооружений и находящихся в них людей или животных определяется, с одной стороны, параметрами разряда молнии, а с другой – технологическими и конструктивными характеристиками объекта (наличием взрыво- или пожароопасных зон, огнестойкостью строительных конструкций, видом вводимых коммуникаций, их расположением внутри объекта и т.д.).

Прямой удар молнии вызывает следующие воздействия на объект: *электрические*, связанные с поражением людей или животных электрическим током; *термические*, связанные с резким выделением теплоты при прямом контакте молнии с объектом; *механические*, обусловленные ударной волной, распространяющейся от канала молнии, и электродинамическими силами, действующими на проводники с токами молнии.

Вторичные проявления молнии связаны с действием на объект электромагнитного поля близких разрядов – электростатической и электромагнитной индукцией.

Электростатическая индукция проявляется в виде перенапряжения, возникающего на металлических конструкциях объекта и зависящего от тока молнии, расстояния до места удара и сопротивления заземлителя. При отсутствии надлежащего заземлителя перенапряжение может достигать сотен киловольт и создавать опасность поражения людей и перекрытий между различными частями объекта.

Электромагнитная индукция заключается в наведении потенциалов в незамкнутых металлических контурах, величина которых зависит от изменений тока молнии и площади, охватываемой контуром, и может достигать нескольких десятков киловольт.

Еще одним видом опасного воздействия молнии является **занос высокого потенциала** по вводимым в объект коммуникациям (проводам воздушных линий электропередачи, кабелям, трубопроводам). Он представляет собой

перенапряжение, возникающее на коммуникации при прямых и близких ударах молнии и распространяющееся в виде набегающей на объект волны.

Удары молнии могут быть особо опасны для информационных систем, систем управления, контроля и электроснабжения.

Молниезащита зданий и сооружений проектируется в соответствие с "Инструкцией по устройству молниезащиты зданий, сооружений и промышленных коммуникаций" СО 153-34.21.122-2003, утвержденной приказом Минэнерго России от 30.06.2003 г. №280.

Классификация зданий и сооружений по устройству молниезащиты

Классификация объектов определяется по опасности ударов молнии для самого объекта и его окружения (табл. 1).

По устройству молниезащиты здания и сооружения делятся на обычные объекты и специальные объекты.

Обычные объекты – жилые и административные строения, а также здания и сооружения, высотой не более 60 м, предназначенные для торговли, промышленного производства, сельского хозяйства.

Специальные объекты:

- объекты, представляющие опасность для непосредственного окружения (нефтеперерабатывающие предприятия, заправочные станции);
- объекты, представляющие опасность для социальной и физической окружающей среды (объекты, которые при поражении молнией могут вызвать вредные биологические, химические и радиоактивные выбросы);
- прочие объекты, для которых может предусматриваться специальная молниезащита (строения высотой более 60 м, игровые площадки, временные сооружения, строящиеся объекты).

Таблица 1

Объект	Тип объекта	Последствия удара молнии
1	2	3
Обычный	Жилой дом	Отказ электроустановок, пожар и повреждение имущества. Обычно небольшое повреждение предметов, расположенных в месте удара молнии или задетых ее каналом
	Ферма	Первоначально - пожар и занос опасного напряжения, затем - потеря электропитания с риском гибели животных из-за отказа электронной системы управления вентиляцией, подачи корма и т.д.
	Театр; школа; универмаг; спортивное сооружение	Отказ электроснабжения (например, освещения), способный вызвать панику. Отказ системы пожарной сигнализации, вызывающий задержку противопожарных мероприятий
	Банк; страховая компания; коммерческий офис	Отказ электроснабжения (например, освещения), способный вызвать панику. Отказ системы пожарной сигнализации, вызывающий задержку противопожарных мероприятий. Потери средств связи, сбои компьютеров с потерей данных

	Больница; детский сад; дом для престарелых	Отказ электроснабжения (например, освещения), способный вызвать панику. Отказ системы пожарной сигнализации, вызывающий задержку противопожарных мероприятий. Потери средств связи, сбои компьютеров с потерей данных. Необходимость помочи тяжелобольным и не подвижным людям
	Промышленные предприятия	Дополнительные последствия, зависящие от условий производства, - от незначительных повреждений до больших ущербов из-за потерь продукции
	Музеи и археологические памятники	Невосполнимая потеря культурных ценностей
Специальный с ограниченной опасностью	Средства связи; электростанции; пожароопасные производства	Недопустимое нарушение коммунального обслуживания (телефонной). Косвенная опасность пожара для соседних объектов
Специальный, представляющий опасность для непосредственно го окружения	Нефтеперерабатывающие предприятия; заправочные станции; производства петард и фейерверков	Пожары и взрывы внутри объекта и в непосредственной близости
Специальный, опасный для экологии	Химический завод; атомная электростанция; биохимические фабрики и лаборатории	Пожар и нарушение работы оборудования с вредными последствиями для окружающей среды

При строительстве и реконструкции для каждого класса объектов определяется необходимый уровень надежности защиты от прямых ударов молнии (ПУМ). Надежность защиты определяется как $1-P$.

Таблица 2
Уровни защиты от ПУМ для обычных объектов

Уровень защиты	Надежность защиты от ПУМ
I	0,98
II	0,95
III	0,90
IV	0,80

Для специальных объектов минимально допустимый уровень надежности защиты от ПУМ устанавливается в пределах 0,9-0,999 в зависимости от степени его общественной значимости и тяжести ожидаемых последствий от ПУМ по согласованию с органами государственного контроля.

УСТРОЙСТВО МОЛНЕЗАЩИТЫ

Молниезащита представляет собой комплекс мероприятий, направленных на предотвращение прямого удара молнии в объект или на

устранение опасных последствий, связанных с прямым ударом; к этому комплексу относятся также средства защиты, предохраняющие объект от вторичных воздействий молнии и заноса высокого потенциала.

Средством защиты от прямых ударов молнии служит **молниеотвод** – устройство, рассчитанное на непосредственный контакт с каналом молнии и отводящее ее ток в землю.

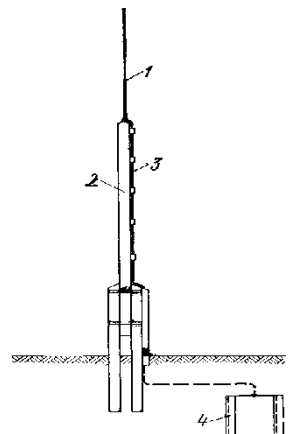
Молниеотводы разделяются на *отдельно стоящие*, обеспечивающие растекание тока молнии минуя объект, и *устанавливаемые на самом объекте*. При этом растекание тока происходит по контролируемым путям так что обеспечивается низкая вероятность поражения людей от взрыва или пожара.

Установка отдельно стоящих молниеотводов исключает возможность термического воздействия на объект при поражении молниеотвода, для объектов с постоянной взрывоопасностью принят этот способ защиты. Для объектов, характеризующихся меньшим риском взрыва или пожара, в равной мере допустимо использование отдельно стоящих молниеотводов и устанавливаемых на защищаемом объекте.

Молниеотвод представляет собой возвышающееся над защищаемым объектом устройство, воспринимающее прямой удар молнии и отводящее токи молнии (посредством определенной системы заземления) в землю.

Молниеотвод состоит из следующих элементов:

1. молниеприемник (воспринимает прямой удар молнии);
2. опора (несущая конструкция, предназначенная для установки молниеприемника);
3. токоотвод (обеспечивает отвод тока молнии к заземлителю);
4. заземлитель (отводит ток молнии в землю и обеспечивает контакт с землей молниеприемника и токоотвода).



На практике молниеотводы могут образовывать единую конструкцию, например металлическая мачта или ферма здания представляет собой молниеприемник, опору и токоотвод одновременно.

По типу молниеприемника молниеотводы разделяются на *стержневые (вертикальные)*, *тросовые (горизонтальные протяженные)*, *замкнутые тросовые* и *сетки*, состоящие из продольных и поперечных горизонтальных электродов, соединенные в местах пересечения.

Стержневые и тросовые молниеотводы могут быть как отдельно стоящие, так и устанавливаемые на объекте, молниеприемные сетки укладываются на неметаллическую кровлю защищаемых зданий и сооружений в случае если крыша горизонтальная.

Защитное действие молниеотводов

Защитное действие молниеотвода основано на свойстве молнии с большой вероятностью поражать более высокие и хорошо заземленные

предметы по сравнению с расположенными рядом объектами меньшей высоты. Поэтому на молниеотвод, возвышающийся над защищаемым объектом, возлагается функция перехвата молний, которые в отсутствии молниеотвода поразили бы объект.

Каждый молниеотвод имеет **зону защиты** – пространство, внутри которого здание или сооружение защищено от прямых ударов молний с надежностью не ниже определенного значения. Наименьшей и постоянной надежностью обладает поверхность зоны защиты; в глубине зоны защиты надежность выше, чем на ее поверхности.

Выбор молниеотводов

Выбор типа и высоты молниеотводов производится исходя из значений требуемой надежности P_z . Объект считается защищенным, если совокупность всех его молниеотводов обеспечивает надежность защиты не менее P_z .

Во всех случаях система защиты от прямых ударов молний выбирается так, чтобы максимально использовались естественные молниеотводы, а если обеспечивающая ими защищенность недостаточна - в комбинации со специально установленными молниеотводами.

В общем случае выбор молниеотводов должен производиться при помощи соответствующих компьютерных программ, способных вычислять зоны защиты или вероятность прорыва молнии в объект (группу объектов) любой конфигурации при произвольном расположении практически любого числа молниеотводов различных типов.

При прочих равных условиях высоту молниеотводов можно снизить, если вместо стержневых конструкций применять тросовые, особенно при их подвеске по внешнему периметру объекта.

Если защита объекта обеспечивается простейшими молниеотводами (одиночным стержневым, одиночным тросовым, двойным стержневым, двойным тросовым, замкнутым тросовым), размеры молниеотводов можно определять, пользуясь заданными в Инструкции зонами защиты (табл.2-4 методических указаний).

Зоны защиты одиночного стержневого молниеотвода

Стандартной зоной защиты одиночного стержневого молниеотвода высотой h является круговой конус высотой $h_0 < h$, вершина которого совпадает с вертикальной осью молниеотвода (рис.1). Габариты зоны определяются двумя параметрами: высотой конуса h_0 и радиусом конуса на уровне земли r_0 .

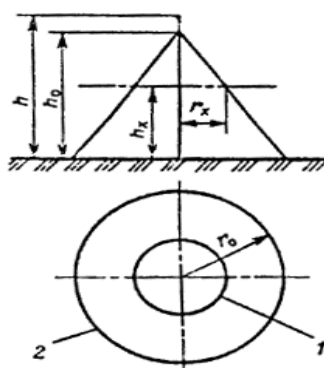


Рис. 1. Зона защиты одиночного стержневого молниеотвода
 1 - граница зоны защиты на уровне h_x , 2 -то же на уровне земли

Приведенные ниже расчетные формулы (табл. 2) применяются для молниеотводов высотой до 150 м. При более высоких молниеотводах следует пользоваться специальной методикой расчета.

Таблица 2
Расчет зоны защиты одиночного стержневого молниеотвода

Надежность защиты P_z	Высота молниеотвода h , м	Высота конуса h_0 , м	Радиус конуса r_0 , м
0,9	от 0 до 100	$0,85h$	$1,2h$
	от 100 до 150	$0,85h$	$[1,2 - 10^{-3} \cdot (h - 100)] \cdot h$
0,99	от 0 до 30	$0,8h$	$0,8h$
	от 30 до 100	$0,8h$	$[0,8 - 1,43 \cdot 10^{-3} \cdot (h - 30)] \cdot h$
	от 100 до 150	$[0,8 - 10^{-3} \cdot (h - 100)] \cdot h$	$0,7h$
0,999	от 0 до 30	$0,7h$	$0,6h$
	от 30 до 100	$[0,7 - 7,14 \cdot 10^{-4} \cdot (h - 30)] \cdot h$	$[0,6 - 1,43 \cdot 10^{-3} \cdot (h - 30)] \cdot h$
	от 100 до 150	$[0,65 - 10^{-3} \cdot (h - 100)] \cdot h$	$[0,5 - 2 \cdot 10^{-3} \cdot (h - 100)] \cdot h$

Для зоны защиты требуемой надежности (*рис.1*) радиус горизонтального сечения r_x на высоте h_x определяется по формуле

$$r_x = \frac{r_0(h_0 - h_x)}{h_0} \quad (1)$$

Зоны защиты одиночного тросового молниеотвода

Стандартные зоны защиты одиночного тросового молниеотвода высотой h ограничены симметричными двускатными поверхностями, образующими в вертикальном сечении равнобедренный треугольник с вершиной на высоте $h_0 < h$ и основанием на уровне земли $2r_0$ (*рис.2*).

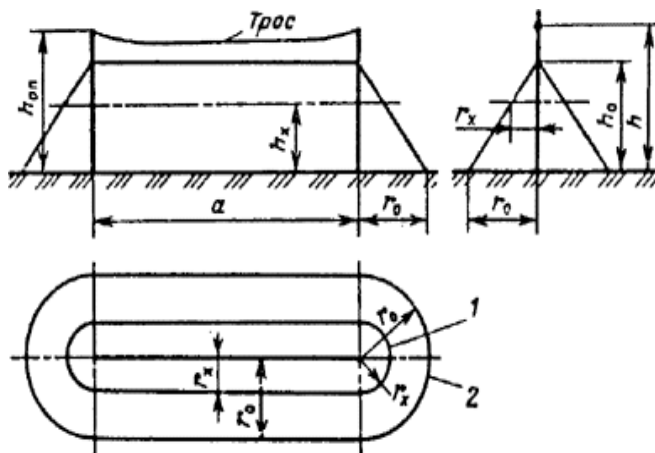


Рис. 2. Зона защиты одиночного тросового молниеотвода

Приведенные ниже расчетные формулы (табл.3) пригодны для молниеотводов высотой до 150 м. При большей высоте следует пользоваться специальным программным обеспечением. Под h понимается минимальная высота троса над уровнем земли (с учетом провеса).

Таблица 3

Расчет зоны защиты одиночного тросового молниеотвода

Надежность защиты P_3	Высота молниеотвода h , м	Высота конуса h_0 , м	Радиус конуса r_0 , м
0,9	от 0 до 150	$0,87h$	$1,5h$
0,99	от 0 до 30	$0,8h$	$0,95h$
	от 30 до 100	$0,8h$	$[0,95 - 7,14 \cdot 10^{-4} \cdot (h - 30)] \cdot h$
	от 100 до 150	$0,8h$	$[0,9 - 10^{-3} \cdot (h - 100)] \cdot h$
0,999	от 0 до 30	$0,75h$	$0,7h$
	от 30 до 100	$[0,75 - 4,28 \cdot 10^{-4} \cdot (h - 30)] \cdot h$	$[0,7 - 1,43 \cdot 10^{-3} \cdot (h - 30)] \cdot h$
	от 100 до 150	$[0,72 - 10^{-3} \cdot (h - 100)] \cdot h$	$[0,6 - 10 \cdot (h - 100)] \cdot h$

Полуширина r_x зоны защиты требуемой надежности (рис.2) на высоте h_x от поверхности земли определяется выражением:

$$r_x = r_0 \frac{h_0 - h_x}{h_0} \quad (2)$$

При необходимости расширить защищаемый объем к торцам зоны защиты собственно тросового молниеотвода могут добавляться зоны защиты несущих опор, которые рассчитываются по формулам одиночных стержневых молниеотводов, представленным в табл. 2. В случае больших провесов тросов, например у воздушных линий электропередачи, рекомендуется рассчитывать обеспечиваемую вероятность прорыва молнии программными методами, поскольку построение зон защиты по минимальной высоте троса в пролете может привести к неоправданным затратам.

Зоны защиты двойного стержневого молниеотвода

Молниеотвод считается двойным, когда расстояние между стержневыми молниеприемниками L не превышает предельной величины L_{max} . В противном случае оба молниеотвода рассматриваются как одиночные.

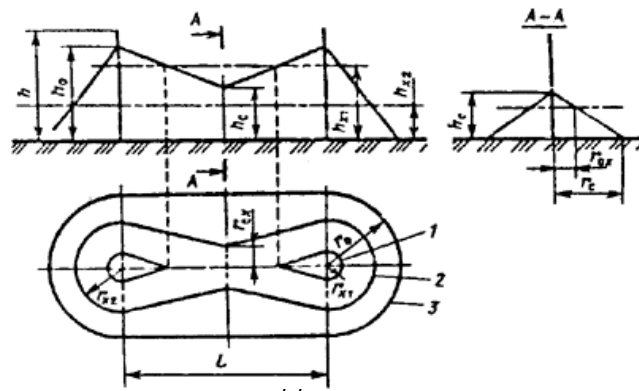


Рис.3. Зона защиты двойного стержневого молниеотвода:

1 - граница зоны защиты на уровне h_{x1} ; 2 -то же на уровне h_{x2} , 3 -то же на уровне

Конфигурация вертикальных и горизонтальных сечений стандартных зон защиты двойного стержневого молниеотвода (высотой h и расстоянием L между молниеотводами) представлена на рис.3. Построение внешних областей зон двойного молниеотвода (полуконусов с габаритами h_0, r_0) производится по формулам табл. 2 для одиночных стержневых молниеотводов. Размеры внутренних областей определяются параметрами h_0 и h_c , первый из которых задает максимальную высоту зоны непосредственно у молниеотводов, а второй - минимальную высоту зоны посередине между молниеотводами. При расстоянии между молниеотводами $L \leq L_c$ граница зоны не имеет провеса ($h_c = h_0$). Для расстояний $L_c \leq L \leq L_{max}$ высота h_c определяется по выражению:

$$h_c = \frac{L_{max} - L}{L_{max} - L_c} h_0 \quad (3)$$

Входящие в него предельные расстояния L_{max} и L_c вычисляются по формулам табл.4, применяемым для молниеотводов высотой до 150 м. При большей высоте молниеотводов следует пользоваться специальным программным обеспечением.

Таблица 4

Расчет параметров зоны защиты двойного стержневого молниеотвода

Надежность защиты P_z	Высота молниеотвода h , м	L_{max} , м	L_c , м
0,9	от 0 до 30	$5,75h$	$2,5h$
	от 30 до 100	$[5,75 - 3,57 \cdot 10^{-3} \cdot (h - 30)] \cdot h$	$2,5h$
	от 100 до 150	$5,5h$	$2,5h$
0,99	от 0 до 30	$4,75h$	$2,25h$
	от 30 до 100	$[4,75 - 3,57 \cdot 10^{-3} \cdot (h - 30)] \cdot h$	$[2,25 - 0,01007 \cdot (h - 30)] \cdot h$
	от 100 до 150	$4,5h$	$1,5h$
0,999	от 0 до 30	$4,25h$	$2,25h$
	от 30 до 100	$[4,25 - 3,57 \cdot 10^{-3} \cdot (h - 30)] \cdot h$	$[2,25 - 0,01007 \cdot (h - 30)] \cdot h$
	от 100 до 150	$4,0h$	$1,5h$

Размеры горизонтальных сечений зоны вычисляются по следующим формулам, общим для всех уровней надежности защиты:

максимальная полуширина зоны r_x в горизонтальном сечении на высоте h_x :

$$r_x = r_0 \frac{h_0 - h_x}{h_0} \quad (4)$$

длина горизонтального сечения l_x на высоте $h_x \geq h_c$:

$$l_x = L \frac{h_0 - h_x}{2(h_0 - h_c)} \quad (5)$$

причем при $h_x < h_c$, $L_x = L/2$;

ширина горизонтального сечения в центре между молниеотводами $2r_{cx}$ на высоте $h_x \leq h_c$:

$$r_{cx} = \frac{r_0(h_c - h_x)}{h_c} \quad (6)$$

Порядок выполнения работы

1. Познакомиться с устройством молниезащиты, типами молниеотводов, принципом выбора молниеотводов.

2. Рассчитать зону защиты молниеотвода (по заданию преподавателя). Ответить на контрольные вопросы.

Задание 1. Определить зону защиты одиночного стержневого молниеотвода высотой h , защищающего дымовую трубу высотой h_x , с диаметром основания d_{och} , наружный диаметр верхнего отверстия d_b . Надежность защиты $P_z=0,99$. Привести схему молниезащиты объекта в масштабе (рис.4).

Исходные данные	Варианты										
	1	2	3	4	5	6	7	8	9	10	11
h , м	53	51	49	47	45	43	41	39	37	35	33
h_x , м	50	48	46	44	42	40	38	36	34	32	30
d_{och} , м	7,2	7,0	6,8	6,6	6,4	6,2	6,0	5,8	5,6	5,4	5,2
d_b , м	2,0	2,0	2,0	1,9	1,9	1,9	1,8	1,8	1,8	1,6	1,6

Задание 2. Рассчитать высоту стержневого молниеотвода, установленного на водонапорной башне. Высота башни h_x , диаметр верхней части d_b . Надежность защиты $P_z=0,9$. Привести схему молниезащиты объекта в масштабе (рис.5).

Исходные данные	Варианты										
	1	2	3	4	5	6	7	8	9	10	11
h_x , м	26	25	24	23	21	20	19	18	17	16	15
d_b , м	10	10	10	9	9	9	8	8	8	7	7

Задание 3. Определить зону защиты отдельно стоящего тросового молниеотвода. Защищается склад ЛВЖ. Размеры склада L – длина, S – ширина, h_x – высота здания. Опоры высотой h_{opr} . Расположены на расстоянии 5 м от склада. Надежность защиты $P_z=0,99$. Привести схему молниезащиты объекта в масштабе (рис.6).

Исходные данные	Варианты										
	1	2	3	4	5	6	7	8	9	10	11
L , м	10	14	16	12	18	20	10	21	14	15	19
S , м	4	6	8	4	8	10	4	6	7	6	9
h_x , м	5	5	6	5	6	7	4	5	6	6	7
h_{opr} , м	8	8	10	10	12	10	8	8	8	10	9

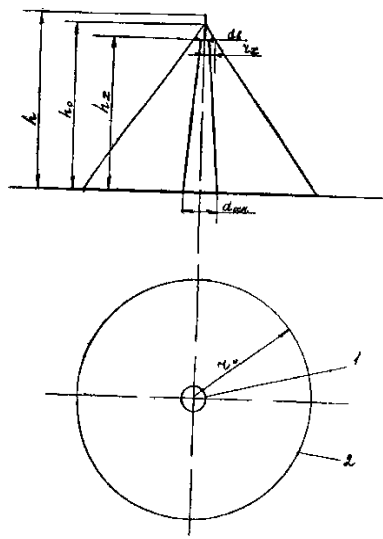


Рис.4. Зона защиты одиночного стержневого молниеприемника защищающего дымовую трубу

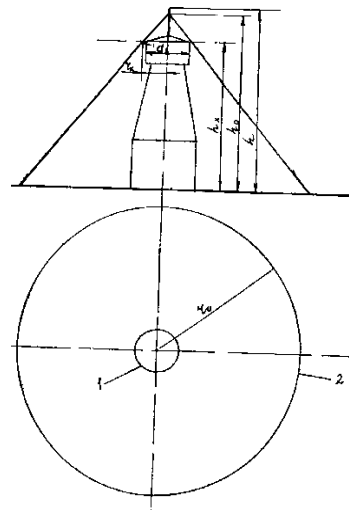


Рис.5. Зона защиты одиночного стержневого молниеприемника защищающего водонапорную башню

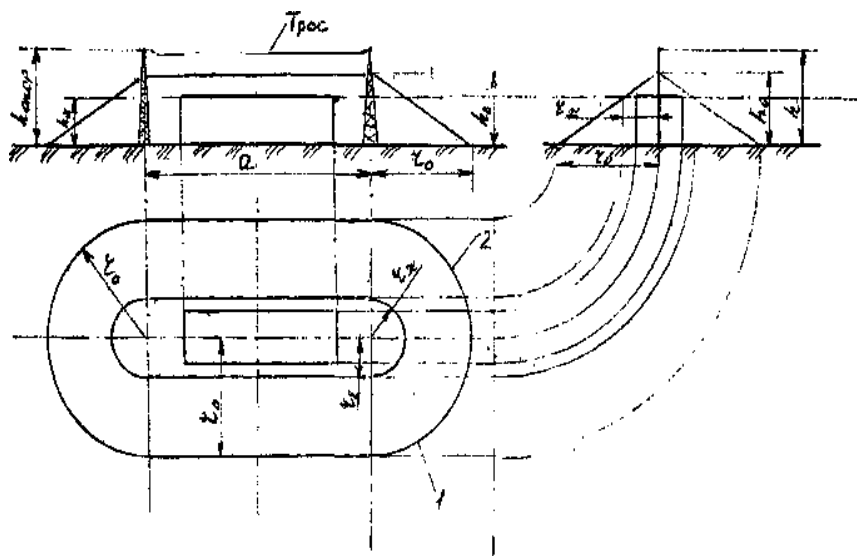


Рис.6. Зона защиты отдельно стоящего тросового молниеприемника

Контрольные вопросы

1. Молниезащита. Определение.
2. В чем заключается опасность воздействия прямого удара молнии?
3. Молниеприемник. Устройство. В чем заключается защитное действие молниеприемника?
4. Укажите типы молниеприемников.

5. Какие молниеотводы целесообразно использовать для защиты цеха по производству горючих и легковоспламеняющихся жидкостей?

6. Что собой представляет зона защиты одиночного стрежневого молниеотвода?

7. Что собой представляет зона защиты одиночного тросового молниеотвода?

Практическая работа № 6

РАСЧЕТ ПРЕДОХРАНИТЕЛЬНЫХ КОНСТРУКЦИЙ В НАРУЖНОМ ОГРАЖДЕНИИ ВЗРЫВООПАСНЫХ ПОМЕЩЕНИЙ

Цель работы: ознакомится с требованиями к размещению предохранительных конструкций и методикой расчета предохранительных конструкций

Основные понятия

Обеспечение взрывоустойчивости зданий и сооружений при внутренних аварийных взрывах может осуществляться по двум направлениям:

- а) Снижение избыточного давления, возникающего при внутреннем аварийном взрыве;
- б) Повышение прочности и устойчивости конструкций к действию аварийных (взрывных) нагрузок.

Сочетание обоих указанных направлений является необходимым условием разработки оптимальных решений по обеспечению взрывоустойчивости зданий и сооружений при внутренних аварийных взрывах.

Для снижения избыточного давления, возникающего при внутренних аварийных взрывах, используются предохранительные конструкции (ПК). В качестве ПК обычно используются стекла глухого остекления помещения (разрушающиеся ПК), открывающиеся наружу створки оконных пролетов, двери и ворота (вращающиеся ПК), а также легкоубрасываемые стеновые пакеты и облегченные плиты покрытий помещений (смещающиеся ПК).

С помощью ПК избыточное давление в помещении при аварийном взрыве снижается до допустимой величины (ΔP_{don}).

При проектировании зданий и сооружений взрывоопасных производств величину ΔP_{don} следует принимать не менее 5 кПа. Для зданий и сооружений, конструкции которых не рассчитываются на действие избыточного давления, возникающего при внутреннем аварийном взрыве, разрешается при соответствующем обосновании принимать $\Delta P_{don} = 3$ кПа.

Несущие конструкции зданий и сооружений, подвергающиеся действию избыточного давления при внутреннем аварийном взрыве, должны рассчитываться на основное и особое сочетание нагрузок с учетом этого давления (СНиП 2.01.07 - 85 «Нагрузки и воздействие»).

Предохранительные конструкции устанавливаются в наружном ограждении помещений взрывоопасных производств. Под действием избыточного давления, возникающего при внутреннем аварийном взрыве, ПК должна вскрываться наружу.

Для снижения избыточного давления, возникающего при аварийных взрывах, до допускаемой величины, в первую очередь надо использовать наружное остекление помещений. При этом в качестве ПК могут использоваться стекла глухого остекления помещения, а также открывающиеся

створки (лучше с вертикальным шарниром) оконных переплетов (рис. 1.а). Наряду с остеклением могут использоваться легкосбрасываемые панели (рис. 1.б). Применение смещающихся ПК в виде легкосбрасываемых стеновых панелей следует предусматривать в тех случаях, когда это не представляет опасности поражения людей, находящихся вблизи здания или сооружения, в котором устраиваются ПК.

Если требуемая площадь проемов, перекрываемых ПК, не может быть размещена в стенах здания (сооружения), то их следует располагать в покрытии взрывоопасного помещения. Для устройства ПК в покрытии помещений целесообразно использовать фонари (рис. 1.в). Устройство ПК в виде облегченных плит, устанавливаемых в покрытии помещения (рис.1.г) может быть достаточно эффективным только при сравнительно большом значении ΔP_{don} .

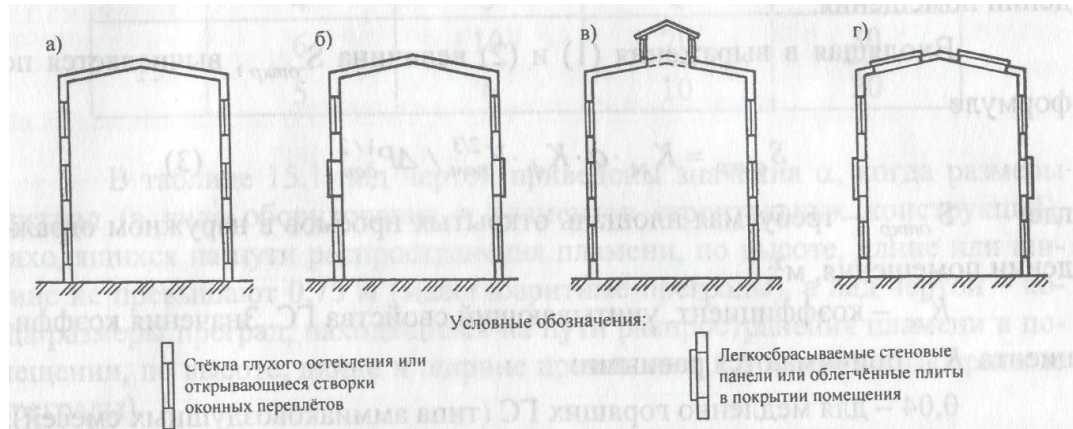


Рис. 1. Примеры установки ПК в одноэтажном промышленном здании: а - глухое остекление; б - легкосбрасываемые стеновые панели; в - использование фонарей и облегченных плит покрытия в качестве ПК

Предохранительные конструкции следует размещать как можно ближе к ожидаемым местам воспламенения горючей смеси (ГС), образующейся в аварийных ситуациях во взрывоопасном помещении. При отсутствии данных о местах возможного воспламенения ГС в помещениях, линейные размеры которых по длине, высоте и ширине не более чем в три раза отличаются один от другого, ПК следует размещать равномерно по площади стен помещения, а при необходимости и в его покрытии. В сильно вытянутых в длину помещениях ПК располагают, как правило, в боковых стенах по длине помещения, а также в его покрытии. В помещениях, имеющих большую высоту, ПК следует размещать преимущественно в их стенах.

Определение требуемой площади проемов, перекрываемых ПК

Требуемая площадь проемов в наружном ограждении помещения, перекрываемых ПК i-го типа (разрушающиеся ПК, вращающиеся ПК, смещающиеся) определяются по формуле

$$S_{nk,i} = S_{откр}/\psi_{nk,i} \quad (1)$$

где $S_{откр}$ - требуемая площадь открытых проемов в наружном ограждении помещения, при которой избыточное давление, возникающее в помещении при взрывном горении ГС, не превысит допустимой величины, ($\Delta P_{дон}$); $\psi_{nk,i}$ - коэффициент, характеризующий эффективность вскрытия ПК i-го типа (см. табл. 2).

При устройстве в наружном ограждении помещения ПК разных типов требуемая площадь проемов, перекрываемых этими ПК, может определяться с помощью выражения

$$S_{откр} \leq \sum_{i=1}^{\eta_{nk}} S_{nk,i} \cdot \psi_{nk,i} \quad (2)$$

где η_{nk} - количество типов ПК, устанавливаемых в наружном ограждении помещения.

Входящая в выражения (1) и (2) величина $S_{0ткп}$, вычисляется по формуле

$$S_{откр} = K_{rc} \cdot \alpha \cdot \frac{V_{пом}^{2/3}}{\Delta P_{доп}^{1/2}}, \quad (3)$$

где $S_{откр}$ - требуемая площадь открытых проемов в наружном ограждении помещения, m^2 ; K_{rc} - коэффициент, учитывающий свойства ГС. Значения коэффициента K_{rc} принимаются равными: 0,04 - для медленно горящих ГС (типа аммиаковоздушных смесей); 0,2 - для небыстро горящих ГС (типа метановоздушных, пропано-воздушных и им подобных ГС); 0,7 - для быстро горящих ГС (типа ацетиленовоздушных и водоро-дровоздушных смесей).

α - показатель интенсификации взрывного горения.

Показатель интенсификации взрывного горения α принимается по данным таблицы 1 в зависимости от полного объема помещения ($V_{o,пом}$) и степени загроможденности (заполнения) его оборудованием и элементами конструкций (Θ). Величина $V_{o,пом}$ принимается равной объему помещения без учета располагаемых в нем оборудования и элементов строительных конструкций (колонн, ферм, этажерок, подмостей, лестничных маршей и т. п.). Величина Θ (в %) определяется по формуле

$$\Theta = \frac{100V_{oc}}{V_{o,пом}} \quad (4)$$

где V_{oc} - объем оборудования и элементов строительных конструкций, находящихся в помещении.

Таблица 1

Значения α

$\Theta, \%$	Величина α в зависимости от $V_{o,пом}, m^3$			
	100	1000	10000	100000

3	4 / 3	5 / 4	6/5	7 / 6
5-7	5 / 4	6/5	10/6	15/ 10
15	6/5	10 / 6	20 /10	30/ 20

В таблице 1 под чертой приведены значения α , когда размеры препятствий (в виде оборудования и элементов строительных конструкций), находящихся на пути распространения пламени, по высоте, длине или ширине не превышают 0,75 м (малогабаритные препятствия), а над чертой - когда размеры препятствий, находящихся на пути распространения пламени в помещении, по высоте, длине и ширине превышают 1,5 м (крупногабаритные препятствия).

Связь между $V_{o.nom}$ и V_{nom} в формуле (3) определяется соотношением

$$V_{nom} = V_{o.nom} \cdot (1 - 0,01 \Theta),$$

Для промежуточных значений $V_{o.nom}$ и Θ , а также при наличии в помещении как малогабаритных, так и крупногабаритных препятствий на пути распространения пламени, величина α находится интерполяцией.

$K\phi$ - коэффициент, учитывающий влияние формы помещения на интенсивность истечения из него газа.

Значения коэффициента $K\phi$ могут определяться по формуле

$$\begin{aligned} K\phi &= b_n^2 + h_n^2 / 2V_{o.nom}^{2/3} \text{ при } h_n \leq \alpha_n; \\ K\phi &= b_n^2 + \alpha_n^2 / 2V_{o.nom}^{2/3} \text{ при } \alpha_n \leq h_n; \end{aligned} \quad (6)$$

где α_n , b_n , h_n - соответственно длина, ширина и высота помещения, объем которого (без учета располагаемых в нем оборудования и элементов строительных конструкций) равен $V_{o.nom}$; Если окажется, что определяемая по формуле (6) величина $K\phi > 1$, то нужно принимать $K\phi = 1$; V_{nom} - свободный объем помещения, м³; ΔP_{don} - допускаемое в помещении избыточное давление при взрывном горении ГС, кПа.

Использование в качестве ПК глухого остекления

Размеры оконных переплетов с глухим остеклением, используемых при устройстве остекления помещений взрывоопасных производств, а также коэффициенты $\psi_{nk,i}$, характеризующие эффективность вскрытия стекол в этих оконных переплетах в зависимости от вида остекления, толщины стекла и допустимого в помещении избыточного давления (ΔP_{don}), приведены в табл. 2.

Таблица 2

Значение коэффициента $\psi_{nk,i}$ оконных одинарных и двойных

переплетов с глухим остеклением

Размеры стекла, мм	ΔP_{don} , кПа	Вид остекления	
		Одинарное	Двойное

		Толщина стекла, мм					
		3	4	5	3	4	5
1	2	3	4	5	6	7	8
1150x480	3	0,007	-	-	-	-	-
	5	0,158	0,013	-	-	-	-
1080x530	3	0,021	-	-	-	-	-
	5	0,264	0,033	0,001	-	-	-
1080x700	3	0,115	0,009	-	-	-	-
	5	0,636	0,175	0,02	0,081	-	-
1680x700	3	0,286	0,047	0,004	0,005	-	-
	5	0,867	0,405	0,121	0,299	0,017	-
1080x1150	3	0,37	0,071	0,009	0,012	-	-
	5	0,906	0,502	0,172	0,407	0,035	-
1080x1450	3	0,715	0,246	0,069	0,125	0,002	-
	5	0,939	0,837	0,496	0,772	0,248	0,034

При равных размерах застекленных проемов конструктивное решение оконного переплета на значениях $\psi_{nk,i}$ не оказывается.

Для оконных переплетов с глухим остеклением, размеры которых отличаются от приведенных в таблице 2, коэффициент $\psi_{nk,i}$ может определяться интерполяцией по формуле (7)

$$\psi_{nk,i} = \sum_{j=1}^{\eta_m} c_j \psi_{nk,j}, \quad (7)$$

где η_n - количество типов (отличающихся по размерам остекленных проемов в оконном переплете);

c_j - доля площади проемов j -го типа в оконном переплете;

$\psi_{nk,j}$ - коэффициент $\psi_{nk,j}$, определяемый по данным таблицы 2 в зависимости от размеров застекленных проемов j -го (i -го) типа.

Размеры и толщину стекол для устройства остекления помещений взрывоопасных производств необходимо выбирать с таким расчетом, чтобы при взрывном горении ГС вскрывалось как можно больше стекол (т.е. коэффициент $\psi_{nk,j}$ имел возможно большую величину), а при действии ветровой нагрузки вероятность вскрытия застекленных проемов не превышала: 0,01 - при одинарном остеклении и 0,001 - при двойном остеклении.

Вращающиеся ПК

При устройстве вращающихся ПК необходимо использовать крепежные (запорные) устройства, которые бы обеспечивали надежное и независимое

вскрытие этих конструкций при достижении избыточным давлением в помещении величины $\Delta P_{вскр}$.

Для вращающихся ПК, устанавливаемых в стенах помещения, минимальное значение $\Delta P_{вскр}$ определяется с помощью выражений:

$$\Delta P_{вскр} = 1 \text{ кПа}$$

$$\Delta P_{вскр} = -2,5\omega_{p.v}(-1) \quad (8)$$

где $\omega_{p.v}$ (-) - расчетная ветровая нагрузка, устанавливаемая для крепежных (запорных) устройств ПК по отрицательному давлению, возникающему в зоне разрежения у ограждения помещения в месте установки ПК.

При вычислении $\omega_{p.v}$ (-) следует принимать коэффициент динамичности $K_d = 1,1$.

Из двух значений $\Delta P_{вскр}$, определяемых по формулам (8), в качестве расчетного принимается большее.

Если вскрытие открывающейся створки не может быть обеспечено при принятом значении $\Delta P_{вскр}$, то следует считать, что соответствующий проем остекленного переплета имеет глухое остекление.

Коэффициент $\psi_{nk,i}$ характеризующий эффективность вскрытия

створок, определяется по формулам:

а) При креплении створок с помощью вертикального шарнира (рис.2а)

$$\psi_{nk,i} = \frac{40 \cdot K_\psi (a_i + b_i)}{\mu_i} \quad (9)$$

б) При креплении створки с помощью верхнего горизонтального шарнира (рис. 2 б)

$$\psi_{nk,i} = \frac{40 \cdot K_\psi (a_i + b_i)}{\mu_i} \cdot \left[1 - \frac{0,005 \mu_i}{d_i b_i \Delta P_{вскр,i}} \right] \quad (10)$$

в) При креплении створки с помощью нижнего горизонтального шарнира (рис. 2 в)

$$\psi_{nk,i} = \frac{40 \cdot K_\psi (a_i + b_i)}{\mu_i} \cdot \left[1 - \frac{0,003 \mu_i}{d_i b_i \Delta P_{вскр,i}} \right] \quad (11)$$

где a_i и b_i - размеры створки, м; μ_i - масса створки, кг; $\Delta P_{вскр,i}$ - избыточное давление, при котором происходит вскрытие створок, имеющих размеры a_i и b_i и массу μ_i (определяется по формулам (8) при $\Delta P_{вскр} = \Delta P_{вскр,i}$ кПа); K_ψ - коэффициент, значения которого в зависимости от скорости горения, $\Delta P_{вскр}$, ΔP_{don} , а также объема и формы помещения и степени загроможденности

его оборудованием и элементами строительных конструкций определяются по данным таблицы 3.

Если окажется, что определяемая по формулам (9), (10) и (11) величина $\psi_{nk,i} > 1$, то нужно принять $\psi_{nk,i} = 1$.

Значения a_i , b_i и μ_i - для наиболее часто встречающихся открывающихся створок оконных переплетов, приведены в таблице 4.

Двери, устанавливаемые в нужном ограждении помещений взрывоопасных производств, если их полотна будут открываться наружу, могут быть использованы в качестве ПК при принятых значениях $\Delta P_{вск}$.

Определение значений $\psi_{nk,i}$ для дверей производится по формуле (9).

Характерные значения a_i , b_i и μ_i для дверей приведены в табл. 5.

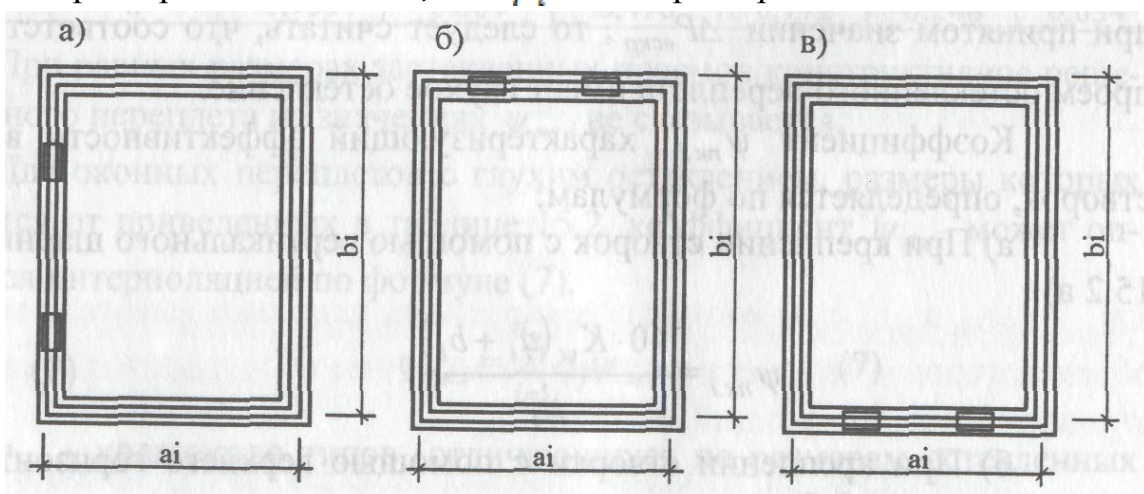


Рис. 2. Отдельные проемы, перекрываемые открывающимися шарниром створками: а - с боковым шарниром; б - с верхним; в - с нижним шарниром

Таблица 3

Значение коэффициентов K_ψ для проемов, перекрываемых вращающимися ПК

а) медленно горящие смеси

$\Delta P_{вскр}$ кПа	$V_{o,no}$ $M.$ M^3	$\Theta, \%$	ΔP_{don} , кПа					
			3,0			5,0		
			K_ψ			K_ψ		
1	2	3	4	5	6	7	8	9
1,0	100	<3	43,858	21,929	10,964	113,240	56,620	28,310

		5-7	32,227	16,111	8,056	83,197	41,599	20,799
		9-11	24,670	12,335	6,168	63,690	31,849	15,924
		>15	15,789	7,894	3,947	40,767	20,383	10,192
1,0	1000	<3	115,390	57,695	28,848	297,937	148,968	74,484
		5-7	91,173	45,586	22,73	3235,937	117,703	58,852
		9-11	73,850	36,925	18,462	190,679	95,34	47,67
		>15	51,285	25,642	12,821	132,416	66,202	33,104
	10000	<3	345,422	172,711	86,355	891,875	445,938	222,969
		5-7	239,876	119,938	59,969	619,358	309,679	154,839
		9-11	134,930	67,465	33,733	348,389	174,194	87,097
		>15	86,355	43,178	21,589	222,969	111,484	55,742
2,0	100	<3	8.772	4,386	2,193	45,296	22,648	11,324
		5-7	6,444	3,222	1,611	33,279	16,639	8,32
		9-11	4,934	2,467	1,234	25,479	12,74	6,37
		>15	3,158	1,579	0,789	16,307	8,153	4,077
	1000	<3	23,078	11,539	5,77	119,175	59,587	29,794
		5-7	18,235	9,117	4,559	94,163	47,081	23,541
		9-11	14,770	7,385	3,692	76,272	38,136	19,068
		>15	10,257	5,128	2,564	52,967	26,483	13,242
	10000	<3	69,084	34,542	17,271	356,75	178,375	89,187
		5-7	47,975	23,988	11,994	247,743	123,872	61,936
		9-11	26,986	13,493	6,747	139,355	69,678	34,839
		>15	17,271	8,636	4,318	89,187	44,594	22,297

--	--	--	--	--	--	--	--

б) небыстро горящие смеси

1,0	100	<3	2,982	1,491	0,746	7,7	3,85	1,925
		5-7	2,191	1,096	0,548	5,657	2,829	1,414
		9-11	1,673	0,839	0,419	4,331	2,166	1,083
		>15	1,074	0,537	0,268	2,772	1,386	0,693
	1000	<3	7,847	3,923	1,962	20,26	10,13	5,065
		5-7	6,2	3,1	1,55	16,008	8,004	4,002
		9-11	5,002	2,511	1,255	12,966	6,483	3,242
		>15	3,487	1,744	0,872	9,004	4,502	2,251
	10000	<3	23,489	11,744	5,872	60,648	30,324	15,162
		5-7	16,312	8,156	4,078	42,116	21,058	10,529
		9-11	9,175	4,588	2,294	23,69	11,845	5,923
		>15	5,872	2,936	1,468	15,162	7,581	3,79
2,0	100	<3	0,596	0,298	0,149	3,08	1,54	0,77
		5-7	0,438	0,219	0,11	2,263	1,131	0,566
		9-11	0,336	0,168	0,084	1,733	0,866	0,433
		>15	0,215	0,107	0,054	1,109	0,554	0,277
	10000	<3	4,698	2,349	1,174	24,259	12,129	6,065
		5-7	3,262	1,631	0,816	16,847	8,423	4,212
		9-11	1,835	0,918	0,459	9,476	4,738	2,369
		>15	1,174	0,587	0,294	6,065	3,032	1,516

в) быстро горящие смеси,

1,0	100	<3	0,07	0,035	0,018	0,181	0,091	0,045
		5-7	0,052	0,026	0,013	0,133	0,067	0,033
		9-11	0,039	0,02	0,01	0,102	0,051	0,025
		>15	0,025	0,013	0,006	0,065	0,033	0,016
	1000	<3	0,185	0,092	0,046	9,477	0,238	0,119
		5-7	0,146	0,073	0,036	0,377	0,188	0,094
		9-11	0,118	0,059	0,03	0,305	0,153	0,076

		>15	0,082	0,041	0,021	0,212	0,106	0,053
10000	2,0	<3	0,553	0,276	0,138	1,427	0,714	0,357
		5-7	0,384	0,192	0,096	0,991	0,495	0,248
		9-11	0,216	0,108	0,054	0,557	0,279	0,139
		> 15	0,138	0,069	0,035	0,367	0,178	0,089
		100	<3	0,014	0,07	0,004	0,072	0,036
			5-7	0,01	0,05	0,003	0,053	0,027
			9-11	0,08	0,04	0,002	0,041	0,02
			>15	0,05	0,03	0,001	0,026	0,013
		1000	<3	0,037	0,018	0,009	0,191	0,095
			5-7	0,029	0,015	0,007	0,151	0,075
			9-11	0,024	0,012	0,006	0,122	0,061
			>15	0,016	0,008	0,004	0,085	0,042
		2,0	<3	0,111	0,055	0,028	0,571	0,285
			5-7	0,077	0,038	0,019	0,396	0,198
			9-11	0,043	0,022	0,011	0,223	0,111
			> 15	0,028	0,014	0,007	0,143	0,071
			>15	0,028	0,014	0,007	0,143	0,071

Таблица 4

Значение a_i , bi и μ_i , для вращающихся створок (переплеты из гнутых профилей тонколистовой стали и стальных профилей)

Типовая серия	Габаритные размеры, м		Масса, μ_i , кг
	a_i	bi	
1.436.3-16/88	1165	1110	25,2
	965	1110	21,9
	1165	1710	35,6
	965	1710	31,0
	1165	2310	49,7
	965	2310	43,3
1/436/3-21	1126	1655	20
	1126	1055	16
	1126	1655	16
	1126	1055	13
	706	1655	13
	706	1055	11
	526	1655	13
	526	1055	10

Таблица 5

Номенклатура дверей по сериям 1.436.2 - 18; 1.436.3 -19; 2.435.6

Марка дверей	Тип двери	Размеры двери, см.		Масса, кг
		a_i	bi	
Серия 1.436.2-18				
2ДСУ2x2,1	Двупольная	90	100	62,5

2 ДСУ 2 x 2,4	Двупольная	90	120	77,3
Серия 1.436.3-19				
ДН9-21 Г	Однопольная	90	210	57,6
ДН9-21ГЛ	Однопольная	90	210	57,6
ДН 9 - 24 Г	Однопольная	90	240	64,3
ДН19-21-2Г	Двупольная	190	210	114
Серия 2.435.6				
ПД1;ПДИ1	Однопольная	90	240	212
ПД2;ПДИ2	Однопольная	90	200	193
ПД 3; ПДИ 3	Однопольная	120	240	245
ПД 4; ПДИ 4	Двупольная	75	240	150
ПД 5; ПДИ 5	Двупольная	80	200	140
ПД 6; ПДИ 6	Двупольная	90	240	172

Смещающиеся ПК

При устройстве смещающихся ПК необходимо обеспечивать надежное и независимое их вскрытие при достижении избыточным давлением в помещении величины $\Delta P_{вскр}$, минимальное значение которой определяется с помощью выражений:

а) Для ПК в виде стеновых панелей

$$\Delta P_{вскр} = 2 \text{ кПа}$$

$$\Delta P_{вскр} = -3,5 \omega_{p.v}(-) \quad (13)$$

б) для ПК в виде облегченных плит, устанавливаемых в покрытии помещения

$$\Delta P_{вскр} = 1,5 \text{ кПа}$$

$$\Delta P_{вскр} = q_{c.v.} + q_{d.h.} \cdot \zeta_{оч} \cdot q_{p.c.} \quad (14)$$

где $\omega_{p.v}(-)$ - расчетная ветровая нагрузка, определяемая так же, как и при расчете врачающихся ПК; $q_{c.v.}$ - нагрузка от собственного веса покрытия, приходящаяся на квадратную единицу площади ПК; $q_{d.h.}$ - дополнительная нагрузка (в расчете на единицу площади ПК), которую нужно приложить к ПК изнутри помещения (сверху $q_{c.v.}$ при $q = 0$) для того, чтобы вызвать отделение ПК от остальной части покрытия; $\zeta_{оч}$ - коэффициент, учитывающий степень очистки покрытия помещения от снега ($\zeta_{оч} = 0$, при регулярной очистке покрытия от снега; $\zeta_{оч} = 0,5$ при нерегулярной очистке покрытия от снега; $\zeta_{оч} = 1$, если очистка покрытия от снега не производится); $q_{p.c.}$ - расчетная снеговая нагрузка для покрытия помещения.

Величина $q_{d.h.}$ определяется расчетом, исходя из принятой конструкции покрытия и осуществляющего крепления к нему ПК. При этом должны соблюдаться неравенства:

$$при 2,5 \omega_{p.b}(-) - q_{c.e} > 0$$

$$q_{\partial.h.} \geq 2,5 \omega_{p.b}(-) - q_{c.e} \quad (15)$$

$$при 2,5 \omega_{p.b}(-) - q_{c.e} \leq 0$$

$$q_{\partial.h.} \geq 0$$

В случае отсутствия необходимых данных (например, о влиянии сил трения, водоизоляционного ковра и некоторых других факторов на вскрытие ПК) для определения величины $q_{\partial.h.}$ может использоваться дополнительное неравенство:

$$q_{\partial.h.} \geq 05(q_{c.e.} - \zeta_{o\chi} q_{p.ch}) \quad (16)$$

При этом, в качестве расчетного следует принимать наименьшее значение $q_{\partial.h.}$, удовлетворяющее условиям (15) и (16).

Из двух значений $\Delta P_{вскр.}$, определяемых по формулам (13) и (14), в качестве расчетного принимается большее.

Определение $\psi_{nк.i}$, характеризующее эффективность вскрытия стеновых панелей, определяется по формуле

$$\psi_{nк.i} = \frac{60K_{\psi}(a_i+b_i)}{\mu_i \cdot a_i \cdot b_i}, \quad (17)$$

где a_i, b_i - размеры стеновой панели, μ_i - масса стеновой панели, приходящаяся на квадратную единицу ее площади, кг/м²; $\Delta P_{вскр.}$ - коэффициент, значения которого в зависимости от скорости горения, $\Delta P_{вскр.}$; $\Delta P_{доп.}$, $V_{о.пом.}$, K_{ϕ} и θ определяется по данным табл. 6.

Если окажется, что вычисляемая по формуле (17) величина $\psi_{nк.i} > 1$, то нужно принять $\psi_{nк.i} = 1$.

Определение коэффициента $y_{nк.i}$ для ПК, устанавливаемых в покрытии взрывоопасных помещений, производится по формуле

$$\psi_{nк.i} = \frac{60K_{\psi}(a_i+b_i)}{\mu_i \cdot a_i \cdot b_i} \left[1 - \frac{0,01\mu_i}{\Delta P_{вскр.i}} \right] \quad (18)$$

где a_i, b_i - размеры сторон карт, на которые продольными и поперечными швами разрезаются водоизоляционный ковер и теплоизоляция покрытия для того, чтобы обеспечить вскрытие ПК, μ_i - масса вскрывающегося покрытия, приходящаяся на единицу площади ПК, кг/м²; $\Delta P_{вскр.i}$ - избыточное давление, при котором происходит вскрытие элементов покрытия, имеющих размеры a_i и b_i и удельную массу μ_i (определяется по формулам (14) при $\Delta P_{вскр} = \Delta P_{вскр.i}$),

кПа; K_ψ - коэффициент, значения которого определяются так же, как и в формуле (17).

Если окажется, что определяемая по формуле величина $\psi_{nk,i} > 1$, то нужно принять $\psi_{nk,i} = 1$. Значения a_i и b_i определяются принимаемыми размерами карт, а величина μ_i устанавливается, исходя из массы вскрывающейся части покрытия здания (сооружения).

Таблица 6
Значения коэффициентов K_ψ для проемов, перекрываемых смещающимися П.К.

a) медленно горящие смеси

$\Delta P_{вскр}$ кПа	$V_o.pom.$ m^3	$\theta,$ %	ΔP_{dop} , к Па					
			3,0			5,0		
			K_ψ			K_ψ		
			1	0,5	0,25	1	0,5	0,25
I	2	3	4	5	6	7	8	9
2	100	<3	5,848	2,924	1,462	30,197	15,099	7,549
		5-7	4,296	2,148	1,074	22,186	11,093	5,546
		9-11	3,289	1,645	0,822	16,986	8,493	4,247
		>15	2,105	1,053	0,526	10,871	5,436	2,718
	1000	<3	5,385	7,693	3,846	79,725	39,725	19,862
		5-7	12,156	6,078	3,039	62,775	31,388	15,694
		9-11	9,847	4,923	2,462	50,848	25,424	12,712
		>15	6,838	3,419	1,709	35,311	17,656	8,828
	10000	<3	46,056	23,028	11,514	237,833	118,917	59,458
		5-7	31,983	15,992	7,996	165,162	82,581	41,290
		9-11	17,991	8,995	4,498	92,904	46,452	23,226
		>15	11,514	5,757	2,879	59,458	29,729	14,865
2	100000	<3	149,598	74,799	37,400	772,521	386,260	193,130
		5-7	53,855	26,928	13,464	278,108	139,054	69,527
		9-11	23,936	11,968	5,984	123,603	61,802	30,901

		>15	13,464	6,732	3,366	69,527	34,763	17,382
3	100	<3	0,000	0,000	0,000	10,192	5,096	2,548
		5-7	0,000	0,000	0,000	7,488	3,744	1,872
		9-11	0,000	0,000	0,000	5,733	2,866	1,433
		>15	0,000	0,000	0,000	3,669	1,834	0,917
	1000	<3	0,000	0,000	0,000	26,814	13,407	6,704
		5-7	0,000	0,000	0,000	21,187	10,593	5,297
		9-11	0,000	0,000	0,000	17,161	8,581	4,290
		>15	0,000	0,000	0,000	11,917	5,959	2,979
	10000	<3	0,000	0,000	0,000	80,269	40,134	20,067
		5-7	0,000	0,000	0,000	55,742	27,871	13,936
		9-11	0,000	0,000	0,000	31,355	15,677	7,839
		>15	0,000	0,000	0,000	20,067	10,034	5,017
	100000	<3	0,000	0,000	0,000	260,726	130,363	65,465
		5-7	0,000	0,000	0,000	93,861	46,931	23,465
		9-11	0,000	0,000	0,000	41,716	20,858	10,429
		>15	0,000	0,000	0,000	23,465	11,733	5,866
2	10000	<3	0,000	0,000	0,000	80,269	40,134	20,067
		5-7	0,000	0,000	0,000	55,742	27,871	13,936
		9-11	0,000	0,000	0,000	31,355	15,677	7,839
		>15	0,000	0,000	0,000	20,067	10,034	5,017
	100000		0,000	0,000	0,000	260,726	130,363	65,181
			0,000	0,000	0,000	93,861	46,931	23,465
			0,000	0,000	0,000	41,716	20,858	10,429
			0,000	0,000	0,000	23,465	11,733	5,866

б) не быстро горящие смеси

		<3	0,398	0,199	0,099	2,053	1,027	0,513
--	--	----	-------	-------	-------	-------	-------	-------

		5-7	0,292	0,146	0,073	1,509	0,754	0,377
		9-11	0,224	0,112	0,056	1,155	0,578	0,289
		> 15	0,143	0,072	0,036	0,739	0,370	0,185
	1000			0,523	0,262	5,403	2,701	1,351
		5-7	0,827	0,413	0,207	4,269	2,134	1,067
		9-11	0,670	0,335	0,167	3,458	1,729	0,846
		>15	0,465	0,232	0,116	2,401	1,201	0,600
	10000	<3	3,132	1,566	0,783	16,173	8,086	4,043
		5-7	2,175	1,087	0,544	11,231	5,616	2,808
		9-11	1,223	0,612	0,306	6,317	3,159	1,579
		>15	0,783	0,391	0,196	4,043	2,022	1,011
	100000	<3	0,173	5,086	2,543	52,531	26,266	13,133
		5-7	3,662	1,831	0,916	18,911	9,456	4,728
		9-11	1,629	0,814	0,407	8,405	4,203	2,101
		> 15	0,916	0,458	0,229	4,728	2,346	1,182
3	100	<3	0,000	0,000	0,000	0,693	0,347	0,173
		5-7	0,000	0,000	0,000	0,509	0,255	0,127
		9-11	0,000	0,000	0,000	0,390	0,195	0,097
		>15	0,000	0,000	0,000	0,249	0,1125	0,062
3	1000	<3	0,000	0,000	0,000	1,823	0,912	0,456
		5-7	0,000	0,000	0,000	1,441	0,720	0,360
		9-11	0,000	0,000	0,000	1,167	0,583	0,292
		> 15	0,000	0,000	0,000	0,810	0,405	0,203
	10000	<3	0,000	0,000	0,000	5,458	2,729	1,365
		5-7	0,000	0,000	0,000	3,790	1,895	0,948
		9-11	0,000	0,000	0,000	2,132	1,066	0,533
		>15	0,000	0,000	0,000	1,365	0,682	0,341
	100000	<3	0,000	0,000	0,000	17,729	8,865	4,432

		5-7	0,000	0,000	0,000	6,383	3,191	1,596
		9-11	0,000	0,000	0,000	2,837	1,418	0,709
		>15	0,000	0,000	0,000	1,596	0,798	0,399

в) быстро горячие смеси

2	100	<3	0,009	0,005	0,002	0,048	0,024	0,012
		5-7	0,007	0,003	0,002	0,035	0,018	0,009
		9-11	0,005	0,003	0,001	0,027	0,014	0,007
		> 15	0,003	0,002	0,001	0,017	0,009	0,004
	1000	<3	0,025	0,012	0,006	0,127	0,064	0,032
		5-7	0,019	0,010	0,005	0,100	0,050	0,025
		9-11	0,016	0,008	0,004	0,081	0,041	0,020
		> 15	0,011	0,005	0,003	0,056	0,028	0,014
	10000	<3	0,074	0,037	0,018	0,381	0,190	0,095
		5-7	0,051	0,026	0,013	0,264	0,132	0,066
		9-11	0,029	0,014	0,007	0,149	0,074	0,037
		>15	0,018	0,009	0,005	0,095	0,048	0,024
	100000	<3	0,239	0,120	0,060	1,236	0,618	0,309
		5-7	0,086	0,0433	0,022	0,445	0,222	0,111
		9-11	0,038	0,019	0,010	0,198	0,099	0,049
		> 15	0,022	0,011	0,005	0,111	0,056	0,028
3	100	<3	0,000	0,000	0,000	0,016	0,008	0,004
		5-7	0,000	0,000	0,000	0,012	0,006	0,003
		9-11	0,000	0,000	0,000	0,009	0,005	0,002
		>15	0,000	0,000	0,000	0,006	0,003	0,001
	1000	<3	0,000	0,000	0,000	0,043	0,021	0,011
		5-7	0,000	0,000	0,000	0,034	0,017	0,008
		9-11	0,000	0,000	0,000	0,027	0,014	0,007
		>15	0,000	0,000	0,000	0,019	0,010	0,005
	10000	<3	0,000	0,000	0,000	0,128	0,064	0,032
		5-7	0,000	0,000	0,000	0,089	0,045	0,022
		9-11	0,000	0,000	0,000	0,050	0,025	0,013
		> 15	0,000	0,000	0,000	0,032	0,016	0,008
	100000	<3	0,000	0,000	0,000	0,417	0,209	0,104
		5-7	0,000	0,000	0,000	0,150	0,075	0,038
		9-11	0,000	0,000	0,000	0,067	0,033	0,017
		> 15	0,000	0,000	0,000	0,038	0,019	0,009

Пример расчета

1. Помещение компрессорной, в наружном ограждении которого предусматривается устройство ПК, размещается в одноэтажном сборном железобетонном сооружении. Размеры помещения по длине, ширине и высоте составляют соответственно: $a_n = 42$ м, $b_n = 18$ м и $h_n = 13,2$ м. Объем помещения без учета располагаемых в нем оборудования и элементов строительных конструкций, $V_{o.pom}$ - 10000 м³. Степень загромождения помещения оборудованием и элементами строительных конструкций $\theta = 10\%$.

При этом 40% оборудования и элементов строительных конструкций, находящихся на пути распространения пламени в помещении, являются малогабаритными и 60% - крупногабаритными преградами, (рис.3).

При указанных исходных данных:

Свободный объем помещения согласно (5)

$$V_{nom} = 1000 \cdot (1 - 0,01 \cdot 10) = 9000 \text{ м}^3;$$

$$\text{Площадь стен помещения } S_{cm} = 1585 \text{ м}^2;$$

$$\text{Площадь покрытия помещения } S = 755 \text{ м}^2.$$

Допускаемое избыточное давление в помещении принимается $\Delta P_{don} = 3 \text{ кПа}$.

Строительство сооружения предусматривается в третьем снеговом и ветровом районе РФ. Тип местности А. В аварийной ситуации в помещении может образоваться пропиленовоздушная ГС.

2. Требуемая площадь открытых проемов в наружном ограждении помещения определяется по формуле (3). Для вычисления S_{otkr} по этой

формуле предварительно устанавливаем:

а) значение коэффициента K_{ec} , характеризующего тип ГС, который для пропиленовоздушной смеси (не быстрогорящей ГС) составляет, $K_{ec} = 2$;

б) по данным таблицы 1 показатель интенсификации горения $a = 10,8$;

в) по формуле (6) коэффициент $K_\phi = 0,537$.

После этого, имея в виду, что $V_{nom} = 9000 \text{ м}^3$ и $\Delta P_{don} = 3 \text{ кПа}$. по формуле (3) получим:

Для варианта 1 ($\Delta P_{don} = 3 \text{ кПа}$) с

$$S = \frac{0,2 \cdot 10,8 \cdot 0,537 \cdot 9000^{2/3}}{3^{1/2}} = 290 \text{ м}^2$$

Для варианта 2 ($\Delta P_{don} = 5 \text{ кПа}$)

$$S = \frac{0,2 \cdot 10,8 \cdot 0,537 \cdot 9000^{2/3}}{5^{1/2}} = 225 \text{ м}^2$$

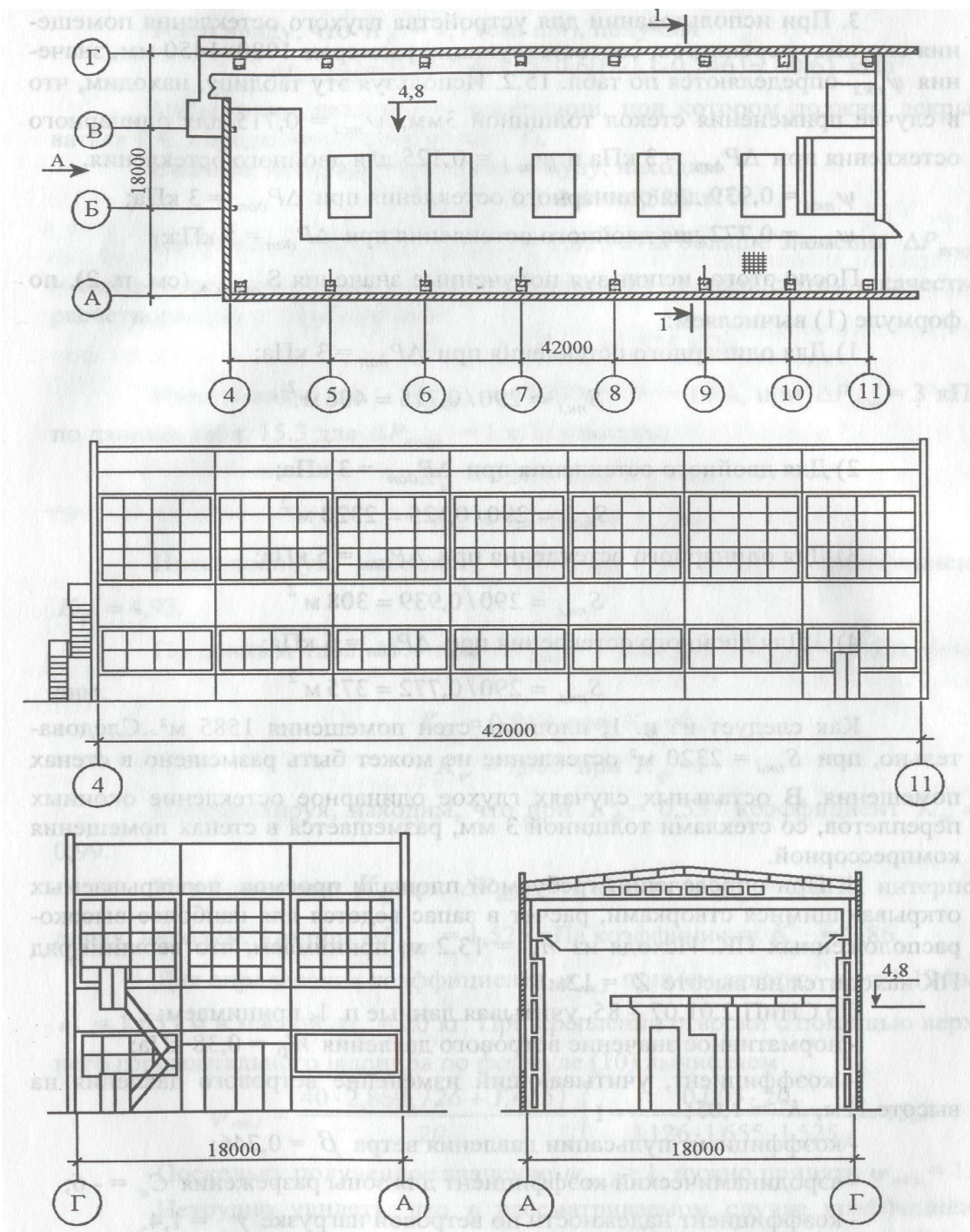


Рис. 3. План здания в - вид здания компрессорного отделения: а - главный фасад; б - здания по стрелке А; г - поперечное сечение здания 1-1

3. При использовании для устройства глухого остекления помещения оконных переплетов, соответствующих размерам $1080^x 1450$ мм, значения $\psi_{nk,i}$ определяются по табл.2. Используя эту таблицу, находим, что в случае применения стекол толщиной 3мм, $\psi_{nk,i} = 0,715$ для одинарного остекления при $\Delta P_{don} = 3$ кПа и $\psi_{nk,i} = 0,125$ для двойного остекления.

$\psi_{nk,i} = 0,939$ для одинарного остекления при $\Delta P_{don} = 3$ кПа;

$\psi_{nk,i} = 0,772$ для двойного остекления при $\Delta P_{don} = 5$ кПа;

После этого, используя полученные значения S_{omkp} , (см. п. 2), по формуле (1) вычисляем:

1) Для одинарного остекления при $\Delta P_{don} = 3 \text{ кПа}$;

$$S_{nki} = 290 / 0,715 = 406 \text{ м}^2$$

2) Для двойного остекления при $\Delta P_{don} = 3 \text{ кПа}$;

$$S_{nki} = 290 / 0,125 = 2320 \text{ м}^2$$

3) Для одинарного остекления при $\Delta P_{don} = 5 \text{ кПа}$;

$$S_{nki} = 290 / 0,939 = 308 \text{ м}^2$$

4) Для двойного остекления при $\Delta P_{don} = 5 \text{ кПа}$;

$$S_{nki} = 290 / 0,772 = 375 \text{ м}^2$$

Как следует из п.1, площадь стен помещения 1585 м^2 . Следовательно, при $S_{nki} = 2320 \text{ м}^2$ остекление не может быть размещено в стенах помещения. В остальных случаях глухое одинарное остекление оконных переплетов, со стеклами толщиной 3 мм, размещается в стенах помещения компрессорной.

4. При определении требуемой площади проемов, перекрываемых открывающимися створками, расчет в запас ведется для наиболее высокорасположенных ПК. Исходя из $h_n = 13,2 \text{ м}$, принимаем, что верхний ряд ПК находится на высоте $Z = 12 \text{ м}$.

По СНиП 2.01.07 - 85, учитывая данные п.1, принимаем:

- нормативное значение ветрового давления $W_0 = 0,38 \text{ кПа}$;

- коэффициент, учитывающий изменение ветрового давления на высоте 12 м, $K = 1,05$;

- коэффициент пульсации давления ветра $\beta = 0,746$;

- аэродинамический коэффициент для зоны разрежения $C_e = -6$;

- коэффициент надежности по ветровой нагрузке $\gamma_f = 1,4$.

Для определения $\omega_{p.v}(-)$ используется формула

$$\omega_{p.v}(-) = W_0 \cdot \gamma_f \cdot K \cdot C_e \cdot (1 + K_d \cdot \beta)$$

Имея ввиду, что $K_d = 1,1$ (см. п.4), получим

$$\omega_{p.v}(-) = 0,38 \cdot 1,4 \cdot 1,05 \cdot 0,6 \cdot (1 + 1,1 \cdot 0,746) = -0,61 \text{ кПа}$$

Избыточное давление в помещении, при котором должны вскрываться ПК, определяем по формулам (8).

Вначале, используя вторую формулу, находим

$$\Delta P_{vskr.i} = 2,5 - 0,61 = 1,525 \text{ кПа}$$

Полученное значение $\Delta P_{vskr} = 1,525 \text{ кПа}$ больше значения $\Delta P_{vskr} = 1 \text{ кПа}$, определяемого по второй из формул (8). В связи с этим в качестве расчетного принимаем значение

$$\Delta P_{vskr.i} = \Delta P_{vskr} = 1,525 \text{ кПа.}$$

Имея в виду, что $V_{o.pom} = 10000 \text{ м}^3$, $\theta = 10\%$, при $\Delta P_{don} = 3 \text{ кПа}$ по данным табл. 3 для $\Delta P_{vskr} = 1 \text{ кПа}$ находим:

$$K_\psi = 4,588 \text{ при } K_\phi = 0,5;$$

$$K_\psi = 9,175 \text{ при } K_\phi = 1.$$

Интерполируя, находим, что при $K_\phi = 0,537$, коэффициент $K_\psi = 4,93$.

По данным табл. 4 при $\Delta P_{don} = 3$ кПа для $\Delta P_{вскр} = 2$ кПа находим:

$K_\psi = 0,918$ при $K_\phi = 0,5$;

$K_\psi = 1,835$ при $K_\phi = 1$

Интерполируя, находим, что при $K_\phi = 0,537$ коэффициент $K_\psi = 0,99$.

Имея значение K_ψ при $\Delta P_{вскр} = 1$ кПа и $\Delta P_{вскр} = 2$ кПа, интерполируя, находим, что при $\Delta P_{вскр} = 1,525$ кПа коэффициент $K_\psi = 2,86$.

Для определения коэффициента ψ_{nki} примем створку $a_i = 1,126$ м, $b_i = 1,655$ м и массой $\mu_i = 20$ кг. При креплении створки с помощью верхнего горизонтального шарнира по формуле (10) вычисляем:

$$\psi_{nki} = \frac{40 \cdot 2,86(1,126 + 1,655)}{20} \left[1 - \frac{0,005 \cdot 20}{1,126 \cdot 1,655 \cdot 1,525} \right] = 15,3$$

Поскольку полученное значение $\psi_{nki} > 1$, нужно принять $\psi_{nki} = 1$. Нетрудно увидеть, что в рассматриваемом случае коэффициент ψ_{nki} будет равен единице не только для одинарного, но и для двойного остекления при любом расположении шарнира.

Используя полученное значение $S_{откр}$ по формуле (1) вычисляем

- при $\Delta P_{don} = 3$ кПа

$$S_{nki} = 290/1 = 290 \text{ м}^2$$

- при $\Delta P_{don} = 5$ кПа

$$S_{nki} = 225/1 = 225 \text{ м}^2$$

5. Смещающиеся ПК выполнены в виде облегченных плит в покрытии здания. Нагрузка от собственного веса покрытия, приходящаяся на единицу площади ПК, составляет $q_{ce} = 0,7$ кПа. Водоизоляционный ковер и теплоизоляция покрытия разрезаются на карты размером 7,5х6м.

Определение расчетной ветровой нагрузки производится по формуле (19) при $z = 15$ м. Определяя значения W_0, γ_f, K, C_e и $\xi_{0,2}$ по СНиП 2.01.07-85 и имея в виду, что $K_d = 1,1$, получим

$$q_{p.e.} (-) = 0,38 \cdot 1,4 \cdot 1,125 \cdot 0,7(1 + 1,1 \cdot 0,725) = -0,753 \text{ кПа}$$

Определение расчетной снеговой нагрузки производится по формуле

$$q_{p.cn} = p_0 \cdot \xi \cdot \gamma_f$$

Принимаемое по СНиП 2.01.07 - 85 значение $p_0 = 1$ кПа, $\xi = 1$

(для пологих скатов покрытия) и $\gamma_f = 1,4$, получим

$$q_{p.cn} = 1 \cdot 1 \cdot 1,4 = 1,4 \text{ кПа}$$

Избыточное давление в помещении, при котором должны вскрываться ПК, определяем по формулам (14), (15) и (16).

Вначале по формуле (15), имея в виду, что $-2,5q_{p.e}(-) - q_{ce} > 0$, устанавливаем

$$q_{d.h} > 2,5 \cdot 0,753 - 0,7 = 1,18 \text{ кПа}$$

По формуле (16) находим:

- при $\xi_{0,4} = 1$; $q_{d.h} \geq 0,5(0,7 + 1 \cdot 1,4) = 1,05$ кПа

- при $\xi_{0,4} = 0,5$; $q_{d.h} \geq 0,5(0,7 + 0,5 \cdot 1,4) = 0,7$ кПа

- при $\zeta_{oq} = 0$; $q_{o,h} \geq 0,5(0,7 + 0 \cdot 1,4) = 0,35$ кПа

Используя полученные данные, по второй из формул (14) определяем:

- при $\zeta_{oq} = 1$; $\Delta P_{вскр} = 0,7 + 1,18 + 1 - 1,4 = 3,28$ кПа.

- при $\zeta_{oq} = 0,5$; $\Delta P_{вскр} = 0,7 + 1,18 + 0,5 - 1,4 = 2,58$ кПа

- при $\zeta_{oq} = 0$; $\Delta P_{вскр} = 0,7 + 1,18 + 0 - 1,4 = 1,88$ кПа

Все полученные значения $\Delta P_{вскр}$ больше значения $\Delta P_{вскр} = 1,5$ кПа, определяемого первой из формул (14).

В связи с этим для определения коэффициентов K_ψ нужно принимать значения $\Delta P_{вскр} = 1,88$ кПа ($\zeta_{oq} = 0$), $\Delta P_{вскр} = 2,58$ кПа ($\zeta_{oq} = 0,5$), $\Delta P_{вскр} = 3,28$ кПа ($\zeta_{oq} = 1$).

При $\Delta P_{вскр} = 2$ кПа, $\Delta P_{don} = 3$ кПа, $K_\psi = 0,537$, $V_{o,птм} = 10000\text{м}^3$ и $\theta = 10\%$ по табл. 6 находим $K_\psi = 0,637$. При $\Delta P_{вскр} = 3$ кПа и $\Delta P_{don} = 3$ кПа, как следует из табл. 6, $K_\psi = 0$.

Используя эти данные, получим:

$K_\psi = 0,713$ для $\Delta P_{вскр} = 1,88$ кПа (путем экстраполяции);

$K_\psi = 0,267$ для $\Delta P_{вскр} = 2,58$ кПа (путем экстраполяции);

$K_\psi = 0$ для $\Delta P_{вскр} = 3,28$ кПа (путем экстраполяции);

Подставляя в выражение (18) значение $a_i = 6$ м, $b_i = 7,5$ м и $\mu_i = 70$ кг/м², а также соответствующие значения K_ψ и $\Delta P_{вскр}$, получим:

1) при $\Delta P_{don} = 3$ кПа и $\Delta P_{вскр} = \Delta P_{вскр} = 1,88$ кПа

$$\psi_{nki} = \frac{60 \cdot 0,713(6 + 7,5)}{70 \cdot 6 \cdot 7,5} \left[1 - \frac{0,01 \cdot 70}{1,88} \right] = 0,115;$$

2) при $\Delta P_{don} = 3$ кПа и $\Delta P_{вскр} = \Delta P_{вскр} = 2,58$ кПа

$$\psi_{nki} = \frac{60 \cdot 0,267(6 + 7,5)}{70 \cdot 6 \cdot 7,5} \left[1 - \frac{0,01 \cdot 70}{2,58} \right] = 0,105;$$

3) при $\Delta P_{don} = 3$ кПа и $\Delta P_{вскр} = \Delta P_{вскр} = 3,28$ кПа

$$\psi_{nki} = \frac{60 \cdot 0(6 + 7,5)}{70 \cdot 6 \cdot 7,5} \left[1 - \frac{0,01 \cdot 70}{3,28} \right] = 0;$$

4) при $\Delta P_{don} = 5$ кПа и $\Delta P_{вскр} = \Delta P_{вскр} = 1,88$ кПа

$$\psi_{nki} = \frac{60 \cdot 3,66(6 + 7,5)}{70 \cdot 6 \cdot 7,5} \left[1 - \frac{0,01 \cdot 70}{1,88} \right] = 0,591;$$

5) при $\Delta P_{don} = 5$ кПа и $\Delta P_{вскр} = \Delta P_{вскр} = 2,58$ кПа

$$\psi_{nki} = \frac{60 \cdot 2,09(6 + 7,5)}{70 \cdot 6 \cdot 7,5} \left[1 - \frac{0,01 \cdot 70}{2,58} \right] = 0,392;$$

6) при $\Delta P_{don} = 5$ кПа и $\Delta P_{вскр} = \Delta P_{вскр} = 3,28$ кПа

$$\psi_{nki} = \frac{60 \cdot 0,98(6 + 7,5)}{70 \cdot 6 \cdot 7,5} \left[1 - \frac{0,01 \cdot 70}{3,28} \right] = 0,198;$$

После этого, используя полученные значения S_{omkr} , по формуле (1) вычисляем:

1) при $\Delta P_{don} = 3$ кПа и $\zeta_{oq} = 0$

$$S_{nki} = 290 / 0,115 = 2522 \text{ м}^2$$

2) при $\Delta P_{don} = 3$ кПа и $\zeta_{oq} = 0,5$

$$S_{nki} = 290/0,05 = 5800 \text{ м}^2$$

3) при $\Delta P_{don} = 3 \text{ кПа}$ и $\zeta_{o\cdot} = 1$

$$S_{nki} = 290/0 = \infty$$

4) при $\Delta P_{don} = 5 \text{ кПа}$ и $\zeta_{o\cdot} = 0$

$$S_{nki} = 225/0,591 = 380 \text{ м}^2$$

5) при $\Delta P_{don} = 5 \text{ кПа}$ и $\zeta_{o\cdot} = 0,5$

$$S_{nki} = 225/0,392 = 574 \text{ м}^2$$

6) при $\Delta P_{don} = 5 \text{ кПа}$ и $\zeta_{o\cdot} = 1$

$$S_{nki} = 225/0,198 = 1136 \text{ м}^2$$

Как следует из п. 1, площадь покрытия помещения $S_{nокр} = 755 \text{ м}^2$.

Следовательно, для снижения избыточного давления в помещении до

$\Delta P_{don} = 3 \text{ кПа}$ необходимо дополнительно устраивать ПК в стенах помещения.

При $\Delta P_{don} = 5 \text{ кПа}$ в случае очистки покрытия помещения от снега (регулярной и нерегулярной) требуемая площадь проемов, перекрываемых облегченными плитами, может быть размещена в покрытии.

6. В наружном ограждении помещения компрессорной установлены две двупольные двери марки ПД 6 и ворота марки ВР36*36-С.В покрытии помещения имеется 300 м^2 проемов, перекрываемых облегченными плитами.

Согласно таблице 5 принимаются следующие характеристики створок двупольных дверей: $a_i = 0,9 \text{ м}$, $b_i = 2,4 \text{ м}$ и $\mu_i = 172 \text{ кг}$.

Поскольку для открывающихся створок оконных переплетов при $Z = 12 \text{ м}$ величины $\Delta P_{вскр} = 1,525 \text{ кПа}$ (см. п. 4), для дверей и ворот, расположенных в нижней части стены, с некоторым запасом может быть принято $\Delta P_{вскр} = 1,5 \text{ кПа}$.

Используя данные п. 4 при $\Delta P_{don} = 3 \text{ кПа}$ и $\Delta P_{вскр} = 1,5 \text{ кПа}$, устанавливаем

$$K_\psi = \frac{4,93 + 0,99}{2} = 2,96$$

После этого по формуле (9) вычисляем

$$\psi_{nki} = \psi_{nk} = \frac{40 \cdot 2,96(0,9 + 2,4)}{172} = 2,27$$

Следовательно, как при $\Delta P_{don} = 3 \text{ кПа}$, так и при $\Delta P_{don} = 5 \text{ кПа}$ нужно принимать $\psi_{nki} = \psi_{nk} = 1$

Характеристики створок двупольных ворот принимаются следующие: $a_i = 1,8 \text{ м}$, $b_i = 3,6 \text{ м}$ и $\mu_i = 413 \text{ кг}$. При $\Delta P_{don} = 3 \text{ кПа}$ по формуле (9) вычисляем

$$\psi_{nki} = \psi_{nk} = \frac{40 \cdot 2,96(1,8 + 3,6)}{413} = 1,55$$

Следовательно, как при $\Delta P_{don} = 3 \text{ кПа}$, так и при $\Delta P_{don} = 5 \text{ кПа}$ нужно принимать $\psi_{nki} = \psi_{nk} = 1$

Для облегченных плит, устанавливаемых в покрытии помещения при регулярной очистке от снега, имеем:

$\psi_{nki} = \psi_{nk_3} = 0,115$ при $\Delta P_{don} = 3 \text{ кПа}$;

$\psi_{nki} = \psi_{nk_3} = 0,591$ при $\Delta P_{don} = 5 \text{ кПа}$;

Согласно п. 3 при использовании для глухого остекления стекол толщиной 3 мм, имеем:

$\psi_{nki} = \psi_{nk4} = 0,639$ для одинарного остекления $\Delta P_{don} = 3$ кПа;

$\psi_{nki} = \psi_{nk4} = 0,173$ для двойного остекления $\Delta P_{don} = 3$ кПа;

$\psi_{nki} = \psi_{nk4} = 0,912$ для одинарного остекления $\Delta P_{don} = 5$ кПа;

$\psi_{nki} = \psi_{nk4} = 0,664$ для двойного остекления $\Delta P_{don} = 5$ кПа.

Расчетная площадь вскрывающихся проемов может быть принята

$$S_{nki} = S_{nk1} = 2 \cdot 0,9 \cdot 2,4 = 4,32 \text{ м}^2$$

для дверей и для ворот.

$$S_{nki} = S_{nk1} = 1,8 \cdot 3,6 = 6,48 \text{ м}^2$$

Площадь проемов в покрытии помещения $S_{nki} = S_{nk3} = 300 \text{ м}^2$

Для определения требуемой площади застекленных проемов в стенах помещения ($S_{nki} = S_{nk4i}$) воспользуемся выражением (2).

Из этого выражения следует

$$S_{nk4} = \frac{S_{откр} - S_{nk1} \cdot \psi_{nk1} - S_{nk2} \cdot \psi_{nk2} - S_{nk3} \cdot \psi_{nk3}}{\psi_{nk4}}$$

При $\Delta P_{don} = 3$ кПа получим

$$S_{nk4} = \frac{290 - 4,32 \cdot 1 - 6,48 \cdot 1 - 300 \cdot 0,115}{\psi_{nk4}} = \frac{244,7}{\psi_{nk4}}$$

При $\Delta P_{don} = 5$ кПа получим

$$S_{nk4} = \frac{225 - 4,32 \cdot 1 - 6,48 \cdot 1 - 300 \cdot 0,591}{\psi_{nk4}} = \frac{36,9}{\psi_{nk4}}$$

Используя две последние формулы, определяем:

$S_{nk4} = 244,7 / 0,639 = 383 \text{ м}^2$ в случае устройства одинарного остекления при $\Delta P_{don} = 3$ кПа;

$S_{nk4} = 244,7 / 0,173 = 1414,5 \text{ м}^2$ в случае устройства двойного остекления при $\Delta P_{don} = 3$ кПа;

$S_{nk4} = 36,9 / 0,912 = 40 \text{ м}^2$ в случае устройства одинарного остекления при $\Delta P_{don} = 5$ кПа;

$S_{nk4} = 36,9 / 0,664 = 56 \text{ м}^2$ в случае устройства двойного остекления при $\Delta P_{don} = 5$ кПа;

Необходимо иметь в виду, что использование дверей и ворот в качестве ПК следует предусматривать только в тех случаях, когда гарантируется их вскрытие при избыточном давлении, не превышающим расчетную величину ΔP_{don} . При использовании в качестве ПК облегченных плит в покрытии помещения необходимо обеспечить не только надежное их вскрытие при принятой величине $\Delta P_{вскр}$, но и образование между вскрывающимися картами отверстий, необходимых для истечения газа из помещения при взрывном горении ГС. Если образование таких отверстий не гарантируется, то всю вскрывающуюся часть покрытия следует рассматривать как одну карту, что резко снижает величину коэффициента ψ_{nki} . В связи с изложенным, там, где это возможно, преимущественно в качестве ПК следует использовать стекла окон помещений.

Практическая работа №7

СРЕДСТВА ИНДИВИДУАЛЬНОЙ ЗАЩИТЫ РАБОТАЮЩИХ

Цель: получить практические навыки определения видов средств индивидуальной защиты (СИЗ).

Нормативная документация

- ГОСТ 12.4.103–83 (выборка). Одежда специальная защитная, средства индивидуальной защиты ног и рук. Классификация.
- Межотраслевые правила обеспечения работников специальной одеждой, специальной обувью и другими средствами индивидуальной защиты (выборка).
- ГОСТ 12.0.003–2015 (выборка). Опасные и вредные производственные факторы. Классификация.
- ГОСТ 12.4.034–2017. Средства индивидуальной защиты органов дыхания. Классификация и маркировка (выборка).

Указанные нормативные документы приведены в прил. Б.

Алгоритм выполнения работы

1. Изучите методические указания к практической работе и Межотраслевые правила обеспечения работников специальной одеждой, специальной обувью и другими средствами индивидуальной защиты.
2. Выберите вариант задания из табл. 1.2.
3. После изучения методических указаний и ГОСТ 12.4.034– 2001 «Средства индивидуальной защиты органов дыхания. Классификация и маркировка» (выборка) на практике закрепите понимание понятия «средства индивидуальной защиты работающих (СИЗ)». Определите, какие средства индивидуальной защиты необходимо применить для защиты работников. Результаты представьте в виде табл. 1.1.
4. Определите ответственных за выполнение элементов процедуры, заполнив табл. 1.3 на основании документа «Межотраслевые правила обеспечения работников специальной одеждой, специальной обувью и другими средствами индивидуальной защиты» (выборка).

Таблица 1.1

Наименование профессии, перечень оборудования	Опасные и вредные производственные факторы	Средства индивидуальной защиты

Пример оформления

Наименование профессии, перечень оборудования	Опасные и вредные производственные факторы	Средства индивидуальной защиты
	<p>3. Опасные и вредные производственные факторы, обладающие свойствами психофизиологического воздействия на организм человека</p> <p>3.1.Нервно-психические перегрузки, связанные с напряженностью трудового процесса</p> <p>3.2Динамические нагрузки, связанные с повторением стереотипных рабочих движений</p>	—

Таблица 1.2
Варианты для выполнения задания

№ варианта	Задание
1	Электромонтер по ремонту и обслуживанию электрооборудования Электрооборудование, высоковольтные электрические машины и электроаппараты различных типов и систем с напряжением до 15 кВ, кабельные сети, контрольно-измерительный инструмент и инструмент для ремонта
2	Маляр строительный Металлические шпатели, скребки, щетки, ветошь, пылесос, компрессор, лакокрасочные, отделочные материалы
3	Слесарь по ремонту и обслуживанию автомобилей Слесарный инструмент, шлифовальные машины, пилы, рубанки, пневматические устройства
4	Сварщик арматурных сеток и каркасов Автоматические многоточечные сварочные машины с программным управлением, неподвижные стойки, столы
5	Чеканщик Пневматический молоток, сосуды и аппараты, работающие под давлением до 300 кПа (3 атм), приспособления и контрольно-измерительные инструменты для чеканки и рубки кромок
6	Зуборезчик Зуборезные станки различных типов и моделей; универсальные и специальные приспособления; контрольно-измерительные инструменты и приборы; режущий инструмент

Продолжение табл. 1.2

№ варианта	Задание
7	Вышкомонтажник-сварщик Оборудование для выполнения электро-, газосварочных работ (всех типов стальных труб), оборудование для резки труб, оборудование длястыковки труб, подъемно-транспортное оборудование
8	Машинист экскаватора Одноковшовые экскаваторы с ковшом емкостью свыше 0,4 м ³ до 1,25 м ³ , механическое, гидравлическое и электрическое оборудование
9	Слесарь-сборщик радиоэлектронной аппаратуры и приборов Узлы и блоки радиоэлектронной аппаратуры и аппаратуры средств связи, слесарный и сборочный инструмент
10	Аппаратчик гидратации Аппарат гидратации, химические реагенты, контрольно-измерительные приборы

Бланк выполнения задания 1

Таблица 1.1

Наименование профессии, перечень оборудования	Опасные и вредные производственные факторы	Средства индивидуальной защиты

Таблица 1.3

№ п/п	Элемент процедуры	Ответственный
1	Приобретение СИЗ	
	Организация выдачи СИЗ	
	Организация сертификации СИЗ	
	Уход и хранение СИЗ	
	Химчистка/стирка СИЗ	
	Ремонт СИЗ	
	Замена СИЗ	
	Учет выдачи СИЗ	

Практическая работа №8
ПРОВЕДЕНИЕ ПРОИЗВОДСТВЕННОГО КОНТРОЛЯ НА
РАБОЧИХ МЕСТАХ

Цель: получить практические навыки разработки программы производственного контроля на рабочих местах.

Нормативная документация

Санитарные правила СП 1.1.1058-01. Организация и проведение производственного контроля за соблюдением санитарных правил и выполнением санитарно-противоэпидемических (профилактических) мероприятий.

Указанный нормативный документ приведен в прил. Г.

Алгоритм выполнения работы

1. Ознакомьтесь с нормативной документацией по организации и проведению производственного контроля.
2. Выберите по табл. 3.1 вариант выполнения работы.
3. Заполните табл. 3.2 для выбранного рабочего места.

Таблица 3.1
Варианты заданий

№ варианта	Задание
1	Электромонтер по ремонту и обслуживанию электрооборудования Электрооборудование, высоковольтные электрические машины и электроаппараты различных типов и систем с напряжением до 15 кВ, кабельные сети, контрольно-измерительный инструмент и инструмент для ремонта
2	Маляр строительный Металлические шпатели, скребки, щетки, ветошь, пылесос, компрессор, лакокрасочные, отделочные материалы
3	Слесарь по ремонту и обслуживанию автомобилей Слесарный инструмент, шлифовальные машины, пилы, рубанки, пневматические устройства
4	Сварщик арматурных сеток и каркасов Автоматические многоточечные сварочные машины с программным управлением, неподвижные стойки, столы

5	Чеканщик Пневматический молоток, сосуды и аппараты, работающие под давлением до 300 кПа (3 атм), приспособления и контрольно-измерительные инструменты для чеканки и рубки кромок
6	Зуборезчик Зуборезные станки различных типов и моделей; универсальные и специальные приспособления; контрольно-измерительные инструменты и приборы; режущий инструмент
7	Вышкомонтажник-сварщик Оборудование для выполнения электро-, газосварочных работ (всех типов стальных труб), оборудование для резки труб, оборудование длястыковки труб, подъемно-транспортное оборудование
8	Машинист экскаватора Одноковшовые экскаваторы с ковшом емкостью свыше 0,4 м до 1,25 м ³ , механическое, гидравлическое и электрическое оборудование
9	Слесарь-сборщик радиоэлектронной аппаратуры и приборов Узлы и блоки радиоэлектронной аппаратуры и аппаратуры средств связи, слесарный и сборочный инструмент
10	Аппаратчик гидратации Аппарат гидратации, химические реагенты, контрольно-измерительные приборы

Пример заполнения таблицы
Разработка программы производственного контроля

Наименование рабочего места	Перечень используемого оборудования	Опасные и вредные производственные факторы	Факторы производственного контроля	Периодичность контроля
Сварщик (ручная дуговая сварка)	Сварочный трансформатор, электроды	1. Опасные и вредные производственные факторы, связанные с аномальными микроклиматическими параметрами воздушной среды на местонахождении работающего человека	1. Температура воздуха рабочей зоны	2 раза в год
		2. Вещества, обладающие острой токсичностью по воздействию на организм	2. Воздух рабочей зоны	1 раз в год

	3. Опасные и вредные производственные факторы, связанные с механическими колебаниями твердых тел и их поверхностей и характеризуемые повышенным уровнем и другими неблагоприятными характеристиками шума	3. Уровень шума	1 раз в год
	4. Опасные и вредные производственные факторы, связанные с ультрафиолетовым излучением	4. Доза УФИ	1 раз в год

Бланк выполнения задания 3

Таблица 3.2

Наименование рабочего места	Перечень используемого оборудования	Опасные и вредные производственные факторы	Факторы производственного контроля	Периодичность контроля

Практическая работа №9
РАСЧЕТ ЕМКОСТИ И ПЛОЩАДИ ПОЛИГОНА ДЛЯ ТВЕРДЫХ
БЫТОВЫХ ОТХОДОВ

Цель: получить практические навыки расчета емкости и площади полигона.

Нормативная документация

Инструкция по проектированию, эксплуатации и рекультивации полигонов для твердых бытовых отходов (выборка).

Указанный нормативный документ приведен в прил. Л.

Расчет проектной вместимости полигона ТБО

Исходные данные

Расчетный период эксплуатации, лет

$T = 20$.

Удельная годовая норма накопления ТБО по объему на первый год эксплуатации, $\text{м}^3/\text{чел}/\text{год}$.

$Y_1 = 1,1$.

Количество обслуживаемого населения в первый год эксплуатации, чел.

$H_1 = 300\ 000$.

Количество обслуживаемого населения в последний год эксплуатации, чел.

$H_2 = 400\ 000$.

Высота складирования ТБО, м

$H_{\Pi} = 40$ м.

Вместимость полигона E_T на расчетный срок определяется по формуле

$$E_T = (Y_1 + Y_2) \cdot (H_1 + H_2) \cdot T \cdot K_2 : 4K_1, \quad (1)$$

где Y_1 и Y_2 – удельные годовые нормы накопления ТБО по объему на 1-й и последний годы эксплуатации, $\text{м}^3/\text{чел}/\text{год}$; H_1 и H_2 – количество обслуживаемого полигоном населения на 1-й и последний годы эксплуатации, чел.; T – расчетный срок эксплуатации полигона, лет; K_1 – коэффициент, учитывающий уплотнение ТБО в процессе эксплуатации полигона на весь срок T ; K_2 – коэффициент, учитывающий объем наружных изолирующих слоев грунтов (промежуточный и окончательный).

Значение коэффициента Y_1 – удельной годовой нормы накопления ТБО по объему на первый год эксплуатации, $\text{м}^3/\text{чел}/\text{год}$.

Согласно исходным данным, $Y = 1,1 \text{ м}^3/\text{чел}/\text{год}$.

Рассчитаем удельную годовую норму накопления ТБО по объему на 2-й год эксплуатации. Она определяется из условия ее ежегодного роста по объему на 3 % (среднее значение по РФ – 3–5 %). То есть рост составляет 1,03.

Таким образом, получить эту норму можно, если перемножить удельную годовую норму накопления ТБО по объему на первый год эксплуатации, величину ее ежегодного роста и расчетный срок эксплуатации:

$$Y_2 = 1,1 \cdot 1,0320 = 1,1 \cdot 1,805 = 1,99 \text{ куб. м/чел/год.}$$

Определим значения коэффициентов, входящих в формулу для расчета проектной вместимости полигона.

Значение коэффициента K_1 , учитывающего уплотнение в процессе эксплуатации полигона, определим по табл. 9.2. Для массы бульдозера, равной 14 т, K_1 принимаем равным 4.

Значение коэффициента K_2 , учитывающего объем изолирующих слоев, для значения высоты складирования ТБО, равной 40 м, $K_2 = 1,18$.

Таким образом, величина проектной вместимости полигона ТБО E_T :

$$E_T = (1,1 + 1,99) \cdot (250\,000 + 350\,000) \cdot 20 \cdot 1,18/16 = 2734,65 \text{ м}^3.$$

Расчет требуемой площади земельного участка полигона

Площадь участка складирования ТБО определяется по формуле

$$\Phi_{y.c} = 3 \cdot E_T : H_P,$$

где 3 – коэффициент, учитывающий заложение внешних откосов 1:4; H_P – высота полигона, равная 40 м.

Проведем необходимые расчеты:

$$\Phi_{y.c} = 3 \cdot 2\,734\,650 : 40 = 205\,099 \text{ кв. м} = 20,5 \text{ га.}$$

Требуемая площадь полигона составит

$$\Phi = 1,1 \cdot \Phi_{y.c} + \Phi_{\text{доп}}, \quad (2) \text{ где } 1,1 \text{ – коэффициент,}$$

учитающий полосу вокруг участка складирования; $\Phi_{\text{доп}}$ – площадь участка хозяйственной зоны и площадки мойки контейнеров. В данной работе принимаем их равными 1,0.

$$\Phi = 1,1 \cdot 20,5 + 1,0 = 23,6 \text{ га.}$$

Таблица 9.1

Исходные данные для выполнения расчетов

№ варианта	Расчетный срок эксплуатации, Т	Кол-во обслуж. населения на год (проект), Н1	Прогнозируемое кол-во обслуж. населения, Н2	Высота складирования ТБО Нп, м
1	20	350 000	450 000	40
2	15	450 000	560 000	50
3	15	500 000	600 000	50
4	20	200 000	350 000	40
5	20	380 000	500 000	30
6	15	900 000	1 000 000	50
7	20	765 000	900 000	40
8	20	830 000	950 000	40
9	20	290 000	400 000	30
10	15	610 000	750 000	50

Таблица 9.2 Значение коэффициента K1, учитывающего уплотнение в процессе эксплуатации полигона

Масса бульдозера или катка, т	Полная проектируемая высота полигона, м	K1
3–6	20...30	3
12–14	Менее 10	3,7
12–14	20...30	4
20–22	50 и более	4,5

Значения K1 приведены при соблюдении послойного уплотнения ТБО, оседания в течение не менее 5 лет и плотности ТБО в местах сбора $p_1 = 200$ кг/куб. м.

Для всех вариантов выбрать массу бульдозера, равную 14 т.

Таблица 9.3 Значение коэффициента K2, учитывающего объем изолирующих слоев

Общая высота, м	5,25	7,5	9,75	12...15	16...49	40...50	Более 50
K2	1,37	1,27	1,25	1,22	1,2	1,18	1,16

Примечание. При обеспечении работ по промежуточной и окончательной

изоляции полностью за счет грунта, разрабатываемого в основании полигона, $K_2 = 1$. В таблице слой промежуточной изоляции принят 0,25 м.

Алгоритм выполнения работы

1. Изучите нормативную документацию.
2. Выберите (получите у преподавателя) вариант для выполнения работы (табл. 9.1).
3. Ознакомьтесь с примером расчета емкости и площади полигона.
4. Проведите расчет емкости и площади полигона для своего варианта.

Практическая работа №10
РЕГЛАМЕНТИРОВАННАЯ ПРОЦЕДУРА
ПРОИЗВОДСТВЕННОГО КОНТРОЛЯ НА ОПАСНЫХ
ПРОИЗВОДСТВЕННЫХ ОБЪЕКТАХ

Цель: получить практические навыки проведения производственного контроля на опасных производственных объектах.

Нормативные документы

Постановление Правительства Российской Федерации от 10 марта 1999 г. № 263 «Об организации и осуществлении производственного контроля за соблюдением требований промышленной безопасности на опасном производственном объекте».

Указанный нормативный документ приведен в прил. Ж.

Алгоритм выполнения практического задания

1. Познакомьтесь с теоретической частью практического задания.
2. Оформите табл. 6.1.

Таблица 6.1 Регламентированная процедура проведения производственного контроля на опасных производственных объектах

№ п/п	Элемент процедуры производственного контроля	Структурные составляющие элемента процедуры производственного контроля ¹				
1	Положение о производственном контроле					
2	Задачи производственного контроля					
3	Работник, ответственный за осуществление производственного контроля					
4	Требования к работнику, ответственному за осуществление производственного контроля					
5	Обязанности работника, ответственного за осуществление производственного контроля					
6	Права работника, ответственного за осуществление производственного контроля					
7	Состав сведений об организации производственного контроля					

¹ Количество структурных составляющих процессов регламента разное.

При выполнении практического задания необходимо указывать соответствующее количество структурных составляющих в столбцах.

Практическая работа № 11

ЗАЩИТА ОТ ЭЛЕКТРОМАГНИТНЫХ ПОЛЕЙ ПРОМЫШЛЕННОЙ ЧАСТОТЫ

Цель работы: освоить методику расчета напряженности электрического поля от высоковольтных линий электропередач.

Задачи работы: изучить методику расчета напряженности электрического поля промышленной частоты E , рассчитать E для высоковольтной линии электропередачи, сравнить с нормативным значением, сделать выводы.

1 Основные теоретические сведения

1.1. Электромагнитные поля, воздействие на человека

Электромагнитное поле (ЭМП) это особая форма материи, посредством которой осуществляется взаимодействие между заряженными частицами. Переменное ЭМП представляет собой совокупность магнитного и электрического полей. Электрическое поле возникает при наличии напряжения на токоведущих частях, а магнитное - при прохождении тока по этим частям.

Область распространения электромагнитных волн от источника излучения условно разделяют на три зоны: ближнюю (имеющую радиус менее $1/6$ длины волны), промежуточную и дальнюю (расположенную на расстоянии более $1/6$ длины волны от источника).

В ближней и промежуточной зонах электромагнитная волна еще не сформирована, поэтому интенсивность ЭМП в этих зонах оценивается раздельно напряженностью электрической E (В/м) и магнитной H (А/м) составляющих поля.

Персонал, обслуживающий высоковольтные электроэнергетические установки, находится в ближней зоне ($l < 1/6\lambda$) и подвергается воздействию электромагнитных полей, причем основное воздействие оказывает электрическая составляющая поля.

Воздействие ЭМП на человека состоит в следующем: в электрическом поле атомы и молекулы, из которых состоит тело человека, поляризуются. Полярные молекулы ориентируются по направлению распространения ЭМП, появляются ионные токи.

Длительное воздействие ЭМП низкой частоты небольшой интенсивности приводит к различным нервным и сердечно-сосудистым расстройствам (головной боли, утомляемости, нарушению сна, боли в области сердца и т.п.).

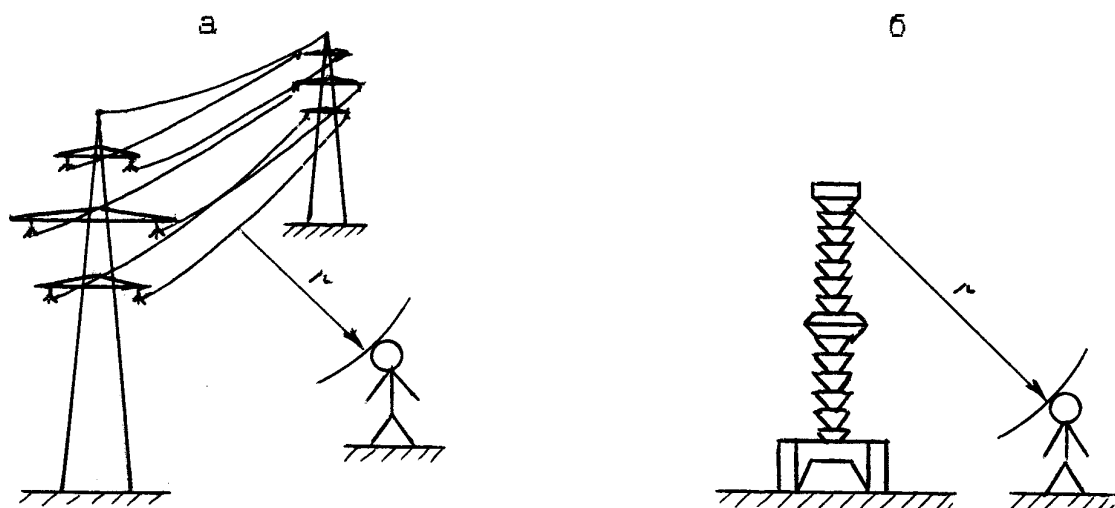
С увеличением напряженности электромагнитного поля, продолжительности облучения и частоты колебаний воздействие на человека возрастает.

При текущем санитарном контроле (не реже одного раза в год), а также в случае приемки источников ЭМП или изменения их конструкции и режимов

работы, производится измерение параметров электромагнитного поля на рабочих местах. Измеренные значения сравниваются с нормативными по ГОСТ 12.1.002-84 /1/ и, если они не соответствуют, то применяются меры защиты.

1.2 Источники ЭМП промышленной частоты, расчет напряженности электрического поля от высоковольтных линий электропередач и аппаратов

Источниками ЭМП промышленной частоты (50 Гц) являются линии электропередач (ЛЭП) напряжением выше 330 кВ, высоковольтные открытые распределительные устройства (коммутационные аппараты, устройства защиты автоматики, измерительные приборы, соединительные шины). Опасной зоной воздействия ЛЭП 500 кВ является пространство на расстоянии до 20 м от ближайших проводов, а у ЛЭП 750 кВ - до 30 м (рисунок 1).



а - ЛЭП; б - токоведущие части

Рисунок 1 – Опасные зоны воздействия электрического поля высоковольтных линий электропередач и аппаратов

Напряженность электрического поля, создаваемого трехфазной воздушной линией электропередачи с горизонтальным расположением проводов (рисунок 1 а), определяется выражением

$$E = \frac{U \cdot k}{r \ln \left(1,26 \frac{B_{\text{пр}}}{r_{\text{пр.э}}} \right)}, \quad (1)$$

где E - напряженность электрического поля на расстоянии r от ближайшего провода ЛЭП, кВ/м;

U - эффективное значение фазного напряжения, кВ;

k - коэффициент, учитывающий высоту подвеса проводов $H_{\text{пр}}$,

расстояние между фазными проводами $B_{\text{пр}}$ и расстояние от проводов до исследуемой точки r ($k = 0,8...1$);

r - кратчайшее расстояние от провода до точки, в которой определяется напряженность, м.

$B_{\text{пр}}$ - расстояние между фазными проводами, м;

$r_{\text{пр.э}}$ - эквивалентный радиус провода, м;

При расщепленных фазах, состоящих каждая из n проводов, эквивалентный радиус провода $r_{\text{пр.э}}$ вычисляется по формуле:

$$r_{\text{пр.э}} = P^n \sqrt[n]{r_{\text{пр}} \alpha_p^{n-1}}, \quad (2)$$

где P - поправочный коэффициент ($P = 1$ при $n \leq 3$, $P = 1,09$ при $n = 4$);

n - число проводов в фазе;

$r_{\text{пр}}$ - радиус провода, м;

α_p - расстояние между проводами одной фазы (шаг расщепления), м.

Например, при $U = 500$ кВ, $B_{\text{пр}} = 10$ м, $r_{\text{пр}} = 15$ мм на расстоянии $r=20$ м напряженность электрического поля

$$E = \frac{500 \cdot 1}{20 \ln \left(1,26 \frac{10}{0,015} \right)} = 3,7 \text{ кВ/м.}$$

Если расщепленная фаза (3 провода диаметром 10 мм на расстоянии 40 см), то

$$r_{\text{пр.э}} = \sqrt[3]{0,01 \cdot 0,4^2} = 0,117 \text{ м}; E = 5,34 \text{ кВ/м.}$$

1.3. Нормирование воздействия электрических полей промышленной частоты

Критерием безопасности для человека, находящегося в электрическом поле (ЭП) промышленной частоты 50 Гц, принята напряженность этого поля. Нормы установлены ГОСТ 12.1.002-84 [1].

Пребывание в ЭП напряженностью до 5 кВ/м включительно допускается в течение рабочего дня.

При напряженности ЭП выше 5 до 20 кВ/м включительно нормируется время пребывания людей в электрическом поле. Допустимое время T вычисляется по формуле [1, с. 1]:

$$T = \frac{50}{E} - 2, \quad (3)$$

где Т - допустимое время пребывания в ЭП при соответствующем уровне напряженности, ч;

E - напряженность ЭП в контролируемой зоне, кВ/м.

Например: E = 10 кВ/м, T = 50 / 10 - 2 = 3 ч.

При напряженности ЭП свыше 20 до 25 кВ/м время пребывания персонала в ЭП не должна превышать 10 мин.

Предельно допустимый уровень напряженности воздействующего ЭП устанавливается равным 25 кВ/м. Даже кратковременное пребывание в ЭП напряженностью более 25 кВ/м без применения средств защиты не допускается.

Допустимое время пребывания в ЭП может быть реализовано одновременно или дробно в течение рабочего дня. В остальное рабочее время напряженность ЭП не должна превышать 5 кВ/м.

При нахождении персонала в течение рабочего дня в зонах с различной напряженностью ЭП время пребывания вычисляется по формуле:

$$T_{\text{пр}} = 8 \left(\frac{t_{E1}}{T_{E1}} + \frac{t_{E2}}{T_{E2}} + \dots + \frac{t_{En}}{T_{En}} \right), \quad (4)$$

где $T_{\text{пр}}$ - приведенное время, эквивалентное по биологическому эффекту пребыванию в ЭП нижней границы нормируемой напряженности, ч;

$t_{E1} \dots t_{En}$ - время пребывания в контролируемых зонах с напряженностью $E_1 \dots E_n$;

$T_{E1} \dots T_{En}$ - допустимое время пребывания в ЭП для соответствующих контролируемых зон, ч.

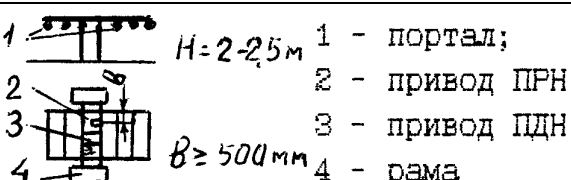
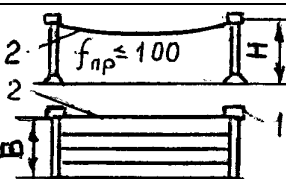
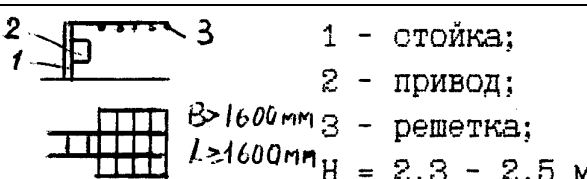
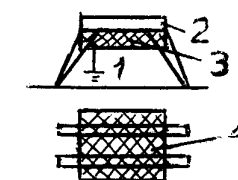
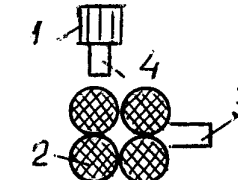
Приведенное время не должно превышать 8 ч.

1.4 Защита от воздействия электрических полей

Для защиты от электрических полей промышленной частоты необходимо увеличить высоту подвеса фазных проводов ЛЭП.

Для защиты работающих на открытых распределительных устройствах (ОРУ) и воздушных линиях электропередачи напряжением 330-750 кВ от электрических полей промышленной частоты используются экраны по ГОСТ 12.4.154-85 [3]. В зависимости от назначения установлены типы экранирующих устройств, указанных в таблице 1.

Таблица 1 - Экранирующие устройства для защиты работающих на открытых распределительных устройствах и воздушных линиях электропередачи напряжением 330 - 750 кВ

Обозначение	Зона экранирования	Схемы, основные параметры
ЭМ Экран межячейковый	Рабочие места у выключателя и выключателя-отключателя	
ЭР Экран навес у разъединителя	Рабочие места у приводов разъединителей типа РНДЗ-330, РНДЗ-500	 <p>1 - портал; 2 - привод ПРН; 3 - привод ПДН; 4 - рама</p> <p>$H = 2,25 \text{ м}$ $B \geq 500 \text{ мм}$</p>
ЭД Экран-навес над пешеход. дорожками	Участки маршрута обхода	 <p>1 - конструкция; 2 - канат; $H = 2,8 - 3 \text{ м},$ $B = 2 \text{ м}$</p>
ЭК Экран-козырек у шкафов	Рабочие места у приводов и отдельно стоящих шкафов различного назначения	 <p>1 - стойка; 2 - привод; 3 - решетка; $H = 2,3 - 2,5 \text{ м}$</p>
ЭП Экран переносной (без подъема)	Рабочие места, находящиеся вне зоны действия экранов	 <p>1 - авазмл. пр. 2 - рама; 3 - навес. бок. 4 - навес. гор.</p>
ЭС Экран съемный для люлок подъемн.	То же, при обслуживании оборудования с применением подъемников	 <p>1 - экран осн.; 2 - экран доп.; 3 - стрела; 4 - люлька</p>

Экран выполняются в виде стальных канатов, металлических решеток или сеток, закрепленных на раме из уголковой стали. Диаметр канатов и прутков должен быть не менее 6 мм, расстояние между канатами должно составлять 500 мм, ячейки сетки экранов должны быть не более 50×50 мм.

Экраны должны быть заземлены путем присоединения к заземляющему устройству или заземленному объекту.

В качестве индивидуальных средств защиты от воздействия электрических полей промышленной частоты открытых распределительных устройств (ОРУ) и воздушных линий электропередачи применяются индивидуальные экранирующие комплекты Эп-1, Эп-2, Эп-3 и Эп-4 (спецодежда, спецобувь, средства защиты рук, лица) по ГОСТ 12.4.172-87 [4].

1.5 Примеры расчетов

1.5.1. Пример. Определить какое время в смену допускается находиться персоналу в зоне воздействия электрического поля (ЭП) без применения средств защиты. Источником ЭП является высоковольтная линия электропередачи напряжением 500 кВ частотой 50 Гц. Линия имеет горизонтальное расположение проводов с расстоянием между ними $B_{\text{пр}} = 10,5$ м; фазы – расщепленные, состоящие из трех проводов АСО-500 радиусом $r_{\text{пр}} = 15,1$ мм с шагом расщепления $\alpha_p = 40$ см.

Высота подвеса проводов на опорах $H_{\text{пр}} = 22$ м, габарит линии (наименьшее расстояние до земли) $H_o = 8,65$ м. На расстоянии 10 м (по прямой линии) от ближайшего из проводов ЛЭП необходимо выполнить работу.

Решение проводится в следующем порядке.

По формулам (2) и (1) вычисляются эквивалентный радиус провода $r_{\text{пр.э}}$ и напряженность электрического поля E на расстоянии 10 м от ближайшего провода ЛЭП:

$$r_{\text{пр.э}} = P^n \sqrt[r]{r_{\text{пр}} \alpha_p^{n-1}} = 1 \cdot \sqrt[3]{0,0151 \cdot 0,4^2} = 0,134 \text{ м},$$

$$E = \frac{U \cdot k}{r \ln \left(1,26 \frac{B_{\text{пр}}}{r_{\text{пр.э}}} \right)} = \frac{500 \cdot 1}{10 \cdot \ln \left(1,26 \frac{10,5}{0,134} \right)} = 10,9 \text{ кВ/м.}$$

Так как напряженность электрического поля составляет 10,9 кВ/м, то допустимое время пребывания персонала определяется по формуле (3):

$$T = \frac{50}{E} - 2 = \frac{50}{10,9} - 2 = 2,6 \text{ ч},$$

то есть работа персонала без средств защиты на расстоянии 10 м от ЛЭП-500 должна проводиться не более 2 часов 35 минут.

1.5.2. Пример. Персонал, обслуживающий высоковольтные установки промышленной частоты, в течение рабочего дня находится в зонах с различной напряженностью электрического поля:

0,2 ч при $E_1 = 18$ кВ/м, 0,5 ч при $E_2 = 10$ кВ/м,

3,5 ч при $E_3 = 6$ кВ/м и 2,8 ч при $E_4 = 4$ кВ/м.

Определить, можно ли выполнять эти работы персоналом без средств защиты?

Решение проводим в следующем порядке.

По формуле (3) вычисляем допустимое время пребывания людей в зонах с напряженностью $E_1 \dots E_4$:

$$T = \frac{50}{E_1} - 2 = \frac{50}{18} - 2 = 0,8 \text{ ч},$$

аналогично $T_{E2} = 3$ ч, $T_{E3} = 6,3$ ч.

Время нахождения в зоне, где $E_4 = 4$ кВ/м не рассчитывается, так как допускается в остальное рабочее время напряженность электрического поля не более 5 кВ/м.

По формуле (4) вычисляется приведенное время, эквивалентное пребыванию людей в ЭП напряженностью 5 кВ/м:

$$T_{\text{пр}} = 8 \left(\frac{t_{E1}}{T_{E1}} + \frac{t_{E2}}{T_{E2}} + \frac{t_{E3}}{T_{E3}} \right) = 8 \left(\frac{0,2}{0,8} + \frac{0,5}{3} + \frac{3,5}{6,3} \right) = 7,8 \text{ ч.}$$

Приведенное время $T_{\text{пр}}$ меньше 8 ч, поэтому персоналу допускается выполнение работы без средств защиты.

2. Задание на работу

Задача 1. При обслуживании распределительной станции напряжением 500 кВ обслуживающий персонал подвергается воздействию электромагнитного поля промышленной частоты. Значения напряженности ЭМП в зонах А, Б и В (соответственно E_A , E_B и E_V) приведены таблице 2. Время нахождения людей в этих зонах t_A , t_B и t_V также приведены в таблице 2. Требуется рассчитать допустимое время нахождения людей в этих зонах (T_A , T_B , T_V), определить возможность выполнения одним человеком последовательно нескольких работ в зонах А, Б и В в течение времени t_A , t_B и t_V .

Таблица 2 – Значения напряженности электрического поля в зонах А, Б и В и время нахождения людей в этих зонах

Наименование параметров	Вариант									
	1	2	3	4	5	6	7	8	9	0
E_A , кВ/м	1	2	3	4	5	6	7	8	9	10
E_B кВ/м	0,5	1	1	2	2	3	3	4	4	5
E_V кВ/м	25	22	20	151	5	10	15	20	22	25
t_A , ч	0,5	1	1,5	2	2,5	3	2,5	2	1,5	1
t_B , ч	2	3	4	1	1	2	3	1	1	2
t_V , ч	0,1	0,2	0,3	0,5	1	2	1	0,5	0,1	0,2

Задача 2. Определить напряженность электрического поля от высоковольтной линии электропередачи и сравнить с нормативным значением. Сделать вывод. Исходные данные для расчета приведены в таблице 3.

Номер варианта	Фазное напряжение U , кВ	Расстояние между фазными проводами r , м	Радиус провода r_{pr} , м	Расстояние между проводами одной фазы α_p , м	Расстояние от провода до человека r , м
1	500	10	12	0,4	10
2	330	6	6	0,2	8
3	750	12	16	0,5	15
4	500	8	14	0,3	12
5	330	6	8	0,3	10
6	750	15	16	0,6	10
7	500	10	10	0,3	8
8	500	12	12	0,5	6
9	750	16	12	0,5	13
0	330	8	8	0,2	5

3. Порядок выполнения работы

3.1 Изучить теоретические сведения об электромагнитных полях и методике расчета электрического поля (ЭП).

3.2 Решить задачи 1 и 2.

3.3. Рассчитать значение напряженности ЭП от высоковольтной линии электропередачи.

4. Оформление отчета

Отчет должен содержать: название, цель работы, расчет напряженности электрического поля (задачи 1 и 2), выводы. Во всех формулах должны быть раскрыты обозначения параметров (т.е. где....) и указаны единицы измерений.

5. Контрольные вопросы

5.1. Какое вредное воздействие оказывает на организм человека электрическое поле высоковольтных линий электропередач и открытых распределительных устройств? При какой напряженности ЭП допускается пребывание людей в течение рабочего дня? Чему равен предельно допустимый уровень E , при котором пребывание людей без средств защиты не допускается?

5.2. Как определяется по ГОСТ 12.1.002-84 время пребывания в электрическом поле напряженностью от 5 до 20 кВ/м?

5.3. По какой формуле можно проверить возможность нахождения персонала в зонах с различной напряженностью электрического поля высоковольтного оборудования?

5.4. В каком нормативном документе даны значения допустимых уровней напряженности электрического поля промышленной частоты?

5.5. Какие виды экранов по ГОСТ 12.4.154-85 и индивидуальных средств защиты по ГОСТ 12.4.172-87 применяются для защиты от электрических полей промышленной частоты?

5.6 В каких случаях и как часто должно проводиться измерение напряженности ЭМП на рабочих местах?

Список литературы

1. ГОСТ 12.1.002-84. ССБТ. Электромагнитные поля промышленной частоты. Допустимые уровни напряженности и требования к проведению контроля на рабочих местах.

2. ГОСТ 12.4.154-85. ССБТ. Устройства экранирующие для защиты от электрических полей промышленной частоты. Общие технические требования, основные параметры и размеры.

3. ГОСТ 12.4.172-87. ССБТ. Комплект индивидуальный экранирующий для защиты от электрических полей промышленной частоты. Общие технические требования и методы контроля.

4. Долин П.А. Основы техники безопасности в электроустановках. Учеб. пособие для вузов.- М.: Энергия, 1979.- 408 с.

Практическая работа №12
ОЦЕНКА УРОВНЕЙ ШУМА В ПОМЕЩЕНИЯХ.
РАСЧЕТ СРЕДСТВ ЗАЩИТЫ ОТ ШУМА.

Цель работы: выработать знания у студентов по оценке шумового режима в помещениях, выбору и расчету средств защиты от шума

1. Основные теоретические сведения

Уровни шума в помещениях обусловлены акустическими характеристиками источников шума, их количеством и размещением, акустическими свойствами помещений.

Основными характеристиками, используемыми в практике борьбы с шумами, являются:

для источников шума – уровни звуковой мощности, L_P , дБ, на среднегеометрических частотах октавных полос 63, 125, 250, 500, 1000, 2000, 4000, 8000 Гц.

$$L_P = 10 \lg \left(\frac{P}{P_0} \right),$$

где P – звуковая мощность источника, Вт; P_0 – пороговая звуковая мощность, равная 10^{-12} Вт;

для расчетных точек – уровни звукового давления, L_P , дБ, на тех же среднегеометрических частотах

$$L_P = 20 \lg \left(\frac{p}{p_0} \right),$$

где p – звуковое давление на рабочем месте, Па; p_0 – пороговое звуковое давление, равное $2 \cdot 10^{-5}$, Па.

Оценка звукового режима помещения проводится на основе расчетов ожидаемых уровней звукового давления в расчетных точках и сравнения их с допустимыми по нормам значениям. В качестве мер по снижению шума в помещениях могут быть предусмотрены акустические средства, включающие звукоизолирующие облицовки ограждающих конструкций зданий, звукоизолирующие конструкции (звукопоглощающие ограждения, звукоизолирующие кожухи, кабины и др.)

В настоящей работе студентам предлагается выполнить акустический расчет:

ожидаемых уровней звукового давления в расчетной точке помещения;

звукопоглощающей ограждения, звукоизолирующей облицовки.

2. Задание к работе

Дано. В рабочем помещении длиной A м, шириной B м, и высотой H м размещены источники шума – ИШ₁, ИШ₂,..., ИШ_n с уровнями звуковой мощности L_1 , L_2 ,..., L_n (рис. 1). Источник шума ИШ₁ с заключен в кожух. В

конце цеха находится помещение вспомогательных служб, которое отделено от основного цеха перегородкой с дверью площадью $S_{дв}=2,5 \text{ м}^2$. Расчетная точка находится на расстоянии r_i от источников шума.

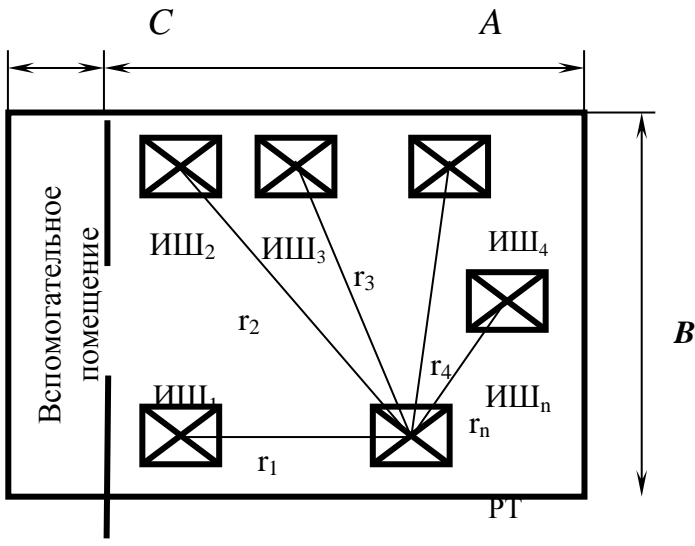


Рис. 1. Схема расположения оборудования – ИШ на участке и расчетной точки - РТ.

РАССЧИТАТЬ:

1. Уровни звукового давления в расчетной точке – РТ, сравнить с допустимыми по нормам, определить требуемое снижение шума на рабочих местах. Расчеты проводить в соответствии с п. 3.1.
2. Звукоизолирующую способность перегородки и двери в ней, подобрать материал для перегородки и двери. Расчеты производить с соответствии с п. 3.2.
3. Звукоизолирующую способность кожуха для источника ИШ₁. Источник шума установлен на полу, размеры его в а плане – (а x b) м, высота – h м. Подобрать материал для кожуха. Расчеты проводить в соответствии с п. 3.3.
4. Снижение шума при установке на участке цеха звукопоглощающей облицовки. Расчеты проводить в соответствии с п. 3.4.

Акустические расчеты проводятся в восьми октавных полосах на среднегеометрических частотах 63, 125, 250, 500, 1000, 2000, 4000, 8000 Гц. Однако, в связи с повторяемостью и трудоемкостью, расчеты в практической работе студенты проводят не по всем частотам, а по указанию преподавателя (3 – 4 частоты).

3. Методика расчетов

3.1. Расчет ожидаемых уровней звукового давления в расчетной точке и требуемого снижения уровней шума.

Если в помещении находится несколько источников шума с разными уровнями излучаемой звуковой мощности, то уровни звукового давления для среднегеометрических частот 63, 125, 250, 500, 1000, 2000, 4000 и 8000 Гц в расчетной точке следует определять по формуле

$$L = 10 \lg \left(\sum_{i=1}^m \frac{\chi_i \Phi_i \Delta_i}{S_i} + \frac{4\Psi}{B} \sum_{i=1}^n \Delta_i \right), (I)$$

Здесь:

L – ожидаемые октавные уровни звукового давления в расчетной точке, дБ;

χ - эмпирический поправочный коэффициент, принимаемый в зависимости от отношения расстояния r от расчетной точки до акустического центра к максимальному габаритному размеру источника l_{\max} , рис. 2. Акустическим центром источника шума, расположенного на полу, является проекция его геометрического центра на горизонтальную плоскость;

$\Delta_i = 10^{0,1L_p}$ – определяется по табл. 1;

L_p – октавный уровень звуковой мощности источника шума, дБ;

Φ – фактор направленности; для источников с равномерным излучением принимается $\Phi=1$;

S – площадь воображаемой поверхности правильной геометрической формы, окружающей источник и проходящей через расчетную точку. В расчетах принять $S=2\pi r^2$, где r – расстояние от расчетной точки до источника шума;

Ψ – коэффициент, учитывающий нарушение диффузности звукового поля в помещении, принимаемый по графику (рис. 3) в зависимости от отношения постоянной помещения B к площади ограждающих поверхностей помещения $S_{\text{огр}}$. ($S_{\text{огр}}=S_{\text{пола}}+S_{\text{стен}}+S_{\text{потолка}}$);

B – постоянная помещения в октавных полосах частот, определяемая по формуле $B=B_{1000}\mu$, где B_{1000} – постоянная помещения на частоте 1000 Гц, м^2 , определяемая в зависимости от объема и типа помещения на частоте 1000 Гц (табл.2); μ – частотный множитель, определяемый по табл.3.;

m - количество источников шума, ближайших к расчетной точке, для которых $r_i < 5r_{\min}$, где r_{\min} – расстояние от расчетной точки до акустического центра ближайшего к ней источника шума, м;

n – общее количество источников шума в помещении с учетом коэффициента одновременности их работы.

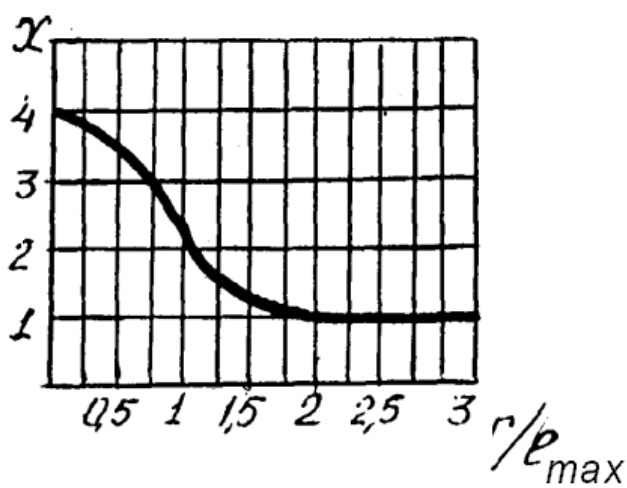


Рис . 2. График для определения коэффициента χ

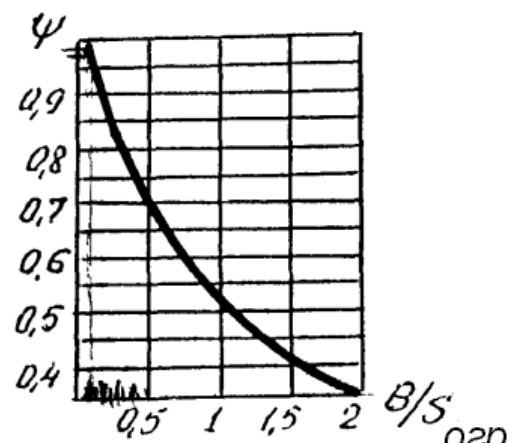


Рис . 3. График для определения коэффициента ψ

Таблица 1

Определение величины $\Delta_i = 10^{0,1L} p_i$

Де-сят-ки	Единицы									
	0	1	2	3	4	5	6	7	8	9
3	$1 \cdot 10^3$	$1,3 \cdot 10^3$	$1,6 \cdot 10^3$	$2 \cdot 10^3$	$2,5 \cdot 10^3$	$3,2 \cdot 10^3$	$4 \cdot 10^3$	$5 \cdot 10^3$	$6,3 \cdot 10^3$	$8 \cdot 10^3$
4	$1 \cdot 10^4$	$1,3 \cdot 10^4$	$1,6 \cdot 10^4$	$2 \cdot 10^4$	$2,5 \cdot 10^4$	$3,2 \cdot 10^4$	$4 \cdot 10^4$	$5 \cdot 10^4$	$6,3 \cdot 10^4$	$8 \cdot 10^4$
5	$1 \cdot 10^5$	$1,3 \cdot 10^5$	$1,6 \cdot 10^5$	$2 \cdot 10^5$	$2,5 \cdot 10^5$	$3,2 \cdot 10^5$	$4 \cdot 10^5$	$5 \cdot 10^5$	$6,3 \cdot 10^5$	$8 \cdot 10^5$
6	$1 \cdot 10^6$	$1,3 \cdot 10^6$	$1,6 \cdot 10^6$	$2 \cdot 10^6$	$2,5 \cdot 10^6$	$3,2 \cdot 10^6$	$4 \cdot 10^6$	$5 \cdot 10^6$	$6,3 \cdot 10^6$	$8 \cdot 10^6$
7	$1 \cdot 10^7$	$1,3 \cdot 10^7$	$1,6 \cdot 10^7$	$2 \cdot 10^7$	$2,5 \cdot 10^7$	$3,2 \cdot 10^7$	$4 \cdot 10^7$	$5 \cdot 10^7$	$6,3 \cdot 10^7$	$8 \cdot 10^7$
8	$1 \cdot 10^8$	$1,3 \cdot 10^8$	$1,6 \cdot 10^8$	$2 \cdot 10^8$	$2,5 \cdot 10^8$	$3,2 \cdot 10^8$	$4 \cdot 10^8$	$5 \cdot 10^8$	$6,3 \cdot 10^8$	$8 \cdot 10^8$
9	$1 \cdot 10^9$	$1,3 \cdot 10^9$	$1,6 \cdot 10^9$	$2 \cdot 10^9$	$2,5 \cdot 10^9$	$3,2 \cdot 10^9$	$4 \cdot 10^9$	$5 \cdot 10^9$	$6,3 \cdot 10^9$	$8 \cdot 10^9$
10	$1 \cdot 10^{10}$	$1,3 \cdot 10^{10}$	$1,6 \cdot 10^{10}$	$2 \cdot 10^{10}$	$2,5 \cdot 10^{10}$	$3,2 \cdot 10^{10}$	$4 \cdot 10^{10}$	$5 \cdot 10^{10}$	$6,3 \cdot 10^{10}$	$8 \cdot 10^{10}$
11	$1 \cdot 10^{11}$	$1,3 \cdot 10^{11}$	$1,6 \cdot 10^{11}$	$2 \cdot 10^{11}$	$2,5 \cdot 10^{11}$	$3,2 \cdot 10^{11}$	$4 \cdot 10^{11}$	$5 \cdot 10^{11}$	$6,3 \cdot 10^{11}$	$8 \cdot 10^{11}$
12	$1 \cdot 10^{12}$	$1,3 \cdot 10^{12}$	$1,6 \cdot 10^{12}$	$2 \cdot 10^{12}$	$2,5 \cdot 10^{12}$	$3,2 \cdot 10^{12}$	$4 \cdot 10^{12}$	$5 \cdot 10^{12}$	$6,3 \cdot 10^{12}$	$8 \cdot 10^{12}$

Примечание: при пользовании таблицей величину L_{pi} следует округлять до целых значений децибел.

Пример. Найти величину Δ_i для $L_i=89,5$ дБ.

Решение: в столбце «Десятки» находим число 8, в строке «Единицы» находим число 9. Искомая величина $\Delta_i=8 \cdot 10^8$

Таблица 2

Значение постоянной помещения B_{1000}

Характеристика помещения	$B_{1000}, \text{м}^2$
1. С небольшим числом людей (металлообрабатывающие цехи, вентиляционные камеры, генераторные, машинные залы, испытательные стенды и т.п.).	$V/20$

2. С жесткой мебелью и большим количеством людей или с небольшим количеством людей и мягкой мебелью (лаборатории, деревообрабатывающие цехи, кабинеты и т.п.).	V/10
3. С большим количеством людей и мягкой мебелью (рабочие помещения зданий управления, залы конструкторских бюро, аудитории и т.п.)	V/6
ПРИМЕЧАНИЕ. V – объем помещения	

Таблица 3

Значение коэффициента μ

Объем помещения, м ³	Значение μ на среднегеометрических частотах октавных полос							
	63	125	250	500	1000	2000	4000	8000
V < 200	0,8	0,75	0,8	0,8	1,0	1,4	1,8	2,5
V = 200 – 1000	0,65	0,62	0,64	0,75	1,0	1,5	2,4	4,2
V > 1000	0,5	0,5	0,55	0,7	1,0	1,6	3,0	6,0

Требуемое снижение уровней звукового давления в расчетной точке для восьми октавных полос следует определять по формуле

$$\Delta L_{\text{треб}} = L_{\text{расч}} - L_{\text{доп}}, \quad (2)$$

где:

$\Delta L_{\text{треб}}$ – требуемое снижение уровней звукового давления, дБ;

$L_{\text{расч}}$ – полученные расчетом октавные уровни звукового давления, дБ;

$L_{\text{доп}}$ – допустимые по нормам октавные уровни звукового давления, дБ.

Допустимые уровни шума на рабочих местах принимаются в соответствии с ГОСТ 12.1.003.-83. «Шум. Общие требования безопасности.» (табл. 4).

Таблица 4
Допустимые уровни шума на рабочих местах
(ГОСТ 12.1.003-83)

Вид трудовой деятельности	Условия звукового давления в октавных полосах со среднегеометрическими частотами, Гц							
	63	125	250	500	1000	2000	4000	8000
Предприятия, учреждения и организации								
1. Творческая деятельность, руководящая работа с повышенными требованиями, научная деятельность, конструирование и проектирование, программирование, преподавание и обучение, врачебная деятельность.	71	61	54	49	45	42	40	38
2. Высококвалифицированная работа, требующая сосредоточенности, административно-управленческая деятельность, измерительные и аналитические работы в лаборатории.	79	70	63	58	55	52	50	49
3. Работа, выполняемая с часто получаемыми указаниями и акустическими сигналами, требующая постоянного слухового контроля, операторская работа по точному графику с инструкцией, диспетчерская работа.	83	74	68	63	60	57	55	54
4. Работа, требующая сосредоточенности, работа с повышенными требованиями к процессам наблюдения и дистанционного управления производственными циклами.	91	83	77	73	70	68	66	64
5. Выполнение всех видов работ (за исключением								

перечисленных и аналогичных им) на постоянных рабочих местах в производстве и на территории предприятия.	95	87	82	78	75	73	71	69
--	----	----	----	----	----	----	----	----

3.2. Расчет звукоизолирующих ограждений, перегородок.

Звукоизолирующие ограждения, перегородки применяются для отдаления «тихих» помещений от смежных «шумных» помещений; выполняются из плотных, прочих материалов. В них возможно устройство дверей, окон. Подбор материала конструкций производится по требуемой звукоизолирующей способности $R_{\text{треб}}$, дБ, величина которой определяется по формуле

$$R_{\text{треб}} = L_{\text{сум}} - L_{\text{доп}} - 10 \lg B_i + 10 \lg S_i + 10 \lg m, \quad (3)$$

где:

$$L_{\text{сум}} = 10 \lg \sum_{i=1}^n 10^{0,1L} p_i - \text{суммарный октавный уровень звуковой мощности}$$

излучаемой всеми источниками и определяемый с помощью табл. 1;

$L_{\text{доп}}$ – допустимый октавный уровень звукового давления в изолируемой от шума помещении, дБ, табл. 4;

B_i – постоянная изолируемого помещения, м^2 ;

m – количество элементов в ограждении (сплошная перегородка – $m=1$, перегородка с окном или дверью – $m=3$).

Если звукоизолирующее ограждение включает окно, дверь, то требуемая звукоизолирующая способность $R_{\text{треб}}$ рассчитывается для каждого элемента. Материал конструкций выбирается по табл. 5 и 6.

Таблица 5
Звукоизолирующая способность стен, перегородок, дБ

Материал конструкции	Толщина	Среднегеометрические частоты октавных полос, Гц							
		63	125	250	500	1000	2000	4000	8000
Кирпичная кладка с двух сторон	1 кирпич	36	41	44	51	58	64	65	65
	2 кирпича	45	45	52	59	65	70	70	70
Железобетонная стена	50 мм	28	34	35	35	41	48	55	55
	100 мм	34	40	40	44	50	55	60	60
	200 мм	40	42	44	51	59	65	55	55
Гипсобетонная плита	80 мм	-	28	33	37	36	44	44	42
Керамзитобетонная плита	80 мм	-	33	34	39	47	52	54	-
Шлакобетонная панель	250 мм	-	30	45	52	56	64	64	-
Древ. стружечная плита	20 мм	-	23	26	26	26	26	26	23
Фанера	3 мм	7	11	14	19	23	26	27	26
	5 мм	9	13	17	21	25	28	26	29
	10 мм	13	17	21	25	28	25	29	23
Стеклопластик	3 мм	9	13	17	21	25	29	31	32
	5 мм	12	16	20	24	28	31	31	34
	10 мм	17	21	25	28	31	31	34	38
Стальн. панели с ребрами жесткости	1 мм	13	17	21	25	28	32	35	35
	3 мм	19	23	27	31	35	37	30	39
	5 мм	22	26	30	34	37	32	36	42
	10 мм	26	30	34	36	32	36	42	46

Таблица 6
Звукоизолирующая способность окон и дверей, дБ

Элемент конструкции	Условия прилегания по периметру	Среднегеометрические частоты октавных полос, Гц							
		63	125	250	500	1000	2000	4000	8000
Окно с силикатным стеклом толщиной 3 мм 6 мм	Без уплотняющих прокладок	8 12	12 18	16 18	18 20	20 23	22 25	20 25	20 25
Оконный блок с двойным переплетом, толщина стекла 3 мм, воздушный зазор 170 мм	Без уплотняющих прокладок С уплотняющими прокладками из резины	22 27	27 33	26 33	28 36	30 38	28 38	27 38	27 38
Двойное остекление со стеклами толщиной 4мм и 7мм и воздушным зазором: 200 мм 300 мм	То же	- -	27 32	36 39	42 43	47 47	49 51	55 55	55 55
Обыкновенная филенчатая дверь	Без уплотняющих прокладок С уплотняющими прокладками	7 12	12 18	14 19	16 23	22 30	22 33	20 32	20 32
Глухая щитовая дверь толщиной 40 мм, облицованная с двух сторон фанерой толщиной 4 мм	Без уплотняющих прокладок С уплотняющими прокладками	17 12	22 27	23 27	24 32	24 35	24 34	23 35	23 35

3.3. Звукоизолирующие кожухи

Применяются для снижения уровней звуковой мощности отдельных, наиболее шумных источников. Кожухи полностью закрывают источник шума, изготавливаются из листовых материалов (сталь, дюралюминий и др.). Внутренние поверхности стенок кожуха обычно облицовывают звукопоглощающим материалом. Требуемая звукоизолирующая способность стенок кожуха определяется по формулам:

для необлицованных кожухов

$$R_{\text{треб}} = L_p + 10 \lg \left(\frac{\chi \Phi}{2\pi r^2} + \frac{4\Psi}{B} \right) - L_{\text{доп}} + 5; \quad (4)$$

для кожухов со звукопоглощающей облицовкой внутренних поверхностей

$$R_{\text{треб}} = L_p + 10 \lg \left(\frac{\chi \Phi}{2\pi r^2} + \frac{4\Psi}{B} \right) - L_{\text{доп}} + 5 - 10 \lg \alpha_{\text{обл}}; \quad (5)$$

где:

$L_{\text{доп}}$ – допустимые октавные уровни звукового давления, дБ;

$\alpha_{\text{обл}}$ – коэффициент звукопоглощения облицовочного материала;

Остальные обозначения такие же, как в формуле (1).

Выбор материала кожуха следует производить от $R_{\text{треб}}$ по справочникам или табл. 7.

3.4. Звукопоглощающие облицовки.

Применяются для снижения интенсивности отраженных звуковых волн. Звукопоглощающие облицовки размещают на потолке и в верхних частях стен помещения. Для достижения максимально возможного поглощения звука рекомендуется облицовывать не менее 60% общей площади ограничивающих помещение поверхностей.

Выбор звукопоглощающей облицовки (материал, конструкция, коэффициент звукопоглощения и т.д.) следует производить по данным табл. 8 в зависимости от требуемого снижения шума $\Delta L_{\text{треб}}$. При этом реверберационный коэффициент звукопоглощения облицовки $\alpha_{\text{обл}}$ должен иметь максимальные значения в тех октавных полосах частотного диапазона, где наблюдается наибольшее превышение ожидаемых уровней звукового давления над допустимыми значениями.

Таблица 7
Звукоизолирующая способность кожуха со стенками плоской формы, дБ

Конструкция	Толщи на листа, мм	Размер листа, мм	Среднегеометрическая полосы, Гц				частота октавной			
			63	125	250	500	1000	2000	4000	8000
Стальной лист, покрытие из вибродемпфирующей мастики ВД – 17 – 58 толщиной 4 мм	0,7	2x2	20	24	28	33	37	39	42	45
Стальной лист, покрытие из минераловатных плит толщиной: 70 мм	1,5	1x1	-	20	26	35	39	40	46	48
Дюралюминиевый диск, покрытие из минераловатных плит толщиной: 80 мм 70 мм	2 3	2x2 2x2	20 -	15 20	20 25	28 38	36 45	43 51	50 51	53 57
Стальной лист	1,2 – 2 3 – 4	2x2 1x1 0,5x0,5 4x2 2x1 3x3 2x2 3x1,5 2x1	26 21 18 27 22 23 28 27 23	23 29 25 25 30 28 33 31 32	28 25 31 30 28 33 30 31 29	33 30 29 35 33 27 35 36 35	38 35 33 40 37 42 41 41 41	44 41 37 46 42 45 44 44 43	48 44 40 48 44 33 33 34 34	30 30 30 31 31 42 42 43 43
Сплав	1,5x2	2x2 1x1 2x1	18 15 13	15 21 21	20 17 19	25 27 24	30 27 29	35 32 32	38 35 33	23 22 20

Таблица 8

Акустические характеристики звукопоглощающих материалов

Толщин а звукопог лощающ его материя ла, мм	Воздуш ный зазор, мм	Реверберационный коэффициент звукопоглощения на среднегеометрических частотах октавных полос, Гц							
		63	125	250	500	1000	2000	4000	8000
Плиты ПА/О минераловатные акустические, размер 500x500 мм									
20	0	0,02	0,03	0,17	0,68	0,98	0,86	0,45	0,20
20	50	0,02	0,03	0,42	0,93	0,90	0,79	0,45	0,20
Плиты «Акмигран» минераловатные размером 300x300 мм									
20	0	0,01	0,04	0,30	0,59	1	0,93	0,81	0,70
20	50	0,03	0,25	0,66	0,91	0,93	1	0,90	0,80
Маты из супертонкого волокна									
50	0	0,1	0,4	0,85	0,98	1	0,93	0,97	1
Супертонкое волокно с оболочкой из стеклоткани и покрытием из гипсовой плиты толщиной 7 мм с перфорацией									
100	0	0,9	0,66	1	1	1	0,96	0,7	0,5
Отходы капронового волокна, сетка из стеклоткани марки СЭ, покрытие из перфорированного металлического листа									
100	0	0,02	0,15	0,46	0,82	0,92	0,83	0,93	0,93
Плиты «Силакпор» размерами 450x450 мм									
45	0	0,10	0,25	0,45	0,60	0,70	0,80	0,90	0,95
«Винипор» полужесткий									
35	0	-	-	0,07	0,12	0,19	0,45	0,89	0,89
Теплоизоляционный материал									
25	0	0,10	0,12	0,21	0,44	0,77	0,90	0,92	0,90
	50	0,11	0,16	0,40	0,83	0,94	0,82	0,92	0,80
Плиты ПП – 80, ППМ, ПММ звукопоглощающие полужесткие									
30	0	-	0,08	0,30	0,64	0,89	0,95	0,83	0,73
	50	-	0,21	0,40	0,72	0,98	0,79	0,75	0,75
50	0	-	0,14	0,52	0,92	0,99	0,42	0,82	0,78
	50	-	0,20	0,61	0,90	0,94	0,92	0,78	0,76

Величина возможного максимального снижения уровней звукового давления в расчетной точке при применении выбранных звукопоглощающих конструкций определяется по формуле

$$\Delta L = 10 \lg \frac{B_1 \Psi}{B \Psi_1}, \quad (6)$$

где:

B – постоянная помещения до установки в нем звукопоглощающей облицовки, м^2 ; определяется так же, как в формуле (1);

B_1 – постоянная помещения после установки в нем звукопоглощающих конструкций, м^2 ; определение ее рассматривается ниже;

Ψ и Ψ_1 – коэффициенты, определяемые по графику на рис. 3, соответственно до и после установки звукопоглощающих конструкций.

Постоянную помещения B_1 следует определять по формуле

$$B_1 = \frac{A_1 + \Delta A}{1 - \alpha_1}, \quad (7)$$

где:

$A_1 = \alpha(S_{\text{огр}} - S_{\text{обл}})$ – эквивалентная площадь звукопоглощения поверхностей не занятых звукопоглощающей облицовкой, м^2 ;

α – средний коэффициент звукопоглощения помещения до установки звукопоглощающей облицовки; определяется по формуле

$$\alpha = \frac{B}{(B + S_{\text{огр}})}; \quad \text{где } S_{\text{огр}} \text{ – общая площадь ограждающих поверхностей помещения, } \text{м}^2;$$

$S_{\text{обл}}$ – площадь звукопоглощающих облицовок, м^2 ;

ΔA – величина добавочного звукопоглощения, вносимого конструкцией звукопоглощающей облицовки, м^2 ; определяется по формуле

$\Delta A = \alpha_{\text{обл}} \cdot S_{\text{обл}}$, где $\alpha_{\text{обл}}$ – реверберационный коэффициент звукопоглощения выбранной конструкции облицовки в октавной полосе частот; определяемый по табл. 8.

α_1 – средний коэффициент звукопоглощения помещения со звукопоглощающими конструкциями, определяемый по формуле

$$\alpha_1 = \frac{A_1 + \Delta A}{S_{\text{огр}}}.$$

Выбранная звукопоглощающая облицовка будет обеспечивать необходимое снижение уровня шума в октавных полосах частот в том случае, если в результате расчетов получено $\Delta L_{\text{макс}} \geq \Delta L_{\text{треб}}$.

4. Оформление отчета

Отчет по практической работе должен содержать наименование работы, ее цель, исходные данные, расчеты, выводы по результатам расчетов. Результаты расчетов свести в таблицу 9.

5. Исходные данные для расчета

Работа выполняется по вариантам, которые согласовываются с преподавателем.

Уровни звуковой мощности источников шума выбирают по табл. 11 в соответствии с порядковыми номерами, указанными в табл. 10 по вариантам.

Исходные данные и результаты расчетов по варианту _____

Величина	Ссылка на рис., табл., формулу	Среднегеометрические частоты октавных полос, Гц							
		63	124	250	500	1000	2000	4000	8000
Расчет ожидаемых уровней звукового давления									
1. L_1	табл. №11								
2. L_2	табл. №11								
3. L_3	табл. №11								
4. L_4	табл. №11								
5. L_5	табл. №11								
6. L	(1)								
7. $L_{\text{доп}}$	табл. №4								
8. $\Delta L_{\text{треб}}$	(2)								
Расчет звукоизолирующей перегородки с дверью									
1. $L_{\text{сум}}$	(3)								
2. $L_{\text{доп}}$	табл. №4								
3. $R_{\text{перег}}$	(3)								
4. $R_{\text{двери}}$	(3)								
и т. д.									

Таблица 10

Варианты заданий уровней звуковой мощности источников шума.

Вариант	Номер источников шума из табл. 11	Вариант	Номер источников шума из табл. 11
1	27*, 1, 2, 3, 4	14	24*, 4, 8, 12, 16
2	28*, 5, 6, 7, 8	15	31*, 20, 23, 19
3	26*, 9, 10, 11, 12	16	32*, 3, 7, 11, 23
4	30*, 13, 14, 15, 23	17	25*, 2, 6, 10, 14
5	31*, 17, 18, 19, 24	18	30*, 9, 13, 17, 21
6	25*, 16, 20, 21, 25	19	32*, 4, 7, 12, 15
7	33*, 1, 5, 9, 13	20	33*, 3, 6, 11, 14
8	32*, 2, 6, 17, 21	21	27*, 2, 5, 10, 13
9	27*, 10, 14, 18, 22	22	28*, 13, 15, 18, 20
10	24*, 3, 7, 11, 15	23	29*, 1, 6, 11, 16
11	25*, 4, 8, 19, 23	24	30*, 4, 7, 10, 12
12	26*, 12, 16, 20, 24	25	33*, 8, 11, 13, 14
13	29*, 5, 7, 14, 19		

* – уровни звуковой мощности для источника шума ИШ₁

Таблица 11

Уровни звуковой мощности оборудования L_{Pi} , дБ

№ по порядку	Среднегеометрические частоты октавных полос, Гц							
	63	125	250	500	1000	2000	4000	8000
1	89	90	87	92	91	87	82	80
2	96	94	95	98	90	89	87	85
3	94	96	96	97	92	89	89	87
4	91	90	95	95	96	97	98	91
5	93	92	90	90	86	82	78	76
6	81	84	92	93	92	87	79	75
7	85	86	92	97	94	83	92	96
8	98	96	94	99	96	94	86	84
9	88	91	93	97	98	89	85	86
10	86	85	92	96	85	82	80	84
11	87	91	94	97	87	82	78	75
12	87	85	91	94	86	79	78	74
13	94	95	97	92	96	87	89	92
14	93	89	92	90	94	92	87	85
15	89	96	100	99	95	91	86	82
16	89	94	99	97	91	88	87	84
17	87	84	95	94	86	87	78	76
18	89	86	82	82	84	86	89	90
19	91	87	87	84	88	88	90	92
20	89	92	95	98	91	90	89	85
21	87	91	93	100	98	89	86	82
22	90	92	96	98	102	102	98	94
23	89	90	95	100	101	101	95	93
24	93	112	99	105	122	106	110	114
25	109	110	109	112	120	121	108	85
26	112	103	108	116	118	123	112	95
27	103	114	115	117	112	107	101	98
28	98	110	103	100	102	98	102	97
29	95	98	104	108	110	109	103	100
30	100	98	100	106	110	97	98	92
31	102	105	113	118	112	99	102	96
32	107	103	112	104	107	106	103	94
33	103	114	115	120	114	112	98	89

Таблица 12

Габаритные размеры участка цеха, кабины, источника шума ИШ₁, размещение оборудования

Вариант	A, м	B, м	C, м	H, м	r ₁ , м	r ₂ , м	r ₃ , м	r ₄ , м	r ₅ , м	l _{мак} с, м	a, м	b, м	c, м	A _K , м	B _K , м	H _K , м
1	30	20	7	8	6	9	6,5	8	13	1,5	1,5	1,5	2	4	3	2,5
2	30	15	6	8	6	8	6	7	12	1,2	1,6	1,8	1,5	3	5	2,6
3	30	12	5	7	6	7	5	6	10	1,2	1,4	1,7	1,2	4	4	2,7
4	32	16	7	7	6,5	9	7	8	14	1,5	1,3	1,9	1,1	3	6	2,8
5	32	18	6	7	7	10	7,5	9	13	1,4	1,2	1,0	1,3	4	5	2,9
6	35	20	8	9	7,5	11	8	9,5	14	1,5	1,7	1,4	1,4	3	4	3,0
7	35	18	7	8	8	10	9	9	13	1,5	1,3	1,2	1,5	3	5	2,5
8	28	15	6	8	6	8	7	8	12	1,1	1,6	1,3	1,5	4	4	2,6
9	26	15	7	6	5	7	6	7,5	10	1,0	1,5	1,8	1,2	3	6	2,7
10	28	16	6	7	6,5	7,5	7	8	11	1,2	1,6	1,4	1,5	4	5	2,8
11	26	18	7	8	7	8	6	9	12	1,1	1,2	1,5	1,1	3	4	2,5
12	34	20	8	9	7	9	8	9,5	10	1,2	1,8	1,6	1,2	4	6	2,6
13	36	15	9	9	8	11	8,5	10	14	1,5	1,7	1,4	1,6	3	6	2,5
14	36	18	9	8	7	10	8	11	15	1,2	1,6	1,8	1,5	5	3	2,7
15	28	17	6	7	6	9	7	8	12	1,3	1,2	1,9	1,1	6	4	2,6
16	28	20	7	8	7	8	9	7	10	1,1	1,5	1,6	1,2	4	6	2,5
17	34	18]	9	10	8	10	9	11	14	1,3	1,6	1,7	1,3	3	5	2,7
18	34	22	8	9	9	11	10	9	15	1,4	1,4	1,5	1,6	5	3	2,8
19	29	17	7	8	6	8	7	8,5	13	1,2	1,3	1,8	1,2	3	4	2,8
20	32	19	6	9	7,5	12	8	9	12	1,3	1,2	1,7	1,5	4	4	2,0
21	45	22	7	9	7	8	9	10	13	1,4	1,6	1,3	1,6	4	5	2,5
22	35	24	9	9	8	9	10	9	14	1,5	1,7	1,4	1,4	4	6	2,8
23	29	16	5	8	6	8	6,5	7	12	1,3	1,2	1,2	1,7	5	3	2,9
24	31	17	7	9	7	9	7,5	8	11	1,2	1,3	1,4	1,8	5	6	2,5
25	32	18	6	7	6	8	7	9	12	1,1	1,5	1,6	1,3	6	3	3,0